

Damascus University
Faculty of Pharmacy

**Department of Pharmaceutics &
Pharmaceutical Technology**

جامعة دمشق
كلية الصيدلة
قسم الصيدلانيات
والتكنولوجيا الصيدلانية

**تحضير وتقييم تحرر مضادات الفطور من كريات بكتينات الكالسيوم وتأثيرها في المبيضات البيض (دراسة
في الزجاج)**

**Prepare and Evaluate the Liberation of anti-Mycotics from Calcium Pectin
Beads and its Effect on the Candida Albicans (in Vitro study)**

بحث علمي أعد لنيل درجة الماجستير في الصيدلة الصناعية

إعداد الصيدلانية : غادة قصيري
دبلوم صيدلة صناعية

مشاركة
الأستاذ الدكتور: إميل شاهين

إشراف
الأستاذ الدكتور: أنطون اللحام

العام الدراسي
٢٠١١-٢٠١٠

الإهداء

غادة قصيري

كلمة شكر

الحمد لله الذي أعانني على إنجاز عملي هذا بتواضع وأناة:

كل الشكر والامتنان للأستاذ الدكتور أنطون اللحام عميد كلية الصيدلة الذي تفضل بالإشراف على الرسالة بكل اهتمام وتوجيه.

وللأستاذ الدكتور إميل شاهين لتفضله بالمشاركة والمتابعة وعلى كل دقيقة منحني إياها من وقته الثمين.

كما أتقدم بالشكر الكبير للجنة الحكم متمثلة بالأستاذ الدكتور عيسى حسن والأستاذ الدكتور محمد معروف الموقرين.

وكل الشكر والاحترام للأستاذ الدكتور جورج اللحام رئيس قسم الصيدلانيات على عطائه المستمر ونصائحه الثمينة.

وأتابع شكري لأسرة كلية الصيدلة متمثلة بالعميد والسادة الوكلاء الأستاذ الدكتور عصام الأغا والأستاذ الدكتور سامر حيدر.

وبطاقة شكر ومحبة لأساتذتي و لأعضاء هيئة المخبريين في قسم الصيدلانيات على ماقدموه من جل المساعدة والعون.

كما أوجه بطاقة عرفان بالجميل لأسرة معمل سيفكو على المساعدة القصوى والاهتمام الذي يقدموه لكل بحث علمي وأخص بالشكر الدكتور طلال العجلاني والدكتور أحمد الدقر، وأتبعها برسالة شكر وحب لجميع الموظفين في قسم المخابر على جعل الساعات الطويلة تمر بسرعة وبسر.

والشكر أيضاً لمخبر الشعلان للتحاليل الطبية على السماح لي بالعمل في مخبرهم وأخص بالشكر السيد حسان كنيفد على العون والمتابعة .

بسم الله الرحمن الرحيم

|

إلى من رفع أفكاري وأبصاري في الحياة

والدّي

إلى نبع الحب والحنان والأمان

زوجي

إلى من هم مستقبلي الواعد وغدي المشرق

أولادي

إلى الزهور التي تنشر من حولي عبير عابق يدفعني إلى مزيد من العطاء
إخوتي و صديقاتي

القسم النظري

١٠	أولاً - المقدمة
١١	ثانياً - الأدوية المطولة التأثير
١١	٢- محاسن ومساوئ الأدوية مطوّلة التأثير
	أ- المحاسن
	١- مطاوعة المريض
	٢- إنقاص تموج تركيز الدواء في البلازما
	٣- إنقاص الجرعة الكلية
	٤- تحسين أداء العلاج
١٢	ب- المساوئ
	١- إغراق الجرعة Dose-dumping
	٢- اختيار الجرعة في الوحدة محدود
	٣- العلاقة بين الزجاج والعضوية
	٤- اختلاف الأشخاص
١٢	٢-٢ معايير انتخاب الدواء ضمن شكل مطوّل التأثير
	١- العمر النصفى للدواء
	٢- المؤشر العلاجي
	٣- الجرعة
	٤- خصائص الانحلال والامتصاص
	٥- نافذة الامتصاص
	٦- الاستقلاب الكبدي
١٣	٢-٣ تصميم الأشكال مطوّلة التأثير الفموية
١٤	١- نظام تحرر الدواء من الأشكال الفموية بالانحلال
١٥	٢- نظام تحرر الدواء من الأشكال الفموية بالانتشار
١٧	٣- نظام تحرر الدواء من الأشكال الفموية بالمشاركة بين الانحلال والانتشار
١٧	٤- نظام تحرر الدواء المضبوط بالضغط الحلولي
١٨	٥- نظام تحرر الدواء ذات الالتصاق المخاطي
٢٠	٦- نظام تحرر الدواء المستقل عن قيمة الـ pH
٢١	٧- نظام التحرر المعتمد على التبادل الأيوني

- ٢١ ٨- الأنظمة المعتمدة على الكثافة
أ- نظرية الكثافة العالية
ب- نظرية الكثافة القليلة
- ٢٢ ٤-٢- العوامل المؤثرة في تحضير شكل مطوّل التأثير
١-٤-٢- العوامل الصيدلانية Pharmaceutics
٢-٤-٢- الحرائك الدوائية Pharmacokinetics Biopharmaceutical
٣-٤-٢- العوامل الصيدلانية السريرية Pharmacodynamics, Clinical Pharmacology
٢-٢- خصائص الأدوية التي تؤثر في الأشكال مطوّلّة التأثير
١-٥-٢- الخصائص الفيزيوكيميائية للواء Physicochemical properties of the drug
٢-٥-٢- عوامل حيوية Biological Factors
٢-٢- طرق الوصول إلى تحرر دوائي مطوّل التأثير فمويًا
١-٦-٢- القوالب المحبة للماء Hydrophilic matrix
٢-٦-٢- القوالب البلاستيكية Plastic matrix
٣-٦-٢- كريات الراتنج الجاهزة Barrier resin beads
٤-٦-٢- الغروسات الدسمة Fat embedment
٥-٦-٢- الراتنج مبادل الشوارد Ion-exchange-resin
٦-٦-٢- المحافظ ذات الهلام الناعم Soft-gelation-depot-capsules
٧-٦-٢- معقدات الدواء Drug-complexes
٨-٦-٢- التأثير المتكرر Repeat-action
- ٢٣ ثالثاً - أقراص المطرس Matrix Tablets
١-٣- تصنيف المطارس وفق المادة الأساسية Classification of Matrix
أ- المطارس الكارهة للماء Hydrophobic Matricies
ب- المطارس الشحمية Lipid Matricies
ج- المطارس المحبة للماء Hydrophilic Matricies
د- المطارس القابلة للتدرك الحيوي Biodegradable-Matricies
هـ- المطارس المعدنية Metal Matricies
٢-٣- تصنيف المطارس وفق مسامية المطرس (ثقوب المطرس)
أ- المطارس ذات المسامات الكبيرة
ب- المطارس ذات المسامات المجهرية

ج- المطارس عديمة المسام
٣-٣- محاسن ومساوي أنظمة المطرس

٢٥ ٣-٤- تحرر الأدوية من أنظمة المطارس Drug release from Matrix systems

٢٧ التحرر ثنائي الطور Bimodel Release
أولاً - منطقة الانتباج
ثانياً - منطقة التآكل
ثالثاً - منطقة الانتشار

٢٨ ٣-٥- العوامل المؤثرة في تحرر الدواء من المطرس

Effect of release limiting parameter on drug release

٢٨ ٣-٥-١- إمالة البلمر Polymer hydration

٢٨ ٣-٥-٢- قابلية ذوبانية الدواء Drug Solubility

٢٨ ٣-٥-٣- قابلية ذوبانية المحاليل (المغطس الكامل) Solution Solubility

٢٩ ٣-٥-٤- قابلية انتشار البلمر Polymer diffusivity

أ- أبعاد أجزاء البلمر

ب- لزوجة البلمر

ج- تركيز البلمر

٢٩ ٣-٥-٥- سماكة طبقة انتشار البلمر

٢٩ ٣-٥-٦- سماكة طبقة الانتشار الهيدروديناميكية

٢٩ ٣-٥-٧- جرعة تحميل الدواء

٣٠ ٣-٥-٨- سماكة السطح والحجم لشكل الجرعة

٣٠ ٣-٥-٩- تأثير الممددات

٣٠ ٣-٥-١٠- تأثير السواغات الأخرى

٣٠ ٣-٦- البلمرات المستخدمة في أقراص المطرس

٣-٦-١- الهلام المائي Hydrogels

٣-٦-٢- البلمرات المنحلة Soluble

٣-٦-٣- البلمرات الدروكة حيويًا Biodegradable polymers

٣-٦-٤- البلمرات غير الدروكة حيويًا Non Biodegradable polymers

٣٢	٣-٦-٥- البلمرات الملتصقة بالمخاطية Mucoadhesive polymers
٣٢	أ- خصائص البلمرات الملتصقة بالمخاطية المثالية
	ب- أصناف البلمرات الملتصقة بالمخاطية
	ج- الخصائص الجزيئية Molecular Characteristics
	٣-٦-٦- الصمغ الطبيعية Natural gums
٣٣	رابعاً - أنظمة التحرر الدوائي المستخدمة عن طريق الفم
٣٥،٣٤	٤-١- طلائع الأدوية
٣٥،٣٦	٤-٢- طلائع الأدوية المتماثرة مع الآزو
٣٦،٣٧	٤-٣- أنظمة عديدات السكاريد
٣٧،٣٨،٣٩	أ- البكتين pectin
٤٠	ب- الألجينات Alginat
٤٣	ج- الكاراجينات Carageenan
٤٢	د- السيللوز Cellulose
٤٤	و- صمغ الكزانتان Xanthan gum
٤٥	خامساً - الفطور
	٥-١- تعريف الفطور definition
٤٥	٥-٢- التصنيف classification of fungal infections
	٥-٢-١- الانتانات الفطرية السطحية superficial infections
	٥-٢-٢- الانتانات الفطرية الجلدية cutaneous infections
	٥-٢-٣- الانتانات الفطرية تحت الجلدية sub-cutaneous infections
	٥-٢-٤- الانتانات الفطرية الجهازية systemic fungal infections
	٥-٢-٥- الانتانات الفطرية الانتهازية opportunistic mycoses
٤٦	٥-٣- داء المبيضات البيض
٤٧	-التشخيص المخبري
	-الفحص المباشر
٤٨	- عزل المبيضات
	- تعيين ذاتية المبيضات
	- القدرة الإمراضية لحيوانات المخبر
	- التفاعلات المناعية
	- الأوساط الزرعية

سادساً - الأدوية المضادة للفطور antifungal drugs

٦-١ - مضادات الفطور polyenes

- النيساتين Nystatin

- النتاميسين Netamysin

- امفوتيريسين [Fungizone] Amphotericin B

٦-٢ - مضادات الفطور Allylamines

٦-٣ - مضادات الفطور Echinocandins

٦-٤ - مضادات الفطور Pyrimidines

Fluorocytosine

٥١

٦-٥ - مضادات الفطور الايمدازولية Imidazole and triazole antifungals

- كيتوكونازول Ketoconazole

- فلوكونازول Fluconazole

- ايتراكونازول Itraconazole

- كلوتريمازول Chlotrimazole

- التريازول Triazol

- الايميدازول Imidazol

٥٢ - الاختبار في الزجاج للأدوية المضادة للفطور In vitro testing of antifungal drugs

٥٣

- الأشكال الصيدلانية المتوفرة تجارياً من مضادات الفطور

القسم العملي

٥٤	أولاً - هدف البحث Aim of study
٥٤	ثانياً - المواد والأجهزة والطرق Materials ,Equipments & Methods
٥٥	-المواد: Materials:
٥٥	1-النستاتين Nystatin
٥٦	1-1-البنية الكيميائية chemical structure
٥٦	1-2-الانحلالية solubility
٥٦	1-3-آلية التأثير Pharmacodynamics
٥٦	1-4-الحركية الدوائية Pharmacokinetics
٥٦	1-5-الاستطبابات والجرعة Dsage& uses
٥٧	1-6-التأثيرات الجانبية Side effects
٥٧	1-7-المعايرة Assay
٥٩	2- الكيتوكونازول Ketoconazol
٥٩	2-1-الوصف Description
٦٠	2-2-البنية الكيميائية Chemical structure

	Pharmacodynamics آلية التأثير	2-3
	PHarmacokinetics الحركية الدوائية	2-4
	Dose & Uses الاستعمالات والتطبيق والجرعة	2-5
٦١	side effects التأثيرات الجانبية	2-6
٦١	Drug Interaction التداخلات الدوائية	2-7
٦١	Assay المعايرة	2-8
٦٢	Eudragit الايدراجيت	3
٦٤	Hdroxy Propyl Methyl Cellose هيدروكسي بروبيل ميثيل سيللوز	4
٦٤	Poly ethelenamin عديد ايتلين امين	5
٦٤	PHtalat buffer دائرة الفتالات	6
٦٤	Acetat buffer دائرة الأسيتات	7
٦٥	Phosphat buffer دائرة الفسفات	8
٦٥	Gastric fluid stimulat الوسط الشبيه بالمعدي او المعوي	9
٦٥	Equipments الأجهزة	-
٦٥،٦٦	Methods الطرق	-
٦٨	ثالثاً - الفحوص المطبقة على الكريات المحضرة	
	١-3- فحص تجانس الوزن	

٦٨	٣-٢- فحص أبعاد الكريات
٦٩	٣-٣- دراسة ثبات الكريات
٦٩	٣-٤- دراسة تحرر المضاد الفطري من كريات بكتينات الكالسيوم
٦٩	أ- إطلاق النسنتاتين
٧١	ب- إطلاق الكيتوكونازول
٧٣	٣-٥- فحص تجانس المحتوى
	رابعاً - النتائج Results
٧٣	٤-١- نتائج فحص تجانس الوزن
٧٩	٤-٢- نتائج فحص تجانس الأبعاد
٨٤	٤-٣- نتائج فحص تجانس المحتوى
٨٦	٤-٤- نتائج تحرر المضاد الفطري من الكريات في الدائرات المدروسة
٨٦	٤-٤-١- تحرر النسنتاتين
٩٠	٤-٤-٢- تحرر الكيتوكونازول
٩٤	خامساً - الدراسة على المزارع الفطرية
٩٦	٥-١- دراسة هالات النسنتاتين
١٠٦	٥-٢- دراسة هالات الكيتوكونازول

١١٨

١١٩

١١٩

سادساً - الخلاصة

سابعاً - التوصيات

ثامناً - المراجع

أولاً - المقدمة :

تتواجد فطور المبيضات البيض في جوف الفم والقناة الهضمية بنسبة هامة عند الأشخاص الطبيعيين ، ومع هذا فإن هذا العامل الممرض الانتهازي يسبب انتان عميق بشكل منتشر في بعض الأحيان.

وبعد داء المبيضات الفموي مشكلة شائعة عند مرضى السرطان الذين يتعرضون للعلاج الكيميائي أو أثناء نقل الأعضاء ، وأيضاً حالة شائعة جداً عند مرضى عوز المناعة (HIV). وعلى الرغم من أن مركبات الايميدازول والتريازول هي أكثر الأدوية فعالية في علاج المبيضات البيض فإن العلاج التقليدي بهذه الأدوية يسبب العديد من المشكلات (التأثيرات الجانبية ،نشوء سلالات مقاومة) وكذلك لوحظ ضعف في العلاقة بين الاختبارات في الزجاج والنتائج السريرية ، لأن التحسس الفطري لهذه الأدوية في الأوساط الزرعية قد لا يكون دقيق في كثير من الأحيان و عملياً يوجد تحرر فوري للمضاد الفطري من الأقراص التحسسية بشكل لا يتفق مع ما يحدث في العضوية ،لذلك فإن تطوير جهاز تحرر دوائي مثالي يحزر المادة الفعالة في نقطة زمنية محددة بدقة وفي الموقع المناسب يعد الخط الأول لحل هذه المشكلة وقد استخدم لهذه الغاية الكثير من البلمرات خاصة بلمرات الامتزاز الحيوي ، وعديدات السكاريد، حيث أنها بلمرات من سكاكر أحادية قابلة للتقويض الحيوي ،غير سامة ومحبة للماء.

وقد أجريت هذه الدراسة لتقييم أهمية استعمال البكتين (كعديد سكاريد) مع أنماط مختلفة من البوليمرات وبتراكيز مختلفة ،لتكون قادرة على تحرير الدواء بالمعدل الملائم ،لذا يهدف البحث إلى :

- ١- إيجاد صيغة دوائية مناسبة لتحضير كريات بكتينات الكالسيوم التي تحمل مضاداً فطرياً .
- ٢- مقارنة هذه الكريات مع الأقراص التحسسية في المزارع الفطرية .
- ٣- دراسة تحرر المضاد الفطري من هذه الكريات في أوساط مختلفة من ال pH .
- ٤- إمكانية إدخالها في الأشكال الصيدلانية المختلفة .

وقد استعمل البكتين في تحضير كريات بكتينات الكالسيوم حسب نموذج قشرة البيض، ودُمّت هذه الكريات بالكيوتوكونازول وأخرى بالنستاتين وشُبكت بالايديراجيت RL,RS وال HPMC وال PEI ،لزيادة قدرتها على الاحتفاظ بالمضاد الفطري في أوساط مختلفة من الباهاء وتطبيقها فيما بعد على المزارع الفطرية ومقارنتها مع الأقراص التحسسية التي تحمل المضاد الفطري نفسه وبالمقدار ذاته.

ثانياً الأدوية مطوّلة التأثير :

إن تطوير أنظمة تحرر دواء خاصة بوجود عوامل كثيرة، يستدعي ارتفاعاً في كلفة هذه الأنماط الدوائية مروراً إلى المكتشفات الدولية لمواد بلمرية جديدة ملائمة لإطالة تحرر الدواء ولتحسين الفعالية العلاجية وعتبة الأمان للدواء في هذه الأنظمة. وقد تمّ تحضير أشكال ذات تحرر مطوّل بتلبيس الأقراص، وضبط معدل انحلالها أو تغليفها مجهرياً،

تطهروا أدوية الارتجاجات المبادلة للأيونات إلى الحصول على تحرر مطوّل للدواء عن طريق امتزاز الأدوية القلوية مثل القلويدات ضمن راتنج مبادلات الأيونات الشرجية قوية الحمض، أو امتزاز الأدوية الحمضية مثل الباربيتورات ضمن راتنج مبادلات الأيونات الشرجية ذات مجموعات أمينية، ووضعهم ضمن جرعة أدت إلى تحرر مديد ٨-١٢ ساعة من هذا المعقد ضمن القناة الهضمية مع نقصان سمية الدواء بإبطاء معدل امتصاص الدواء، بالإضافة إلى تحسين الطعم وتوافر هذا الدواء في شكل سائل وصلب.

كما عمل الشكل المطوّل على زياد الثبات بحماية الدواء من الحلمة أو التأثيرات المقوّضة الأخرى للقناة الهضمية مع الحفاظ على الفعالية والأمان ونقاوة المكونات الفعالة.

وتوصل العلماء إلى تحرر مضبوط للمواد الفعالة في الشكل الفموي مع البولي ميثا أكريلات بطرق مختلفة مثل إحاطة الدواء مع بلمرات قابلة للنفوذ حيادية مرتبطة مع مذبذب شرسبي أدى إلى ضبط تحرر الدواء بالزمن مع الحفاظ على الخصائص الفيزيوكيميائية للدواء. (26)

٢-١ محاسن ومساوئ الأدوية مطوّلّة التأثير:

أ- المحاسن: (٤٧)

١- مطاوعة المريض: patient compliance

حيث تتأثر مطاوعة المريض بمجموعة من العوامل المختلفة:

- ١- إدراك المريض للحالة المرضية.
 - ٢- ثقة المريض بالعلاج.
 - ٣- الحاجة للالتزام ببرنامج علاجي محدد.
 - ٤- تعقد الأنظمة العلاجية.
 - ٥- كلفة العلاج.
 - ٦- كثرة التأثيرات الجانبية الموضعية والجهازية.
- وهذا كله يتم التغلب عليه بتحضير الأشكال المطوّلّة التأثير.

٢- إنقاص تموج تركيز الدواء في البلازما: Reduced 'see-saw' fluctuation

غالباً ما تعطي الأشكال التقليدية للدواء ما عدا التسريب الوريدي نمط تركيز متموج في الجهاز الدوراني والأنسجة، وتزداد معظم هذه التموجات خاصة في الأدوية ذات العمر النصف الحيوي أقل من ٤ ساعات، وهذا ما نسميه بنمط أسنان المنشار (الذروة الوادي) وتتغلب على هذه التموجات بنمط تحرر مطوّل يحافظ على التركيز الدوائي بشكل أكثر ثباتاً في الدوران والنسج المستهدفة.

٣- إنقاص الجرعة الكلية: Reduced total dose

أن الشكل المطوّل التأثير يستعمل مقداراً أقل من الدواء لعلاج الحالة المرضية بالمقارنة مع الشكل التقليدي مع إنقاص التأثيرات الجانبية والجهازية وتوافرية حيوية أكبر للدواء.

4-تحسين فعالية العلاج: Improved efficiency in treatment

وتعني الاقتصاد بالدواء من أجل الحصول على أفضل مفعول.(٤٧)

ب- المساوي:

١-إغراق الجرعة Dose-dumping

حدثت هذه الظاهرة في الأشكال المطوّل لة التأثير لأدّها تحرر كميات من الدواء كبيرة نسبياً وبسرعة كافية لتعطي تأثيرات سامة قوية في حالة الأدوية القوية التأثير، والتي لها نافذة علاجية ضعيفة مثل الفينوباربيتال.

2-اختيار الجرعة في الوحدة محدود:

Limited choice of selecting desired dose in the unit

في الأشكال التقليدية من السهل تقسيم الشكل الجرعي على حين في حالة الشكل المطوّل التأثير يحدث فقدان في الجرعة إذا تكسّر الشكل.

٣-ضعف العلاقة بين الزجاج والعضوية: Poor In Vitro-In Vivo correlation

يتناقص معدّل تحرر الدواء في النمط المطوّل بشكل متعمد للحصول على تحرر واسع على مساحة كبيرة من القناة الهضمية، وهذا ما يشكّل نافذة الامتصاص، وقد يعطي هذا نتائج غير مرضية في العضوية على الرغم من تحرر الدواء المثالي في الزجاج.

٤-اختلاف المرضى: Patient variation

تختلف الفترة الزمنية لامتناس الدواء بين الأشخاص، حيث أنّ التطبيق المرافق لأدوية أخرى ووجود أو غياب الطعام، زمن المكوث في القناة الهضمية، مختلف عند المرضى، وهذا يعطي اختلافاً في الاستجابة السريرية.(٤٧)

٢-٢-٢ معايير انتخاب الدواء ضمن الشكل مطوّل التأثير:

١- العمر النصفى للدواء: Biological half-life

العمر النصفى للدواء هو مؤشر على زمن مكوث الدواء في الجسم، فإذا كان الدواء ذا عمر نصفى قصير (أقل من ساعتين) مثل المدرات الديازية، فيكون وضعه في جهاز تحرّر مطوّل التأثير غير مرغوب به لأنها تتطلب جرعة دوائية فردية كبيرة نسبياً وكذلك الأدوية ذات العمر النصفى الطويل نسبياً (أكثر من ٨ ساعات) كذلك غير مرغوب بها لأن تأثيرها مديد مثل الديجوكسين.

٢- المؤشر العلاجي: High therapeutic index

الأدوية ذات المؤشر العلاجي الضعيف غير ملائمة للأشكال المديدة أو مطوّل لة التحرر فإذا فشل الجهاز في الجسم عندئذ يحدث إغراق للجرعة وتحدث وفيات كما في الديجوكسين.

٣- الجرعة الصغيرة: Small dose

يجب أن تكون الجرعة المعطاة صغيرة بحيث يمكن وضعها في أشكال مطوّلة بدون صعوبات.

٤- خصائص الانحلال والامتصاص للدواء: Absorption and solubility characteristics

في حالة الأدوية التي انحلالها بالماء ضعيف تكون ذات معدل انحلال محدود، وبالتالي وضعها في أشكال مطوّلة التأثير غير ملائم لأدّه قد ينقص من فعالية الامتصاص الكلية.

٥- نافذة الامتصاص: Desirable absorption window

بعض الأدوية المطبقة فمويّاً والتي تمتص من جزء فقط من القناة الهضمية هذا الجزء يعبر عنه بالنافذة الامتصاصية، هذه الأدوية مثل الفوراسيل والمدرات الديازية، فيكون غالباً الشكل المطوّل غير ملائم لها.

٦- التصفية الكبدية: First pass clearance

إذا كان الدواء ذا قابلية كبدي أو مرور أول شديد فهذا يعيق وضعه في الشكل المطوّل لأنّ تحرر الدواء بالتراكم المرغوبة يكون صعب التحقيق.

٢-٣ تصميم الأشكال مطوّلة التأثير الفموية: (٢٦) (٢٩)

إنّ الطريق الفموي هو الأكثر تفضيلاً ويعزى إلى مرونة الشكل الجرعي، ومطاوعة المريض، ولكن يجب الأخذ بعين الاعتبار أنّ هذا الشكل سيواجه pH مختلفة عند عبوره، وحركية الجهاز الهضمي والإنزيمات الهضمية. إنّ تحرر معظم الدواء يعتمد على الانحلالية والانتشار والمشاركة بين الآليتين لتوليد تحرر بطيء للدواء إلى الوسط الهضمي. ونظرياً فإنّ نظام تحرر الدواء المطوّل يقوم بتحرير الدواء من الرتبة صفر والذي يعطي تركيزاً للدواء في الدم مشابهاً للتركيز الذي يعطيه التسريب الوريدي بمعدل ثابت. (الأشكال ١، ٢، ٣، ٤)

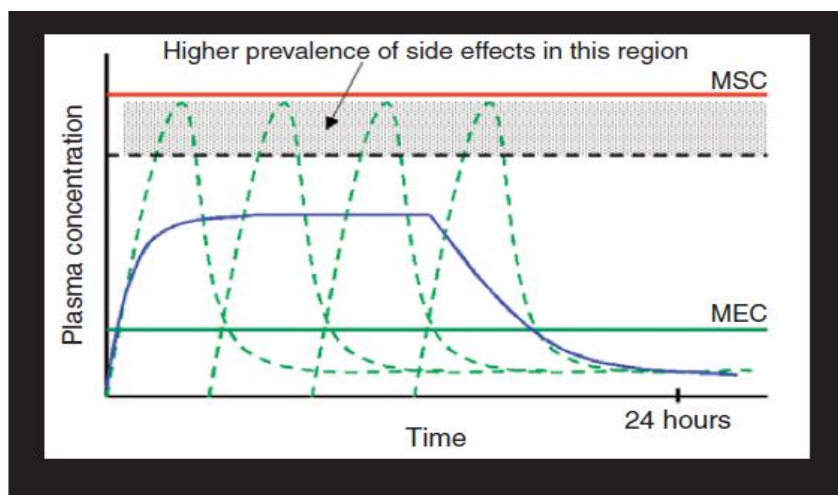
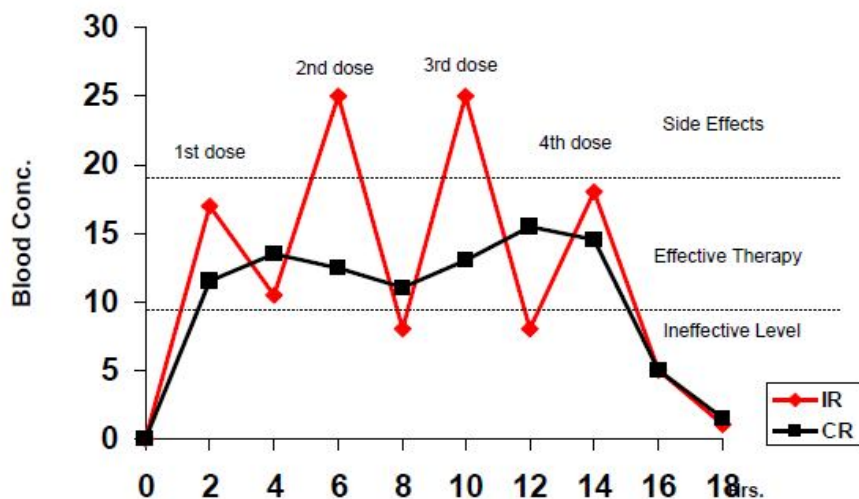


Figure 1.
Plasma drug
concentration
profiles for
conventional

tablet or capsule formulation (—) and a zero-order controlled-release formulation (___). MEC = Minimum Effective Concentration; MSC = Maximum Safe Concentration.

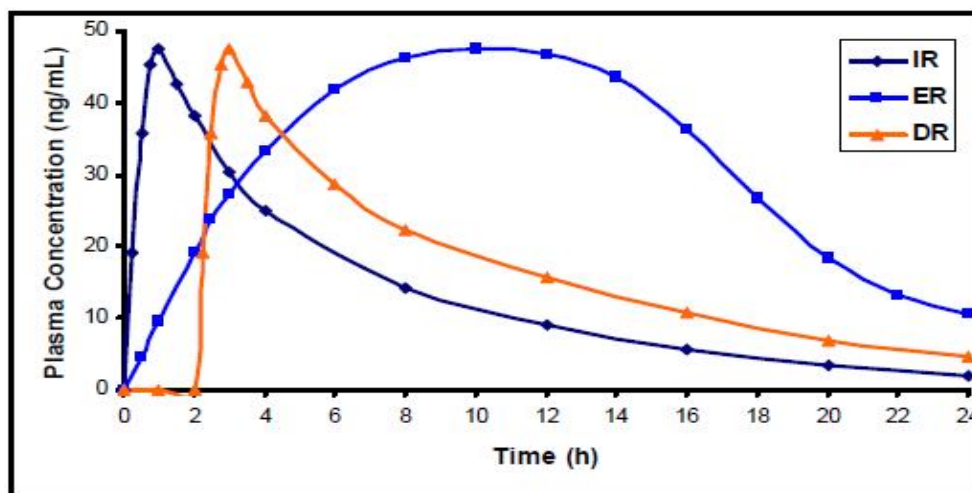
الشكل (١): مقارنة بين تركيز الدواء في البلازما مع الزمن في شكل مضبوط التحرر وبين تركيزه في الشكل التقليدي (١٠٨).

BLOOD PROFILES Controlled Release vs. Immediate Release



الشكل (٢): مقارنة تركيز الدواء في الدم في كلا النمطين من التحرر الآني والتحرر المضبوط. (١٠٨)

Schematic of plasma profiles from different types of delivery systems



الشكل (٣): تحرر الدواء من مختلف الأنماط الآني والمديد والمؤجل بدلالة الزمن. (١٠٨)

١- نظام تحرر الدواء من الأشكال الفموية مطولة التأثير بالانحلال:

- انحلال المادة الصلبة في محل.
- نقل الكتلة من الصلب إلى السائل.
- الخطوة المحددة للمعدل هي الانتشار من الصلب إلى السائل.

وهناك عدة نظريات لشرح الانحلال:

أ- نظرية طبقة الانتشار.

ب- نظرية تجدد السطح.

ج- الانحلال المحدود.

نمط المطرس Matrix type

- يسمى أيضاً نظام الانحلال المضبوط الوحيد

ويتمّ الانحلال المضبوط عن طريق:

أ - تغيير مسامية القرص.

ب- إنقاص قابليته للرطوبة.

ج- الانحلال بمعدل أبطأ.

-يتحرر الدواء

-يتحدد تحرر الدواء بمعدل انحلال البلر.

نمط التغليف Encapsulation

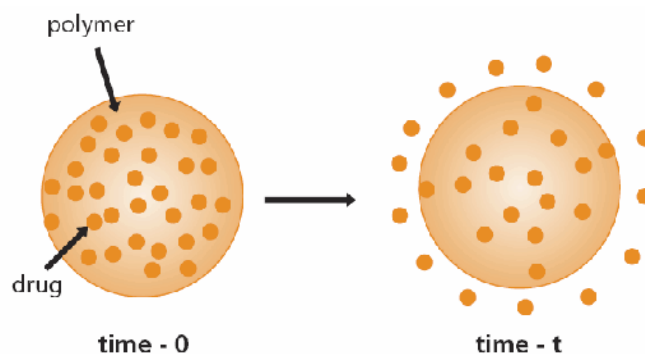
يسمى بجهاز الانحلال المضبوط، ويعتمد معدل انحلال الغلاف على ثباتية وسماكة التغليف، ووظيفته ستر اللون والرائحة والطعم وإعطاء التخريش الهضمي. (١٠٤)

٢- نظام تحرر الدواء من الأشكال الفموية المطولة التأثير بالانتشار:

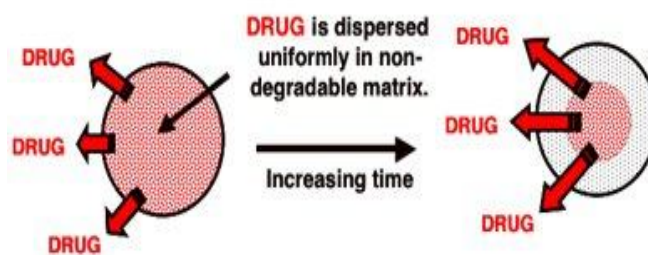
هو عملية عظمى للامتصاص، لا تحتاج إلى طاقة، تنتشر جزيئات الدواء من منطقة التركيز الأعلى إلى الأدنى حتى نحصل على التوازن، ويكون متناسباً بشكل مباشر مع فرق التركيز عبر الغشاء.

-نمط المطرس

- المطرس الصلب: باستعمال مواد بلاستيكية غير منحلة مثل PVP والأحماض الدسمة.
- المطرس القابل للانتاج: ويسمى أيضاً الهلام المائي، وهو شائع للحفاظ على تحرر الأدوية المنحلة بالماء بشكل جيد ومن المواد المستعملة صمغ كارهة للماء، مثل صمغ الغوار، الكثيراء، HPMC نصف الصمغي، CMC، صمغ الكزانتان، والبولي اكرلاميد الصناعي. كما في الشكل (٤)



MATRIX ("MONOLITHIC") DDS

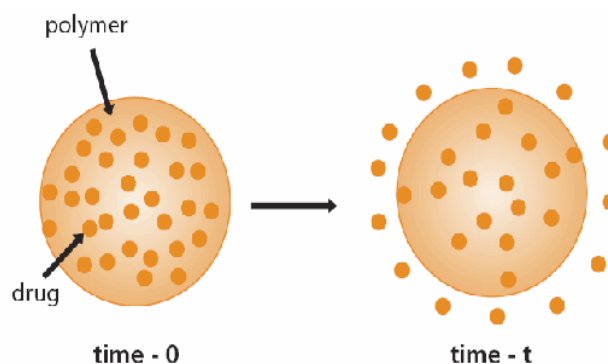


الشكل (٤): نمط المطرس الذي يحرر الدواء بالانتشار

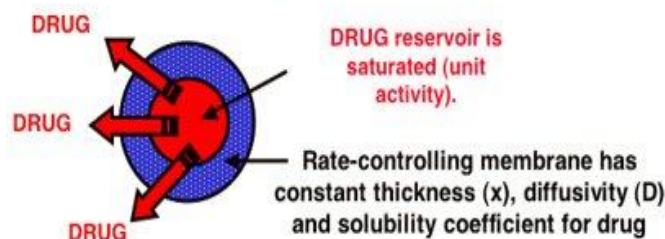
- نمط الخازن أو المستودع

يسمى أيضاً جهاز المطرس ذو الصفائح، حيث يحتوي هذا الجهاز الأجوف على نواة داخلية محاطة بغشاء غير منحل بالماء، ويمكن تطبيق البولمر بالتغليف أو التغليف المجهري، وتكون آلية ضبط السرعة بتجزئ الغشاء مع تحرر لاحق عبر السائل المحيط بالانتشار. ويستخدم فيه HPC، الايثيل سلولوز، بولي فينيل استيات كما في الشكل (٥)

Rate controlling steps:
Polymeric content in coating
Thickness of coating
Hardness of microcapsule.



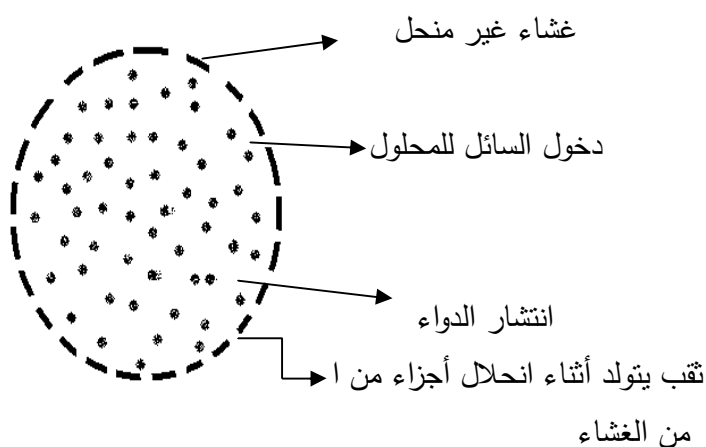
RESERVOIR DDS



الشكل (٥): تحرر الدواء من نمط الخازن بالانتشار

٣- نظام تحرر الدواء من الأشكال الفموية بالمشاركة بين الانحلال والانتشار

- يُحَلَّف الدواء بغشاء قابل للانحلال جزئياً.
- تتولد ثقب نتيجة انحلال أجزاء من الغشاء.
- تسمح هذه الثقوب بدخول الوسط المائي إلى النواة وانحلالية الدواء ومن ثمَّ انتشار الدواء المنحل خارج الجهاز كما في الشكل (٦).
- مثال الايثيل سلولوز مع PVP منحل بالماء حيث يحدث ثقباً لغشاء الايثيل سلولوز اللامنحل.

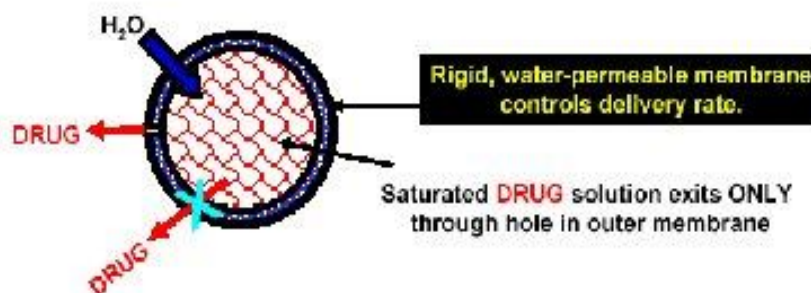


الشكل (٦): تحرر الدواء بالانحلال والانتشار

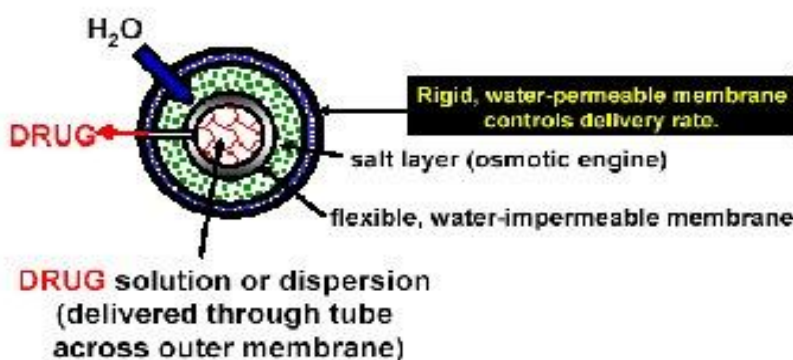
٤- نظام تحرر الدواء من الأشكال الفموية المضبوط بالضغط الحلولي

- الدواء قد يكون فعالاً حلوياً أو مرتبطاً به ملح فعال حلوياً مثل NaCl.
- يصنع الغشاء نصف النفوذ عادة من أسيتات السلولوز.
- يعطي إطلاقاً من الرتبة صفر.
- هذا النمط يكون أكثر ملاءمة للدواء المنحل بالماء
- ويظهر الشكل (٧) الآلية التي يتم بها التحرر. (١٠٤)

ELEMENTARY OSMOTIC PUMP: OROS®
(BEST FOR WATER SOLUBLE DRUGS)



TWO COMPARTMENT OSMOTIC PUMP: OSMET®
(BEST FOR DISPERSIONS OF LOW SOLUBILITY DRUGS)



الشكل (٧): النمط المضبوط التحرر بالضغط الحلولي

٥- أنظمة تحرر الدواء ذات الالتصاق الحيوي Bioadhesive system

تصف عبارة الامتزاج الحيوي الارتباط بين البلمر الطبيعي أو التركيبي والنسج الرخوة مثل الخلايا الظهارية Epithial cells (٢)

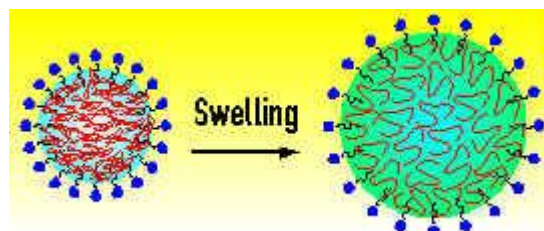
٥- آليات الامتزاج الحيوي:

تشكيل رابطة الامتزاج الحيوي هي عملية ذات ثلاثة خطوات:

الخطوة الأولى: ترطيب وانتفاخ البلمر

يحدث الترطيب والانتفاخ عندما ينتشر البلمر على سطح الغشاء المخاطي. يوضع مطرس الامتزاج الحيوي مثل لأقراص أو المعاجين ضمن جوف الفم أو المهبل، وبالتالي فالامتزاز الحيوي سيكون قادر على الربط بين النسج الحيوية وقوى التوتر السطحي الموجودة في موقع الامتزاج.

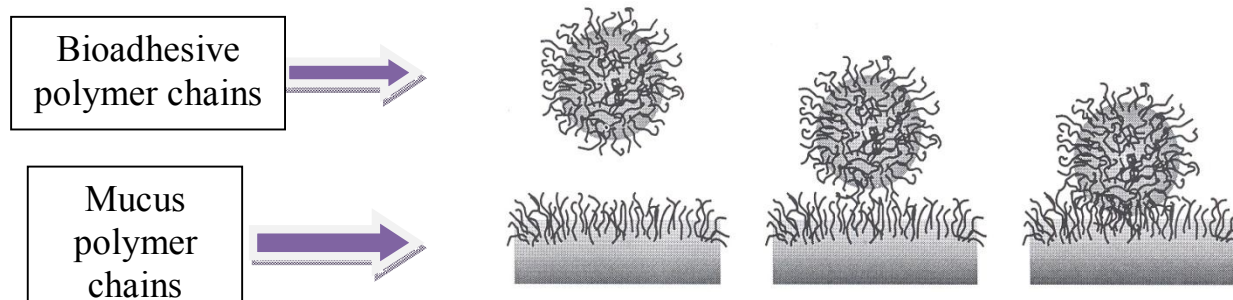
- يحدث انتفاخ البلمرات بسبب أن المكونات الموجودة ضمن البلمر لها ألفة للماء كما في الشكل (٨):



الشكل (٨): الخطوة الأولى من آليات الامتزاز الحيوي

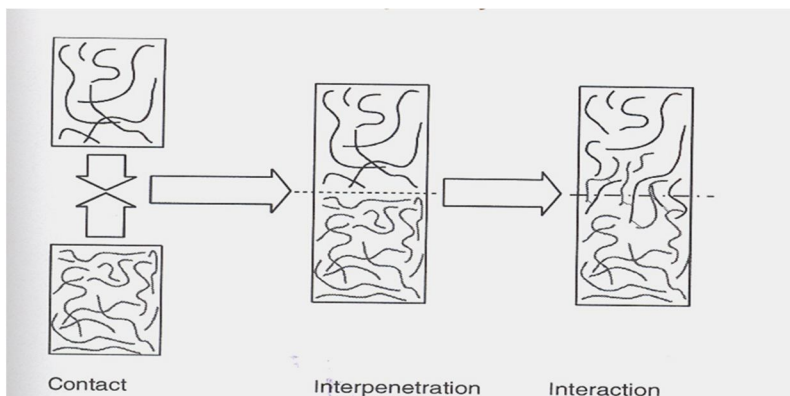
الخطوة الثانية: الاختراق الخلالي بين سلاسل البوليمرات والغشاء المخاطي. إن سطح الأغشية المخاطية مكونة من بلمرات عالية الوزن الجزيئي معروفة باسم بروتينات سكرية، في هذه الخطوة تختم سلاسل البوليمر ذات الالتصاق الحيوي وسلاسل البوليمر المخاطي لتشكل أربطة أم^٩ تَـزَازية نصف نفوذة. تعتمد قوة هذه الروابط على درجة الاختراق بين زمري البوليمر. لكي يتشكل رباط أم^٩ تَـزَازي قوي يجب أن تكون زمرة البوليمر الأول منحلة في الآخر وكلا نمطي البوليمر متشابهين بالتركيب الكيميائي و يوضح الشكل التالي(٩) الاختراق البيني لسلاسل البوليمر

The interpenetration of polymer chains



الشكل (٩): الخطوة الثانية من آليات الامتزاز الحيوي

الخطوة الثالثة: تشكل الروابط الكيميائية بين السلاسل. تتشكل أربطة كيميائية ضعيفة بين سلاسل البوليمرات المترابطة، وهذا النمط من الارتباط المتشكل بين السلاسل يشمل الروابط البدئية مثل الروابط التكافؤية وتفاعلات ثانوية ضعيفة مثل تفاعلات فاندرفالس والروابط الهيدروجينية. يُستفاد من الروابط البدئية والثانوية في تصنيع قوالب الام^٩ تَـزَاز الحيوي لتشكيل ام^٩ تَـزَاز قوي بين للبوليمرات، والشكل التالي يوضح آليات الام^٩ تَـزَاز Mechanisms of bioadhesion



الشكل (١٠): الخطوة الثالثة في آليات الامتزاز الحيوي

٥-٢ خصائص بلمرات الامتزاز الحيوي:

- ١- المرونة Flexibility إن مرونة بلمرات الامتزاز الحيوي هامة لأنها تضبط مدى الاختراق البيني بين البلمرات والسطوح المخاطية الظهارية.
- ٢- محبة للماء Hydrophilic : البلمرات المحبة للمقي طبيعتها قادرة على تشكيل روابط امتزاز قوية مع الأغشية المخاطية لأن الطبقة المخاطية تحوي كميات كبيرة من الماء.
- ٣- الارتباط الهيدروجيني Hydrogen interaction: إن الارتباط الهيدروجيني بين سلاسل البلمر تشكل ارتباط امتزازي قوي فوجود رابط هيدروجيني مع الزمر مثل OH، COOH أساسي بشكل ملحوظ.
- ٤- وزن جزيئي عالي high molecular weight فالبلمرات ذات الوزن الجزيئي العالي مرغوبة لأنها تقدم مواقع ارتباطية بوفرة أكثر.

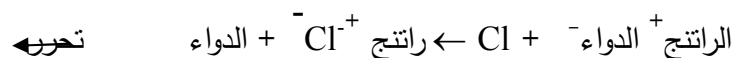
- ١- القوى السطحية Surface force: والتي تعود إلى قوى التوتر السطحي للأنسجة interfacial tension وإلى روابط فاندر فالس van-der-waals bonds التي نحتاجها لنشر البلمرات ذات الامتصاص الحيوي إلى داخل الطبقة المخاطية للسطح الظهاري. (٧٩) (١٠٥)

٦- نظام تحرر الدواء المستقل عن قيمة ال pH

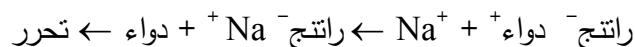
إن القناة الهضمية لها مظاهر غير اعتيادية عند تطبيق الشكل الفموي، حيث يشكل زمن العبور القصير نسبياً عبر القناة الهضمية عائقاً، والبقية الكيميائية على طول القناة الهضمية تحدد تصميم شكل الجرعة، ولأن معظم الأدوية هي إما أحماض ضعيفة أو أسس ضعيفة والتحرر يكون معتمداً على pH فتم إضافة دارئات إلى هذه الأشكال مثل أملاح الأحماض الأمينية - حمض الليمون - حمض الفثاليك - حمض الفسفور - حمض الطرطر وللحصول على تحرر دوائي مستقل عن ال pH تم مزج الأدوية الحامضية الأساسية مع واحد أو أكثر من هذه الدارئات، ثم تُحتر مع سواغات صيدلانية مناسبة وتغلف بفيلم من البلمر نفوذ للسائل الهضمي، فعندما ينفذ السائل الهضمي عبر الغشاء فإن الدارئات تعدل السائل إلى pH ملائمة فتجعل معدل التحرر ثابتاً مثل البروبوكسيفين في الشكل المديد والذي يعطي تحرراً دوائياً مديداً.

٧- نظام التحرر المعتمد على التبادل الأيوني:

تعمل على تشكيل معقد - رانتج - دواء، فعندما يبقى المحلول الأيوني بتماس مع الراتينجات الأيونية، فالدواء في هذه لمعدات يكون متبادلاً في القناة الهضمية ويتحرر مع ازدياد الصوديوم والكلور الموجود في القناة الهضمية.



أمّا في حالة الصوديوم:



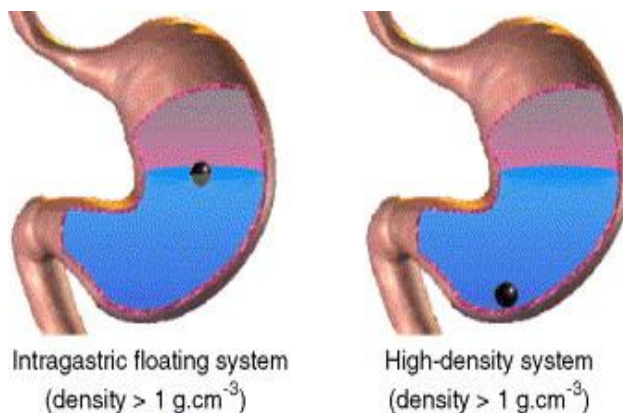
تستخدم هذه الأجهزة مركبات راتنجية تتألف من بلمرات غير منحلة بالماء ومتراصة بشكل متصالب تحتوي زمرة وظيفية مشكلة من الملح بمواضع متكررة على السلسلة البلمرية، ويحافظ على معدل انحلال الدواء من الراتنج حسب مساحة الانتشار وطول الممر الانتشاري وقساوة الراتنج الذي نحصل عليه حسب كمية العامل ذي الرباط المتصالب عند تحضير الراتنج، ونحافظ بعد ذلك على معدل التحرر بتغليف معقد الراتنج - دواء بالتغليف المجهري.

٨- الأنظمة المعتمدة على الكثافة:

هناك عدة اقتراحات لإطالة زمن مكوث الدواء في القناة الهضمية: واضحة في الشكل (١١)

أ- نظرية الكثافة العالية: في هذه الصيغ يجب أن تكون كثافة الكريات تزيد عن كثافة محتوى المعدة الطبيعي أي على الأقل ١-٤ غ/سم^٣.

ب- نظرية الكثافة القليلة: الكريات الكروية التي لها كثافة ظاهرية أقل من السائل المعدي تستعمل كحامل للدواء للحصول على تحرر مطول. (106)



الشكل (١١): الأشكال الطافية systemic matriciels flottants

٢-٤ - العوامل المؤثرة في تحضير شكل مطوّل التأثير:

لا تعتمد الفعالية الدوائية فقط على كفاءة الدواء العلاجية تحت شروط سريرية معينة، إنما على مسار جزيء الدواء من موقع التطبيق إلى الموقع المستهدف، والذي يصادف شروطاً مختلفة عندما يعبر مسار التوزع وقد يؤدي إلى تغييرٍ إما في فعالية الدواء أو كمية الدواء التي تصل إلى موقع المستقبلات.

٢-٤-١ - العوامل الصيدلانية Pharmaceutics

يتعلق بطريقة تصنيع جهاز التحرر المناسب الذي يعطي الدواء ثباتية فيزيولوجية وتوافرية حيوية عظمى.

٢-٤-٢ - الحرائك الدوائية pharmacokinetics biopharmaceutical

وذلك بدراسة الامتصاص Absorption - الانتشار Diffusion - الاستقلاب Metabolism - طرح الدواء Excretion قبل وبعد الوصول إلى الموقع المستهدف وتقييم العلاقة بين تحرر الدواء والاستجابة العلاجية.

٢-٤-٣ - العوامل الصيدلانية السريرية Pharmacodynamics Clinical Pharmacology

دراسة آلية العمل والفعالية السريرية للدواء المطبق في الشكل الجرعي من بدء التأثير - شدة التأثير - مدة الفعالية الدوائية.

٢-٥-١ - خصائص الأدوية التي تؤثر في الأشكال المطوّلة التأثير:

٢-٥-١-١ - الخصائص الفيزيوكيميائية للدواء Physicochemical properties of the drug

تشمل حجم الجرعة - الحلوئية المائية - الارتباط البروتيني - الحجم الجزيئي - ثباتية الدواء.

٢-٥-١-٢ - عوامل حيوية Biological Factors

الامتصاص - التوزع Distribution - الاستقلاب - مدة التأثير - هامش الأمان Margin of safety - التأثيرات العلاجية للدواء Therapeutic Effects - الحالة المرضية. (28) (29)

٢-٦-١ - طرق الوصول إلى تحرر دوائي مطوّلة التأثير فموياً

٢-٦-١-١ - القوالب المحبة للماء hydrophilic matrix

٢-٦-١-٢ - القوالب البلاستيكية plastic matrix

٢-٦-١-٣ - كريات الراتنج الجاهزة barrier resin beads

٢-٦-١-٤ - الغروسات الشحمية fat embedment

٢-٦-١-٥ - الراتنج مبادل الأيونات ion exchange resin

٢-٦-١-٦ - المحافظ الجيلاتينية اللينة مطولة التأثير soft gelation depot capsules

٢-٦-١-٧ - معقدات الدواء drug complexes

٢-٦-١-٨ - التأثير المتكرر repeat action

ثالثاً - أقراص المطرس Matrix Tablets

هي نموذج من أنظمة تحرر الدواء المضبوط التأثير تُحرر الدواء بشكل مستمر وهذا التحرر يتمّ بآليتين: الانحلال المضبوط بالإضافة إلى الانتشار المضبوط. لضبط تحرر الأدوية التي لها انحلالية مختلفة فإنّ الدواء يتبعثر Dispersed في بلمرات محبة للماء وفي قوالب غير منحلّة من بلمرات كارهة للماء أو مواد لدنة.

٣-١ - تصنيف المطارس حسب المادة الأساسية فيها Classification of Matrices

أ- المطارس الكارهة للماء Hydrophobic Matrices

في هذه القوالب من ج الدواء مع بلمر كاره للماء أو خامل، ويضغط بشكل قرص حيث يوّع الدواء المنحل عبر شبكة من الأقنية التي توجد بين جزيئات البلمر المحكمة، ويأتي التأثير المضبوط المعتدل من اختراق مائي إلى المطرس، حيث يتحرر الدواء بآلية الانتشار. والعديد من أقراص المطرس تصبح خاملة لوجود الماء والسوائل المعدية المعوية، وقد استخدمت في هذه الأقراص بلمرات من الاكريليك والايثيل سلولوز وال PVC وعديد الايثيلين.

ب- المطارس الليبيدية Lipid Matrices

تحدّر هذه القوالب من الشمع الليبيدي والمواد المرتبطة به، ويحدث التحرر باليتي الانتشار Diffusion عبر الثقوب والتآكل Erosion. إن خصائص التحرر تكون أكثر حساسية لتركيب السائل الهضمي منها لخصائص المطرس البلمري اللا منحل. وتؤثر درجة انصهار المادة الدسمة وتوازنها المائي الزيتي على سرعة التفكك الحيوي biodegradable للمطرس الدسم وعلى سرعة تحرر المادة الفعالة في الوسط. يستخدم في هذه الأقراص شمع الخرنوبا مع الغول الستياريلي أو حمض الستياريك كأساس مؤخر لكثير من أشكال تحرر الدواء المستمر.

ج- المطارس المحبة للماء Hydrophilic Matrices

تحدّر بتركيب مختلط من دواء أو أكثر مع عامل جيلاتيني كبلمر محب للماء، له قدرة هلامية عالية، وتسمى بأجهزة التحرر المضبوط القابلة للانتباج swellability، وتتعلق سرعة تحرر المادة الفعالة من هذا المطرس بطبيعة البلمر وبوزنه الجزيئي وذوبانه في الماء وذوبان المادة الفعالة أيضاً، والبلمرات المستخدمة في هذا النوع من القوالب تصنف إلى ثلاث زمر:

- المشتقات السللولوزية مثل ميثيل سلولوز ٤٠٠-٤٠٠٠ C.Ps وهيدروكسي إيثيل سلولوز و HPMC ٢٥، ١٠٠، ٤٠٠٠ و ١٥٠٠٠، وصوديوم كاربوكسي ميثيل سلولوز.
- بلمرات لا سللولوزية: نصف الصناعية أو الطبيعية مثل آغار - آغار أو صمغ الخروبا، الألجينات، عديدات السكر من المانوز والغلاكتوز، الشيتوزان والنشاء المعدّل.
- بلمرات حمض الاكريليك: كاربوبول ٩٣٤، وهو الأكثر استعمالاً.

د-المطارس الدروكة حيويًا Biodegradability Matrices

تشتمل على بلمرات تحوي وحدات مرتبطة مع بعضها عبر زمر وظيفية وروابط غير مستقرة في البنية العامة، وتُفَضَّ حيويًا أو تتآكل بأنزيمات تولدها الخلايا المحيطة أو بعملية لا إنزيمية إلى وحدات أقل، حيث تستقلب أو تطرح فيما بعد.

والأمثلة عليها البلمرات الطبيعية مثل البروتينات وعديدات السكاريدات، والبلمرات الطبيعية المعدلة، والبلمرات الصناعية مثل عديدات الاسترات وعديدات الانهيدرات.

هـ-المطارس المعدنية Metal Matrices

تتألف من بلمرات نحصل عليها من أنواع مختلفة من أعشاب البحر ومثالها حمض الألجينيك، وهو عبارة عن سكر محب للماء، يستحصل من أنواع من الأعشاب البحرية النينة Phoeppceas باستخدام ممدد قلوي.

٣-٢ - تصنيف المطارس على أساس مسامية المطرس (ثقوب المطرس)

Classification on Porosity of Matrix

أ- المطارس ذات المسامات الكبيرة: Macroporous Systems

في هذه الأجهزة ينتشر الدواء عبر ثقوب يتراوح حجمها بين ١،٠-١٠ ميكرومتر ، ويكون حجم الثقب أكبر من حجم الجزيء المنتشر.

ب- المطارس ذات المسامات المجهرية: Microporous Systems

يحدث الانتشار عبر ثقوب يتراوح حجمها بين ٥٠-٢٠٠ انغستروم وهو أكبر قليلاً من حجم الجزيء.

ج-المطارس عديمة المسام: Non-porous Systems

وفيها تنتشر جزيئات الدواء عبر شبكة شجرية، وفي هذه الحالة يكون فقط بنية بلمرية بدون وجود ثقوب. (١٠٥)

٣-٣ - محاسن ومساوئ أنظمة المطرس

Advantages and Disadvantages of Matricieis

المحاسن: - سهولة الصنع. - قلة الكلفة نسبة إلى الفعالية. - تحرر مركبات ذات وزن جزيئي مرتفع. المساوئ: يجب التخلص من بقايا المطرس بعد تحرر الدواء منه.

٣-٤ - تحرر الأدوية من أنظمة المطرس Drug release from Matrix systems

عند تَضُّ الطبقة الخارجية من المطرس للمحلول، تتحل أولاً ثم ينتشر الدواء من المطرس، وتستمر هذه العملية مع الحاجز الفصلي بين المحلول والدواء الصلب المتحرك نحو الداخل وفي هذه الحالة حتى نحصل على الانتشار

المضبوط لمحلول المادة الفعالة من ضمن المطرس باتجاه المحيط، و يجب أن يكون معدل انحلال جزيئات الدواء ضمن المطرس أكثر سرعة من معدل انتشار الدواء المنحل الذي يخرج من المطرس (التارك للمطرس). (١٠٥) ولتبيان ذلك حسابياً تؤخذ الفرضيات التالية:

- أ- حالة الثبات الكاذبة التي نحافظ عليها خلال تحرر الدواء.
- ب- قطر جزيئات الدواء أقل من متوسط المسافة لانتشار الدواء عبر المطرس.
- ج- تجدد المحلول بصورة مستمرة (يزود المحلول بشروط النقع في كل الأزمنة) وسلوك التحرر من الجهاز يمكن وصفه حسابياً من المعادلة التالية:

$$\frac{dM}{dh} = C_0 \cdot dh - \frac{C_s}{2} \dots \dots \dots (1)$$

dM : التغير في مقدار الدواء المتحرر في واحدة المساحة.

dh : التغير في سماكة منطقة المطرس الخالية من الدواء.

C_0 : المقدار الكلي للدواء في وحدة الحجم من المطرس.

C_s : التركيز الإشباعي للدواء ضمن المطرس.

ووفقاً لنظرية الانتشار نحصل على المعادلة:

$$dM = (D_m \cdot C_s / h) \cdot dt \dots \dots \dots (2)$$

D_m : مكافئ الانتشار في المطرس.

h : سماكة المطرس الخالي من الدواء.

dt : تغير الزمن.

وبضم المعادلة (١) + (٢) والتكامل نحصل على:

$$M = \left[2C_s \cdot D_m \cdot (2C_0 - C_s) \cdot t \right]^{1/2} \dots \dots \dots (3)$$

وبالتالي مقدار الدواء الزائد عن الإشباع بعدها يصبح:

$$M = \left[2C_s \cdot D_m \cdot C_0 \cdot t \right]^{1/2} \dots \dots \dots (4)$$

ترتبط المعادلتان ٣ و ٤ بمقدار تحرر الدواء إلى الجزر التربيعي للزمن.

لك إذا كان الجهاز المضبوط الانتشار هو الغالب فإن منحنى تحرر الدواء مقابل الجزر التربيعي للزمن سيكون خطأً مستقيماً.

وتحرر الدواء من المطرس المسامي يولد اختراقاً للسائل المحيط وينحل بالدواء ثم يرتشح leaching من الدواء عبر أفنية خلائية interstitial متعرجة tortuous ومسامات pores. ويمكن حساب حجم وطول الأفنية من أجل تحرر الدواء من المطرس المسامي أو المحتر.

$$M = \left[D_s \cdot C_s \cdot C_a \cdot P/T \cdot (2C_o - P \cdot C_a) \cdot t \right]^{1/2} \quad (٥)$$

P : مسامية المطرس.

t : التعرجية.

C_a : انحلال الدواء في وسط التحرر.

D_s : مكافئ الانتشار في وسط التحرر.

T : طول مسار الانتشار.

وفي الحالة الثانية من الثبات الكاذب نستطيع حساب المعادلة:

$$M = \left[2D \cdot C_a \cdot C_o (P/T) \cdot t \right]^{1/2} \quad (٦)$$

وبالتالي يمكن حساب النفوذية الكاملة للمطرس من:

$$P = P_a + C_a / Q + C_{ex} / P_{ex} \quad (٧)$$

P : مسامية المطرس.

Q : كثافة الدواء.

P_a : المسامية التي تعزى إلى الجيوب الهوائية في المطرس.

P_{ex} : كثافة السواغ المنحل بالماء.

C_{ex} : تركيز السواغات المنحلة بالماء

ويمكن إرجاع المعادلة السابقة بحيث تصبح: (٨)

$$M = K \cdot t^{1/2}$$

حيث K ثابتة.

دلالة فإنّ جداء مقدار تحرر الدواء في الجزر التريبي للزمن سيكون خطياً وإذا كان تحرر الدواء من المطرس مضبوط الانتشار ففي هذه الحالة نستطيع التحكم بتحرر الدواء من أجهزة المطرس المتجانس بتغير المشعرات التالية:

١- التركيز الابتدائي للدواء في المطرس.

٢- المسامية.

٣- التعرجية.

٤- البلمر المشكل للمطرس.

٥- انحلالية الدواء.

- التحرر ثنائي الطور Bimodal Release

في بعض الأجهزة يوجد تحرر ثنائي الطور للمكون الفعال، فيحدث الانتشار بالإضافة إلى إمكانية تحلله البلمر ذو التحرر المديد، يبدأ بالانحلال مؤدياً إلى التحرر عبر التآكل، وهذه الأجهزة صعبة ومعقدة حسابياً، حيث طول المسار الانتشاري diffusion path length يتغير بتغير انحلالية البلمر، وهناك سلسلة من ظاهرة النقل تتدخل في تحرر الدواء من المطرس القابل للانتباج والانتشار والتآكل. (105)

١- في البدء يبدي منحنى التراكيز انحداراً شديداً في الفاصل بين البلمر والماء ويؤدي إلى امتصاص الماء من المطرس.

٢- نتيجة لامتصاص الماء ينتج المطرس ويؤدي التي تغيرات في تركيز الدواء والبلمر فتزداد أبعاد المطرس وتزداد حركية الجزيئات الكبيرة.

٣- نتيجة التماس مع الماء ينحل الدواء وينتشر إلى خارج المطرس.

٤- مع ازدياد محتوى الماء يزداد مكافئ الانتشاء للدواء بشكل أساسي.

٥- في حالة الدواء الضعيف الانحلال في الماء يتواجد الدواء المنحل وغير المنحل ضمن المطرس.

٦- أخيراً ينحل البلمر نفسه.

وقد حددت هذه المناطق في أجهزة التحرر الشاذ anomalous release كما يلي: (١٠٥)

أولاً - منطقة الانتباج: "Swelling front"

يفصل منطقة التآكل ومنطقة الانتشار، عن منطقة الانتباج بواسطة المناطق المرنة (مساحة البلمر القابل للانتباج) والتي تحتوي على الماء الذي امتص إلى البلمر بشكل كافٍ لكي ينقص من Tg البلمر ضمن درجة حرارة الوسط فتسمح بحركة وانتباج الجزيئات الكبيرة من منطقة البلمر اللا منتجة.

ثانياً - منطقة التآكل: "erosion front"

وهي تفصل بين المطرس وكتلة المحلول، وهي الحاجز بين الطبقة غير المستقرة من البلمر (متغير التركيز) والوسط المستقر.

ثالثاً - منطقة الانتشار: "diffusion front"

بين منطقة التآكل ومنطقة الانتباج، وتفصل مناطق الدواء اللا منحل عن مناطق الدواء المنحل. إن قوة الهلام هامة في أداء المطرس وتضبط بتركيز ولزوجية والتركيب الكيميائي للبلمر، فهذا يعيق ملائمة البلمرات الكارهة للماء عند تحضير المطارس القابلة للانتباج.

إن تحرر الدواء الشاذ من المطرس المحب للماء

$$Q = K \cdot t^n \quad (9)$$

الدواء المتحرر خلال الزمن

الزمن

ثابتة تتعلق بخصائص (جملة) الدواء مع البلمر

أس الانتشار

إنَّ قيمة m تشير إلى آلية تحرر الدواء.
ومن أجل وصف Relaxation Transport فإنَّ المعادلة السابقة تحسب:

$$Q = K_1 \cdot t^n + K_2 t^{2m} \quad (10)$$

ثابت انتشار فيكان: K_1
ثابتة الآلية الارتخائية أو أثناء الراحة: K_2
إذا كانت مساحة سطح هذه الأجهزة ثابتة فإن القيمة n يجب أن تكون ٠,٥ والمعادلة السابقة تتحول إلى:

$$Q = K_1 \cdot t^{0.5} + K_2 t \quad (11)$$

العبارة الأولى تفسر الظاهرة الانتشارية.
بينما تفسر العبارة الثانية للمعادلة آلية تآكل البلمر.

٣-٥- العوامل المؤثرة في تحرر الدواء من المطرس (١٠٥)

Effect of release limiting parameter on drug release

نلك عدة عوامل تؤثر في شكل تحرر الدواء إمّا من الكبسولات أو القوالب أو جهاز تحرر الدواء نمط الساندويش Sandwich.

٣-٥-١- إمهاء البلمر Polymer hydration

إنَّ عملية إمهاء البلمر ومن ثمَّ انتباجه هام في استخدام البلمر أو المشاركة بين البلمرات، وأهم خطوة هي انحلال البلمر، الامتصاص، امّ تراز الماء، تمزق الأربطة البلمرية - البلمرية مع تشكل أربطة بلمر- ماء ثمَّ الانتباج وتبعثر السلسلة البلمرية في وسط الانحلال.

٣-٥-٢- قابلية ذوبانية الدواء Drug Solubility

إنَّ تحديد حجم الجزيء وقابلية ذوبان الدواء في الماء هي محددات هامة في تحرر الدواء من القوالب البلمرية حيث يحدث في الأدوية المنحلة تحرر في وسط ارتشاحي Infiltration إمّا في حالة الأدوية ذات الانحلال الضعيف فيحدث التحرر عن طريق انحلال الدواء وانحلال جزيئات الدواء عبر تآكل قرص المطرس.

٣-٥-٣- قابلية انحلال المحاليل Solution Solubility

يحافظ الجسم الحي على حالة المغطس الحيوي (biological sink) بشكل فعّال بالتروية الدموية، وهذا منطقي لهذا فإنَّ كلَّ دراسات تحرر الدواء في الزجاج تجري تحت شرط المغطس الكامل، وهذا يضمن التقليد الأفضل للعلاقة المثالية بين تحرر الدواء في الزجاج وتطبيق الدواء في الجسم الحي، عندئذ تحرر الدواء يضبط لوحده بجهاز التحرر ولا يتأثر بعامل الانحلالية.

٣-٥-٤- قابلية انتشار البلمر Polymer Diffusivity

إن انتشار الجزيئات الصغيرة في تركيب البلمر هي عملية مفعمة بالطاقة حيث أن الجزيئات المنتشرة تتحرك نحو التوازن عندما يكون مقدار الطاقة كافياً لتفعيل الانتشار، ويعتمد هذا على طول قطعة سلسلة البلمر والارتباط المتصالب وقابلية تبلور البلمر ويعزى تحرر الدواء إلى ٣ عوامل:

أ- أبعاد جزيء البلمر: Polymer particle size

Malamataris stated تحدث عندما تكون كمية HPMC كبيرة فان تأثير حجم جزيء البلمر يكون أقل أهمية، أما عندما يكون المطرس حاوياً على كميات قليلة من HPMC فعندئذ يكون لحجم الجزيء البلمر أهمية لأنه في مناطق محددة من المطرس يحدث التحرر الانفجاري burst release.

ب- لزوجة البلمر: Polymer Viscosity

في التأثير السلولوزي تستخدم اللزوجة كمعيار لوزن المطرس عند زيادة لزوجة البلمر يؤدي إلى زيادة لزوجة طبقة الهلام، وهذا ينقص انحلال الدواء، وبالتالي فإن مقاومة الهلام العالية للانحلال والتآكل تضبط انحلال الدواء.

ج- تركيز البلمر: Polymer Concentration

كلما كان تركيز البلمر عالياً ازدادت لزوجة الهلام وتشكل ممر انتشاري أطول وهذا يؤدي إلى نقصان مكافئ الانتشار الفعال للدواء، وبالتالي نقص تحرر الدواء.

٣-٥-٥ - سماكة طبقة انتشار البلمر: Thickness of polymer Diffusional path

إن تحرر الدواء من المطرس يضبط بقانون فيك للانتشار:

$$\frac{J_D}{dc/dx} = D \quad (١٢)$$

تدفق الانتشار عبر السطح J_D

قابلية انتشار جزيء الدواء D

ميل تركيز جزيء الدواء عبر ممر الانتشار مع السماكة dc/dx

٣-٥-٦ - سماكة طبقة الانتشار الهيدروديناميكية Thickness of hydrodynamic diffusion lay

حيث أن تحرر الدواء هو الاختلاف في سماكة طبقة الانتشار الديناميكية على سطح أجهزة تحرر الدواء من المطرس، وينقص تحرر الدواء بازدياد سماكة هذه الطبقة.

٣-٥-٧ - جرعة تحميل الدواء: drug loading

حيث أن جرعة تحميل الدواء أثر هام على حركية الدواء المتحرر على طول انحلال الدواء وبالتالي فإن تأثير هذه الجرعة الابتدائية على الأدوية الضعيفة الانحلال بالماء أكثر تعقيداً، حيث مع ازدياد جرعة تحميل الدواء يتناقص أولاً معدل تحرر الدواء النسبي وبعدها يزداد، بينما معدل التحرر المطلق يزداد بشكل وحيد الطور، وفي حال كان مقدار الدواء موجوداً في وضع محدد من المطرس فإن زيادة مقدار الدواء تحت هذه الشروط يصبح غير قادر على الانتشار، وبالتالي يبقى الدواء الصلب ضلطفطرس ولا يتحرر. أما في حالة الأدوية المنحلة بالماء فإن مسامية المطرس بالنسبة لإطلاق الدواء تزداد مع ازدياد الجرعة البدئية.

٣-٥-٨- سماكة السطح والحجم: Surface area and Volume

إنَّ علاقة تحرر الدواء مع مساحة سطح الدواء المستهدف قد حددت في الزجاج أو الحيوية حيث إنَّ تحرر الدواء يعتمد على مساحة سطح شكل الجرعة، وقد وجد أنَّ تحرر الدواء من الأقراص الصغيرة يكون أسرع من الأقراص الأسطوانية الكبيرة.

٣-٥-٩- تأثير الممددات: Diluents effect

وهذا يعتمد على طبيعة الممدد، فالممددات المنحلة بالماء مثل اللاكتوز تسبب ازدياداً ملحوظاً في تحرر الدواء باتجاه انتشار فيكان، في حين الممددات غير القابلة للاندخال بالماء مثل فوسفات ثنائية الكالسيوم تنقص من انتشار فيكان وتزيد من سرعة التآكل (erosion) المطرس، لأنَّ الممدد المنحل بالماء يحرِّض على اختراق الماء إلى الطبقة الداخلية من المطرس، فيحدث انتشار سريع للدواء وبالتالي إلى ازدياد معدل التحرر.

٣-٥-١٠- تأثيرات السواغات الأخرى: Additives

إنَّ تأثير السواغات اللايبليرية المضافة إلى المطرس البلمري تكون هامة عندما يكون الممدد منحللاً بالماء، وتقل أهميتها في التحرر عندما يكون المدد غير قابل للاندخال بالماء.

٣-٦- البلمرات المستخدمة في أقراص المطرس (١٠٥)

٣-٦-١ الهلام المائي Hydrogels

مراحل التحرر من الهلام المائي: تعتمد على تركيب الهلام المائي (نمط البلمر - نمط الدواء مع السواغ، (الشكل، الحجم) تقنيات التحضير - الشروط البيئية خلال تحرر الدواء فإن واحداً أو أكثر من الظواهر الفيزيائية والكيميائية تؤثر على تحرر الدواء:

- ١- إذا كان هناك رطوبة في سطح التماس بين جهاز تحرر الدواء مع الوسط المحرر؛
- ٢- اختراق من وسط التحرر (الماء) إلى جهاز تحرر الدواء مثلاً (عبر الثقوب)؛
- ٣- تشكيل ثقوب ممثلة بالماء؛
- ٤- تقويض الدواء ± البلمر؛
- ٥- انتشار الدواء ± منتجات تقويض البلمر إلى داخل المطرس الهلامي المائي؛
- ٦- انتشار الدواء ± منتجات تقويض البلمر في السائل؛
- ٧- الانحلال ± ترسب ± منتجات التقويض؛
- ٨- تغيرات الـ pH في البنية المجهرية داخل المطرس الهلامي المائي الذي ينجم عن تقويض البلمر؛
- ٩- تأثير الانحلال الذاتي خلال تقويض المطرس الهلامي المائي؛
- ١٠- انتباج البلمر؛

١١- انغلاق الثقوب الناجمة عن انتباج البلمر؛

١٢- التأثيرات الحولية الناجمة عن تشكيل ضغط سكوني هام في جهاز تحرر الدواء؛

- ١٣- تشكل بيئة مجهرية حامضية أو أساسية في أشكال الجرعات ناجم عن منتجات التقويض؛
- ١٤- التفاعلات الفيزيائية لتقويض البلمر (قوى فاندرفالس وغيرها) والتي تختلف إلى حد ما مع الزمن والموقع؛
- ١٥- تفاعلات كيميائية بين الأدوية ومنتجات تقويض البلمر \pm الماء؛
- ١٦- عمليات النقل الناجم عن الضغط الحلولي المرتفع والمتشكل في جهاز تحرر الدواء؛
- ١٧- عمليات الامتصاص والامتزاز؛
- ١٨- تغيرات في هندسة جهاز التحرر أو أبعاده الناجمة عن قوة التفكك. (٩) (١٠٧)

من الأمثلة على هذه البلمرات:

بولي هيدروكسي إيثيل ميثيل أكريلات PHEMA.

بولي فينيل الغولي المتصالب PVA.

بولي فينيل بيرليدون المتصالب PVP.

بولي إيثيلين أكسيد PEO.

بولي أكريلاميد PA.

٢-٦-٣ البلمرات المنحلة Soluble

بولي إيثيلين غليكول PEG.

بولي فينيل الغولي PVA.

بولي فينيل بيرليدون PVP.

هيدروكسي بروبيل ميثيل سلولوز HPMC.

٣-٦-٣ البلمرات ذات التدرج الحيوي Biodegradable polymers

بولي لكتيك أسيد PLA.

بولي غليكوليك أسيد PGA.

بولي كربولاكتون PCL.

بولي انهيدرات.

بولي أورثوإسترات.

٤-٦-٣ البلمرات غير قابلة للتدرج الحيوي Non Biodegradable polymers

بولي إيثيلين فينيل أسيتات PVA.

بولي دي ميثيل سيلوكسان PDS.

بولي إيتراورتان PEU.

أسيتات السلولوز CA.

إيثيل سلولوز EC.

٥-٦-٣ البلمرات ذات الالتصاق المخاطي Mucoadhesive polymers

أ- خصائص البلمرات ذات الالتصاق المخاطي المثالي

- ١- يجب أن يكون البلمر ومنتجاته التقويفية غير سامة وغير قابلة للامتصاص من القناة الهضمية.
- ٢- يجب أن لا تكون مخرشة للغشاء المخاطي.
- ٣- تشكل رباطاً قوياً غير تكافؤي مع سطح الخلايا الظهارية - المخاطية (mucin-epithelial)
- ٤- يجب أن يلتصق بسرعة على معظم النسيج ويملك خاصية الموقع.
- ٥- أن يسمح بدخول الدواء بشكل سهل ولا يقدّم إعاقة للتحرر.
- ٦- يجب أن لا يتفكك عند التخزين أو الوضع على الرف.
- ٧- لا يكون ذا كلفة عالية، فالجرعة المحضرة منه بالتالي تكون اقتصادية.

ب- أصناف البلمرات ذات الالتصاق المخاطي: (١٠٨)

- ١- بلمرات شارسية وشارجية تتحدد بشكل أكثر فعالية من البلمرات الحيادية.
- ٢- عديدات الشارسيات أفضل من عديدات الشارجيات من حيث الارتباط والكمون الانسمامي، ولذلك فالبلمرات غير المنحلة بالماء تقدّم مرونة أكبر عند تصميم الشكل بالمقارنة مع البلمرات المنحلة بالماء ذات الانحلال البطيء أو السريع.
- ٣- بلمرات شارسية ذات زمر السلفات تكون أكثر فعالية من التي لديها زمر الكاربوكسيل.
- ٤- درجة الارتباط متناسبة مع كثافة الشحنة / البلمر.
- ٥- بلمرات ذات ارتباط عالي، هي كاربوكسي ميثيل سلولوز، جيلاتين، حمض الهيالورونيك، كاربوبول، عديد الكاربوبول.

ج- الخصائص الجزيئية Molecular Characteristics

تتلخص هذه الخصائص بـ:

- ١- الروابط الهيدروجينية قوية (COOH , -OH).
- ٢- شحنات شارسية قوية.
- ٣- مرونة كافية لاختراق المخاط.
- ٤- وزن جزيئي عالي.
- ٥- خصائص التوتر السطحي ملائمة للمخاط الرطب ولسطح النسيج المخاطي.

أمثلة البلمرات ذات الالتصاق المخاطي في الجدول ١ (١٠٨):

الجدول ١: أمثلة عن البلمرات ذات الالتصاق المخاطي

الطبيعية	الصناعية	الملائمة الحيوية	القابلة للتفويض الحيوي
الجينات الصوديوم	البولي ميثيل الغولي بولي أميد - بولي كاربونات بولي الكيل غليكول	استرات	بولي (لاكتيدز)
البكتين	اتيرات البولي ميثيل	حمض الهيلورونيك	بولي (جليكوليدز)
صمغ الكثيرة	الاسترات وبولي ميتاكريليك أسيد وحمض البولي ميثيل ميتاكريليك	استينات البولي فينيل	سيانو أكريلات بولي فسفورتيز بولي هيدرات
الجيلاتين	ميثيل سلولوز - ايثيل سلولوز	ايثيلين غليكول	بولي فسفازين
الكارجينات	هيدروكسي برويل سلولوز - هيدروكسي برويل ميثيل سلولوز HPME		شيتوزان بولي أكسيد البولي ايثيلين

٣-٦-٦ الصمغ الطبيعية Natural gums

١- صمغ الكزانتان

٢- صمغ الآغار

٣- صمغ الكروبا

رابعاً أنظمة التحرر الدوائي المستخدمة عن طريق الفم :

٤-١- طلائع الأدوية Pro-drug (٢٠)

وهي أنظمة تستخدم لحل المشاكل التي تواجه الأشكال الجرعية التقليدية.

إِطْلِيعَة الدواء هو مشتق غير فعّال دوائياً من جزء الدواء الأصلي، والذي يحتاج إلى تحوّل إنزيمي أو عفوي في الجسم ليحرر الدواء الفعال، ويصمم طليعة الدواء من أجل التحرر القولوني لتجتاز إِمَاهَة أَقْل في أعلى القناة الهضمية وتجتاز إِمَاهَة إنزيمية في القولون كي تحرر جزء الدواء الفعال من حامل الدواء، وبالتالي فإنّ استقلاب مكونات الأرو بالجراثيم المعوية هو واحد من العمليات الاستقلابية الجرثومية بالإضافة إلى روابط أخرى حساسة للحلقة الجرثومية النوعية في القولون، وذلك يربط الدواء بأجزاء كارهة للماء مثل الأحماض الأمينية - حمض غليكورونيك، غالاكتوز سلولوز.. الخ.

بالإضافة إلى أنّ طلائع الأدوية هي مركبات كيميائية تحتاج إلى الكثير من المعالجات قبل استخدامها كحوامل، ويبيّن الجدول (٢) أهم نقاط تقييم طلائع الأدوية.

الجدول ٢: تقييم طلائع الأدوية لتحرر دواء نوعي في القولون مع أدائها في الزجاج / العضوية الحية

حامل الدواء	الدواء المستخدم	الرباط المحلله	الشكل المستخدم في الزجاج و العضوية الحية	أداء طليعة الدواء ومقترناته
الآزو المقترن بالسلفابيرين (SP)	5-ASA	رباط الآزو	الإنسان	نوعي الموقع ولكن مع كثير من التأثيرات الجانبية و يترافق مع SP
مقترنات حمض الأميني مع غليسين تيروزين وميتونين	حمض الصفصاف	رباط أميدي	الأرنب	يمتص من أعلى القناة الهضمية ويستقلب بالفلورا الجرثومية للأمعاء الغليظة
الآلانين الميمس والميسر	حمض الصفصاف	رباط أميدي	الزجاج	رباط حمض الصفصاف - ألانين محله إلى حمض الصفصاف بالفلورا الجرثومية المعوية ولكن حمض الصفصاف ذو الآلانين الميمس يظهر حلمة غير معتبرة في حين يظهر حلمة enantio specific
غليسين	5-ASA	رباط أميدي	الزجاج	طليعة الدواء ثابتة في أعلى القناة الهضمية وتحلمه بالمحتوى الدقاقي ليحرر 5-ASA
حاملات السكريد	ديكساميتازون بريدنيزولون	رباط غليكوزيدي	الفأر	طليعة الديكساميتازون نوعية الموقع وتصل ٦٠% من الجرعة الفموية إلى الأعور بينما فقط ١٥% من طليعة دواء البريدنيزولون تصل الأعور
غلوكوز - غلاكتوز سلولوزبيوزيد	ديكساميتازون بريدنيزولون هيدروكورتيزون فلوروكورتيزون	رباط غليكوزيدي	الزجاج	حلمة أقل لطليعة الدواء في المعدة وأعلى في الأمعاء الدقيقة. إن حلمة ال PSI تزداد في محتويات الأمعاء الدقيقة البعيدة وهي أعظمية عند

المحتوى الدقاقي يحلمه الغلاكتوز بشكل أسرع من الغليكوزيد والذي يحلمه بشكل أسرع من السلولوزيبوزيد				
عندما يعطى إلى الجرذان المعتمدة على المورفين فإنّ التأثيرات الجانبية الهضمية للمورفين تعاكس بدون أن يحدث أعراض السحب الدماغي لأنّ التفعيل للأمعاء الغليظة يتبعه إسهال يطرح طليعة الدواء	الفأر	رباط غليكورونيد	نالوكسون/ ناليفين	غلوکورونويد مقترن مع حمض الغليكورونيك
جد أنه أعلى من البوديزونيد في علاج التهاب القولون	الفأر	رباط غليكورونيد	بوديزونيد	

٤-٢- طليعة الأدوية المتماثرة مع الآزو (١٨)

تهدف إلى استخدام البلمرات كحامل للدواء من أجل تحريره في القولون، سواء كانت البلمرات طبيعية أو صناعية، فقد درست بلمرات نصف صناعية لتشكيل دواء بلمري مع رباط آزو بين البلمر وجزيء الدواء، واستخدمت كمواضع تغليف فوق نواة الدواء حيث يمكن ربطها بشكل مشابه بآزو رديكتاز (موجبات الآزو) في الأمعاء الغليظة. إن تغليف المحافظ البيتيدي بالبلمرات يرتبط بشكل متصالب مع زمر الآزو الحلقية وهذا بالتالي يحمي الدواء من الهضم في المعدة والاثني عشر. حيث يحدث إرجاع لروابط الآزو في القولون ويتحرر الدواء. ويبيّن الجدول (٣) تقييم لبعض أجهزة تحرر الدواء المعتمدة على بلمر الآزو، حيث تحرر الدواء النوعي في القولون مع ملخص للنتائج الحاصلة. (20) (18) (109)

الجدول ٣: تقييم لبعض أنظمة تحرر الدواء المعتمدة على بلمر الآزو.

بلمر الآزو	الجرعة المحضرة	الدواء المستهدف	النمط المدروس في الزجاج / الجسم	ملخص النتائج الحاصلة
------------	-------------------	--------------------	------------------------------------	----------------------

تئاتم البلمرات من ستيرين مع ٢ هيدروكسي ايثيل ميتاكريلات	تلبيس الكبسولات	فازوبرسين الأنسولين	الكلاب / الفئران	هذه الكبسولات تظهر استجابات حيوية وصفية لهذه الهرمونات الببتيدية في الكلب مع أذنها تختلف بشكل كمي
هلامات مائية محضرة لتمام البلمر مع ٢- هيدروكسي ايثيل ميتاكريلات مع ٤- ميتاكريلوكسي مع الآزو بنزين	هيدروجل	٥- فلورو يوراسيل	الزجاج	تحرر الدواء أسرع وأعظم في الوسط الغاطي للإنسان مقارنة مع الوسط المعدي والسوائل المعدية
بولي نوريثان المجزأ	التلبيس فوق الكريات	بوديزونيد	الفأر	هذا التلبيس آزو - مع البلمر للحبيبات مفيد في توجيه البوديزونيد إلى القولون لتقديم الشفاء الأمثل لالتهاب القولون المتهيج
أرومة الآزو المرتبط مغلف بالأورتوان المشابه	الفيلم القابل للتقويض	5-ASA	في الزجاج تقويض الأفلام بوجود العصيات اللبنية	ه. الأفلام تقوِّض بواسطة مرجعات الآزو - ونفوذية -5 ASA المعطية للفيلم أعلى بكثير من الشواهد

٤-٣- أنظمة عديدات السكاريد. Polysaccharied.

إنَّ استخلم البولي سكاريدات الطبيعية له أهمية كبيرة في استهداف الدواء القولوني حيث أنَّها متوفرة ولها توافرية وسعة وغيرمكلفة وتوجد بتراكيب متنوعة لخصائص مختلفة يمكن تعديلها بسهولة كيميائياً وحيوياً كما أنَّها ثابتة إلى حدٍّ كبير وأمينة، وغير سامة، ومحبة للها ومشكلة للهلام، بالإضافة إلى أنَّها قابلة للتقويض الحيوي، وهي تتضمن عديدات السكاريدات الطبيعية والتي نحصل عليها من النبات صمغ (الغوار - الدينوين) أو حيواني (الشيتوزان، سلفات الكوندوروتين) الألبين (الألجينات)، جرثومي (ديكستران) ويستطيع تقويضها بالفلورا الجرثومية القولونية إلى سكاكر بسيطة، وفيما يلي جدول بأصنافها.

الجدول ٤: عديدات السكاريد المدروسة لتحرر الدواء النوعي في القولون مع جرعاته. (20) (18)

أداء هذه الأجهزة	في الزجاج / الحيوية	الأشكال الجرعية المحضرة	الأدوية المستعملة	عديدات السكريد المدرسة
تحرر قليل من CF في أعلى القناة الهضمية ١٠٠% من تحرر الدواء في ٣٣% من المحتوى الأعوري خلال ٤ ساعات من الانحلال	في الزجاج	تلبيس داخلي كبسولات الشيتوزان	٥-٦) كاربوكسي فلوروسيل (CF)	الشيتوزان
نقصان في تحرر الدواء في الأوساط الحامضة وتحسن الانحلال في الأوساط القلوية	في الزجاج	كقالب	ديكلوفيناك الصوديوم	مشتقات الشيتوزان سوكسينات فترات الشيتوزان
سرعة تحرر الدواء في محتوى الأعور للجذر كان $60.8 \pm 15.7\%$ بالمقارنة مع $4.9 \pm 1.1\%$ في الشواهد	في الزجاج	قالب	اندوميتاسين	البكتين (استعمال كملاح للكالسيوم)
هذه القوالب غير مناسبة للأدوية المستهدفة للقولون	في الزجاج	أقراص المطرس	باراسيتامول	أميدات البكتين
أميدات البكتين تكون أكثر عرضة للإنزيمات الحالة للبكتين مقارنة مع بكتينات الكالسيوم وإن إضافة الايثيل سلولوز يزيد من قوة الأقراص وسرعة الانحلال وتلبس هذه الأشكال بالإيدراجيت L-100 ينقص من تحرر الدواء أعلى القناة الهضمية بدون التأثير على قابلية التقويض الإنزيمية	في الزجاج	أقراص المطرس مع إيثيل السلولوز وإضافات قالب الدواء	روبيفاسين	أميدات البكتين مع بكتينات الكالسيوم
كلما ازدادت الأربطة المتصالبة كلما نقص تحرر الدواء	في الزجاج	أقراص المطرس	اندوميتاسين	سلفات الكوندريوتين ذو الارتباط المتصالب

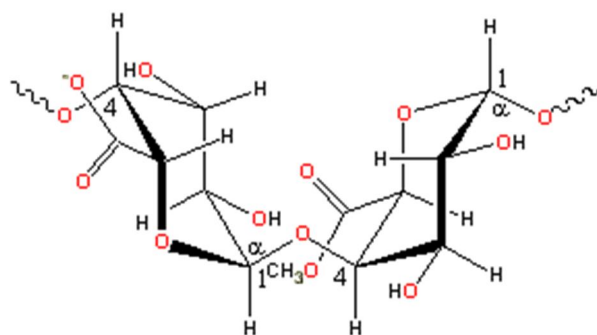
أجينات كملح كلسي	5-ASA	كريات مضاعفة التلبيس	في الزجاج	في الوسط القلوي، الكريات الملبسة داخلياً تنتج لتزيد من قوة الفيلم، والذي يؤدي إلى تحرر انفجاري للدواء
---------------------	-------	-------------------------	-----------	---

أ-البكتين Pectin

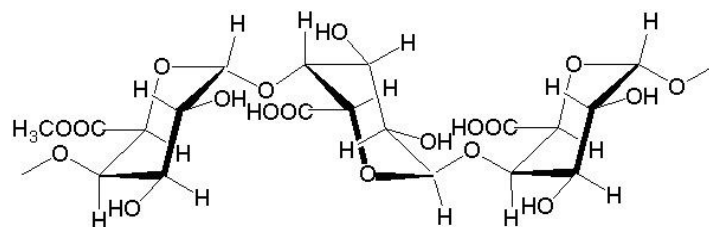
-المصدر: هو خليط معقد من عديد السكاريد يشكل حوالي ثلث المادة الجافة لجدار الخلية في النباتات الراقية والنسب الأقل من هذه المواد في جدار الخلايا العشبية.

تعتمد قدرة البكتين في تشكيل الهلام على الوزن الجزيئي، درجة الأسترة ومصدره، فقشر التفاح يحوي ١٠-١٥% من البكتين على حين الحمضيات ٢٠-٣٠% ومن وجهة النظر التطبيقية فإن البكتينات الحامضية والتفاحية متكافئة.

البنية الكيميائية: البكتين عديد السكاريد خطي، يختلف محتوى الوحدات أو الوزن الجزيئي من جزيء إلى آخر حسب المصدر والشروط المطبقة أثناء العزل، على الرغم من أنه اكتشف منذ ٢٠٠ سنة إلا أن تركيبه ليس مفهوم إلى حد كامل لأن البكتين يتغير خلال العزل من النباتات والتخزين وأثناء تصنيع المادة النباتية بالإضافة إلى وجود مكونات رئيسية تصاحبه تجعله غير نقي تماماً، حيث يتكون رئيسياً من وحدات حمض الغلاكتورونيك الميمن المرتبط بسلاسل ذات أربطة α -1-4-جليكوزيدية، هذه الأحماض لها زمر كربوكسيل يوجد بعضها بشكل طبيعي كاسترات الميثيل وبعضها الآخر يعالج كيميائياً مع الأمونيا لتعطي زمر كاربوكساميد. وفيما يلي الشكل (١١) الذي يبين بنية البكتين:



يحوي البكتين عدة مئات إلى ألف وحدة سكاريد في قالب يشبه السلسلة وهذا يوافق وزن جزيئي من ٥٠-١٥٠ ألف دالتون

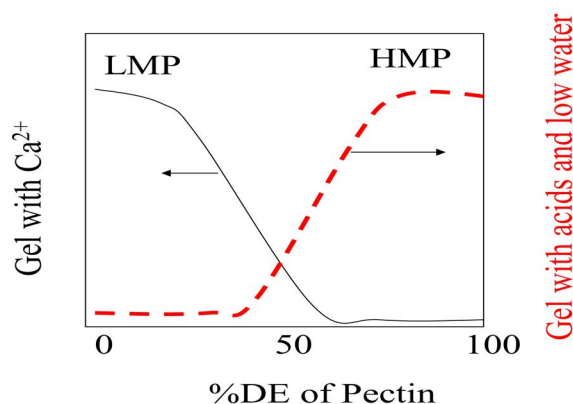


الشكل ١٢: الصيغة البنوية للبكتين (83)

درجة الأسترة: إن سلسلة حمض الغلاكتورونيك تؤسّر جزئياً مع زمر الميثيل والزمر الحمضية الحرة تتعدل جزئياً أو كلياً بالصوديوم أو البوتاسيوم أو أيونات الأمونيوم ومعدل الزمر المؤسّرة يعبر عنها بـ DE. ويبين الشكل (١٣) أنواع البكتين من حيث مجموعات الميثوكسيل:

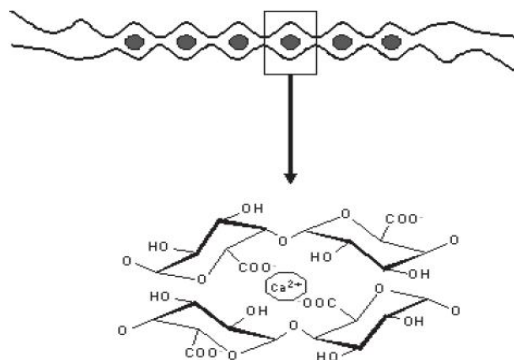
البكتينات عالية الميثوكسيل: تتحل بالماء الساخن وتحوي غالباً الدكستروز كعامل تبعثر لمنع التكتل ويتشكل الهلام ضمن $PH=3$ وهلامياتها عكوسة حرارياً.

البكتينات منخفضة الميثوكسيل: هلامياتها مستقلة عن المحتوى السكري وليست حساسة لـ PH وتحتاج إلى مقدار مضبوط من الكالسيوم أو الشرجيبات ثنائية التكافؤ للتهدم.



الشكل ١٣ البكتينات المنخفضة والعالية الميثوكسيل

آلية التهدم لـ LM: تعتمد رئيسياً على نموذج علب البيض وهي تتضمن مناطق اتصال جانب إلى جانب لترابط الغلاكتورونيداز بينما المتتاليات النوعية وحيد الجزيء من gal في السلاسل المجاورة أو المتوازية ترتبط بين الجزيئات بروابط أيونية وساكنة كهربائياً. ويمثل الشكل (١٣) التالي ارتباط الكالسيوم إلى متتاليات عديد الغالاكتورينات - ثنائي قشر البيض - كهف أو جوف قشر البيض



3 Schematic representation of calcium binding to polygalacturonate sequences: 'egg box' dimer and 'egg-box' cavity (adapted from Axelos & Thibault, 1991).

الشكل ١٤: نموذج جوف قشر البيض (٨٣)

الخصائص العامة للبكتينات:

- البكتينات منحلّة بالماء وفي المعادن القلوية من الشرجبات الوحيدة التكافؤ، بينما الشرجبات الثنائية والثلاثية التكافؤ ضعيفة الانحلال أو غير منحلّة، وعند إضافة البكتين إلى الماء يميل بسرعة إلى الإمالة وتتشكل كتل تحتوي على جيوب نصف جافة من البكتين الموجود في غلاف خارجي عالي الإمالة ثم تتحل هذه الكتل بعد ذلك بشكل بطيء ولمنع تشكل الكتل نقوم بخلط البكتين الجاف مع حامل قابل للانحلال بالماء أو استعمال بكتين تكون قابليته للانتثار والتبعثر عالية عبر معالجة نوعية خلال تصنيعه. (١٩) (١٠٠)

التطبيقات الصيدلانية والدوائية للبكتين:

إن بكتين وبكتينات الكالسيوم تقوّض بالإنزيمات الحالة للبكتين القولونية فتؤخر تحرر الدواء في أعلى القناة الهضمية لأنها تقوّض بالإنزيمات المعدية أو المعوية لعدم قدرته على الانحلال في تلك البيئة لذلك استعمل البكتين كسواغ في أشكال دوائية كثيرة مثل تلبيس الفيلم في جهاز تحرر نوعي في القولون عندما مزج مع الايثيل سولوز وفي جهاز تحرر مجهري الجزيئات في المستحضرات العينية والرقع patches على الأدمة في نمط القالب لما لها من قوة عالية كمادة بلمرية محبة للماء في جهاز تحرر المطرس المضبوط التحرر ولكن حلويته المائية تؤدي إلى تحرر سريع ومبكر للدواء ولإنقاص الحلوية العالية للبكتين يعالج بالتعديل الكيميائي بدون التأثير على خواص النقويض الحيوي المفضلة وهذا التعديل يمكن أن يتم بالتصبن المحرّض بالأحماض المعدنية والأسس وأملاح الأحماض الضعيفة والإنزيمات وأنظمة الأمونيوم المركزة والأمينات الأليفاتية البدئية. كما وأن أملاح البكتين الكلسية تنقص الحلوية لذلك يستخدم الكالسيوم في تحضير أقراص المطرس، وأعطت هذه قوة أكثر عند تطبيقها في أنظمة الدواء المستهدف في القولون، وأكثر من ذلك فإن الأربطة المتصالبة للبكتين مع الكالسيوم تثبط تحرر الدواء من كريات البكتين بتنشيط كلا الانحلال والانتاج لهذه الأجهزة. (٧٧)

-دوائياً :

* يؤثر البكتين لحد مرغوب على إنقاص مستويات الكولسترول في الدم حيث أن تناول ٦ غ من البكتين في اليوم ضروري لهذه الغاية.

* يعمل البكتين كمادة واقية بشكل طبيعي ضد الانسمام بالشارجبات السامة فهو فعّال في نزع الرصاص والزئبق من القناة الهضمية والأعضاء التنفسية .

* عندما يحقن وريدياً يقصد ر البكتين من زمن التخثر للدم المسحوب وهو مفيد في ضبط النزف الموضعي.

* يستخدم مع الغرويات الأخرى لعلاج الإسهال عند الأطفال والولدان مع أن له تأثير قاتل للجراثيم لكن هذه النظرية لم تدعم بالاختبارات المخبرية.

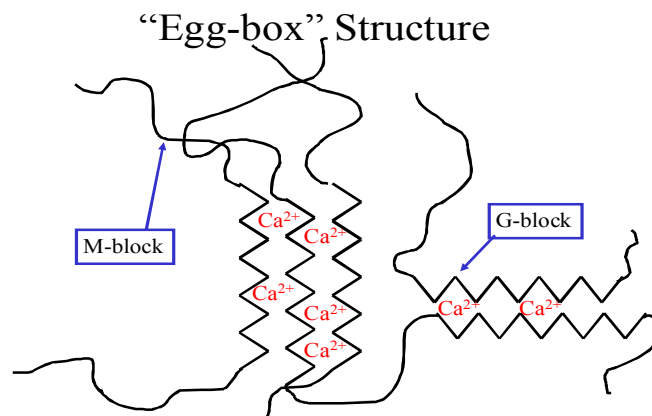
ب - الألبينات:

هي من عديدات السكر الكوّن بشكل طبيعي من نمطين من حمض اليورونيك الذي يقدم بزمرة الكربوكسيلية شحنات سلبية للألبينات وتحتوي أيضاً على وحدات من المارونيك والغلوكورونيك وهاها وزن جزيئي عالي يتراوح بين ٢٠-٦٠٠ كيلو دالتون.

تتحل ألبينات الصوديوم في الماء بينما ألبينات الكالسيوم تشكل الهلام حيث يتفاعل الكالسيوم مع المتتاليات المتجانسة الغلوكورونيك مشكلاً ترتيب متوازي للسلاسل ينجم عنه احتجاز الكالسيوم ضمن الفاصل المتولد عن وحدات الغلوكورونيك لقطعتين متميزتين وهذا الترتيب يوصف بنموذج "علبة البيض" حيث يتشكل الهلام حتى في التراكيز المنخفضة تحت ١% بشكل منفصل عن التفاعل مع الكالسيوم، وتشكل الألبينات معقدات مع عديدات الشارجبات مثل عديد ايتلين إمين، الشيتوزان، أو بيبتيديات أساسية مثل عديد الليزين وعديد الأرجين. (80) (81) (110)

وتنتج عادة جزيئات الألبينات بإسقاط محلول ألبينات الصوديوم إلى محلول كلوريد الكالسيوم فتتشكل الهلامه أنياً وتكون رؤوس الهلام بقطر يعتمد على حجم القطرة التي سقطت في محلول الكالسيوم. أما الجزيئات الأصغر فلها حجم ١-٥ ميكرون نحصل عليها باستعمال تقنية معقدة تسمح بالتحلق لألبينات الصوديوم ضمن محلول كلوريد الكالسيوم والصعوبة الرئيسية هي إنقاص الأبعاد لحجم الجزيء بهذه الطريقة.

وللحصول على جزيئات الألبينات بحجم ٣٠٠ نانومتر نقوم بالحل المائي لمحلول ألبينات الصوديوم ويثار التهلم بإضافة تركيز منخفض من الكالسيوم فيؤدي إلى تشكيل عناقيد غير مرئية لهلام الألبينات نستطيع مراقبتها بقياس اللزوجية والعناقيد المتشكلة نلاحظها بالعبور عبر المجهر الالكتروني بعد التلوين السلبي. هذا وتنوعات حجم الجزيء وتركيبه المختلفة ولزوجيته استعملت في تعديل تحرر الدواء لأنها تؤثر على الانتاج والتآكل وتحرر الدواء من الأقراص (نمط المطرس خاصة في pH معتدلة) وفيما يلي الشكل الذي يوضح بنية الألبينات



الشكل ١٥: البنية الكيميائية للأجينات 107

التطبيقات الصيدلانية للأجينات :

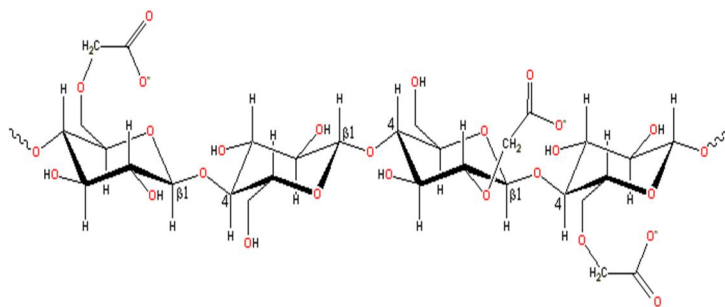
تستعمل كمثبتات في المستحلبات ومفككة في الأقراص وهلامياتها تطبق لتحضير المطارس والأفلام والكريات pellets والجزيئات المجهرية وجزيئات النانو حيث أن الكريات الألبينية الحاملة للدواء في الطبقات الداخلية والخارجية تحمي الدواء في سائل المعدة فلا يتحرر بينما يكون في التحرر ثنائي الطور خطي في الساعات الأربعة الأولى ثم يتبعها مرحلة خطية أخرى عندما يتغير وسط الانحلال في السائل المعدي .

دُرست جزيئات النانو الألبينية في الأدوية المضادة للتدرن عند الفئران فتبين أن جرعة فموية مفردة تعطي تراكيز دوائية علاجية في بلازما الدم خلال ٧-١١ يوم وفي أعضاء مثل الرئتين الكبد- الطحال - ومقارنة مع الدواء الحر في التدرن الميكروباكتريا الخامج للفأر تبين أن ثلاث جرعات فموية من جزيئات النانو متباعدة بفاصل ١٥ يوم تعطي شفاء من الجراثيم تام في أعضاء محددة مقابل ٤٥ جرعة تقليدية من الدواء الحر .

ج - السلولوز:

المكوّن الرئيسي الهيكلي لجدر الخلايا في النباتات، وهو البلمر العضوي الأكثر توفراً، وهو عديد سكاريد خطي، غير متفرع، يشتمل على وحدات غلوكوز الميمن ذو الارتباط B-١-٤، وجزيئات سلولوزية موازية كثيرة تشكل ألياف مجهرية بلورية قوية ميكانيكياً ومقاومة لحد عالي الهجمات الإنزيمية.

- غير منحل بالماء وغير قابل للهضم في جسم الإنسان وفيما يلي بنية السلولوز



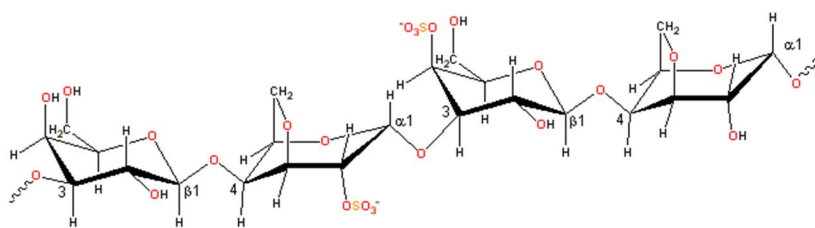
الشكل ١٦: البنية الكيميائية للسيلوز (107)

يمكن تصنيع المشتقات السلولوزية بالاسترة مثل (HPMC, CMC) والاسترة المتصالبة (نترات السلولوز، أسيتات السلولوز، فتالات السلولوز)، وقد أجريت دراسة قامت على مشاركة ايترين سلولوزيين هما CMC و HPMC كجزيء حامل بوليميري في أقراص المطرس المضبوط التحرر لدواء منحل هو الديلتيازيم ووجد أن كل بوليمير يحافظ بدوره على تحرر الدواء لفترة مديدة من الزمن والأكثر أهمية أن الخليطين من هذين البوليميرين في نمط المطرس يمكن حرائك تحرر الدواء ذات النمط الصفري في $pH=4.5$ و $pH=6.8$.

- في المطرس وحيد الطبقة يبدي المطرس مع HPMC أشكال انحلالية مشابهة لجهاز المضخة الحلوية للغلبنيزيد وهو دواء ذو انحلالية منخفضة وأبعد من ذلك يكون للمطرس HPMC تركيب هلامي أقوى من المصنوع من أكسيد عديد الايتلين والذي يقدم أداء أعلى في الزجاج بالمقارنة مع مقاومة المطرس للتخرب ضمن القناة الهضمية

د-الكارجينات

اسم مشتق من عديدات السكاريد الكبريتية ذات الوزن الجزيئي العالي نحصل عليها من أنواع من أعشاب البحر الحمراء التي تخص زمرة Chondrus Crisps وهذه الكارجينات لا تهضم في جسم الإنسان ويعطي فقط كتلة غذائية ويوجد ثلاثة أنماط أساسية من الكارجينات تركيبها الكيميائي ظاهر في الشكل التالي.

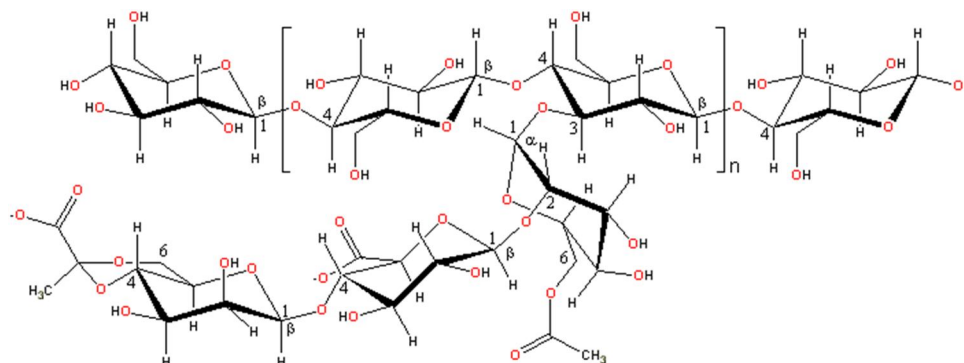


الشكل ١٧: البنية الكيميائية للكارجينات (١٠٧)

و-صمغ الكزانتان

المصدر: جرثومي ينتج من تخمر المستنبتات النقية للكربوهيدرات باستخدام الجراثيم سلبية الغرام من نوع *Xanthamonas campestris* البنية الكيميائية: يشبه السلولوز، عديد الغلوكوز B-٤-١ مع فروع ثلاثية السكاريد وعلى وحدات متبادلة من المونومير تحمل حمض الكاربوكسيليك.

الخصائص الوظيفية: منحل بالماء، لزج، غير هلامي، اللزوجة تعتمد بشكل قليل على درجة الحرارة. الاستعمالات الصيدلانية: يستعمل بشكل واسع كعامل معلق ومثبت ورافع للزوجية وفي صنع أقراص المطرس ذات التحرر المديد ويعتبر عامل مثخن للقوام في صناعة الشامبو ولا يتأثر كثيراً بقيم الباهاء ودرجة الحرارة وفيما يلي البنية الكيميائية للكرانتان.



الشكل ١٨: البنية الكيميائية لصمغ الكرانتان (١٠٧)

استعملت عديدات السكاريد السابقة بنجاح وخاصة ذات المنشأ النباتي في تصنيع أشكال جرعية لتؤدي وظائف متخصصة لتحسين تحرر الدواء لأن أدوية كثيرة حديثة لها حرائك دائرية وخصائص فيزيوكيميائية غير مرغوب بها وخاصة الأشكال ذات التحرر المضبوط في النمط القلبي مثل الجزيئات المجهرية، وحيدات المطرس، والهلام المائي ذو الأربطة المتصالبة على حين السلولوز والمشتقات من النشاء نصف التركيبية استعملت في الأشكال الجرعية التقليدية وهي تحت الاستقصاء.

خامساً - الفطور Common Mycotic Infection

١-٥ - تعريف الفطر Definition

الفطور هي عبارة عن حقيقيات النوى eukaryotes تحتوي كل خلية فيها على نواة واحدة على الأقل تكون محاطة بغشاء نووي nuclear membrane وشبكة اندوبلاسمية endoplasmic ميتوكوندريّة mitochondria وجهاز إفرازي secretory apparatus وتمتلك الخلية أو القطعة غشاء بلاسمي محاط بجدار خلوي. ويمتلك هذا الجدار بنية معقدة متعددة الطبقات تتألف بشكل رئيسي من عديدات السكاريد ٨٠% مرتبطة مع عديدات البيبتيد ١٠-١٥%، ليبيدات ٧-١٠%، أصبغة وأملاح معدنية ٥%. يختلف تركيب عديدات السكاريد حسب الفطر وغالباً نصادف سكر المانان، لغاوكان، السللوز أو الكيتين ويمكن أن يتكون الجدار أحياناً من عدة سكاكر مختلفة مثل الرامنوز والمانوز أو المانوز والأرابينوز وحمض الغلاكتورونيك وهي كائنات لا تستطيع صنع غذاءها العضوي كالنباتات التي تقوم

بالتركيب الضوئي ولا يحصل فيها انقساميوذي على التمايز إلى عضو أو نسيج والوحدة التركيبية الأساسية فيها هي الهيفا Hyphae : وهي سلسلة من خلايا أنبوبية تشبه السوط مفردة ومستقلة بذاتها .

٥-٢ تصنيف الانتانات الفطرية Classification of fungal Infection

لوحظ في العقدين الماضيين تغير في نموذج الانتانات الفطرية عند الإنسان، وقد اعتمد التصنيف على المظهر أكثر من اعتماده على خصائص التغذية أو الخصائص الكيميائية الحيوية حيث توجد ٥٠,٠٠٠ إلى ٢٥٠,٠٠٠ فقط ٥٠٠ نوع منها ممرضة عند الإنسان و ١٠٠ نوع فقط قادر على إحداث المرض عند الأشخاص المثبتين مناعياً . وبصنف الانتان الفطري تبعاً للموقع البدني للانتان إلى:

٥-٢-١ الانتانات الفطرية السطحية Superficial Infections

٢-١-١-١ النخالة المبرقشة Pityriasis Versicolor

٢-١-١-٢ السعفة السوداء Tina nigra

٢-١-١-٣ البصرة السوداء Black piedra

٢-١-١-٤ البصرة البيضاء White peidra

وكلها تشخص بالمنظر المجهرى وتعالج بسرعة بالمستحضرات الموضعية .

٥-٢-٢ الانتانات الفطرية الجلدية Cutaneous infections

- انتانات الجلد وملحقاته الأظافر والشعر .

- ٢٠ نوع من الفطور الجلدية تسبب داء ringworm

٥-٢-٣ الانتانات الفطرية تحت الجلدية Subcutaneous infections

وهي عبارة عن انتانات تحت الجلد، أكثر من ٣٥ نوع تسبب مرض التهابي مزمن في النسيج تحت الجلد والطرق للمفاوية مثالها داء الشعريات المبوغة sporotrichosis وهي آفة متفرحة في مكان دخولها يعقبها عقيدات متعددة تنجم عن فطور ثنائية الشكل هي المبوغات الشنكية sporotrix schenckii .

٥-٢-٤ الانتانات الفطرية الجهازية Systemic-fungal infections

غير شائعة في حالة المناعة الطبيعية العالية، تشمل الحواجز الفيزيائية - الجلد - الأغشية المخاطية تنمو في درجة حرارة أقل من ٣٧° C .

داء المكورات الخبيثة Coccidioidomycosis، داء النسوجات Histoplasosis، داء Blastomycosis

٥-٢-٥ الانتانات الفطرية الانتهازية Opportunistic-Mycoses

- لا تسبب بشكل طبيعي المرض عند الأشخاص الأصحاء .

- تسبب المرض فقط عند الأشخاص المثبتين مناعياً .

- تحدث الوظيفة المناعية المضعفة بسبب :

_العوز المناعي الموروث .

- الأدوية التي تثبط الجهاز المناعي (المعالجة الكيميائية للسرطان - الستيروئيدات القشرية - الأدوية ذات الرفض المناعي).

- المعالجة الإشعاعية، الالتهاب، السرطان، الداء السكري، تقدم العمر، سوء التغذية malnutrition.

الانتانات الفطرية الانتهازية الأكثر شيوعاً :

٢-٥-١- داء المبيضات Candidiasis

٢-٥-٢- داء الرشاشيات Aspergillosis

٢-٥-٣- المكورات الخبيثة Cryptococcosis

٢-٥-٥- المتكيس الرئوي الكاريني Pneumocystis carinii

٢-٥-٦- الفطر المخاطي Zygomycosis

٥-٣- داء المبيضات Candidacies

يدعى أيضاً باسم داء مونيليا Moniliasis أو داء أوديوم Oidium وهو فطر خمائري ذو تطفل رمي للجلد والمخاطيات قد ينقلب إلى تطفل ممرض في بعض الشروط ويسبب إصابات حادة أو مزمنة للجلد والمخاطيات وبشكل نادر تكون حشوية معممة.

المبيضات البيض من أفراد الفلورا الجرثومية البشرية الداخلية توجد في القناة الهضمية، الطرق التنفسية، جوف الفم، المهبل ويمكن للصادات الواسعة الطيف أن تبدل الفلورا الهضمية أو عند الأذية المخاطية، تغزو المبيضات البيض الجهاز الهضمي، وعلى الرغم من أن الجلد والحواجز المخاطية تشكل حواجز طبيعية فعالة، لكن يؤدي التخريب بواسطة القاطر ولاسيما القاطر الوريدية إلى دخول المبيضات البيض إلى مجرى الدم، ويبقى داء المبيضات البيض المهلي هو الانتان السريري الأكثر شيوعاً.

- العوامل الموضعية الـ pH، تركيز الجلوكوز، ذو أهمية في حدوث الانتان.

- الاستجابة المناعية: Immune Response

المفاويات المفعلة بالستوكين تثبط نمو المبيضات.

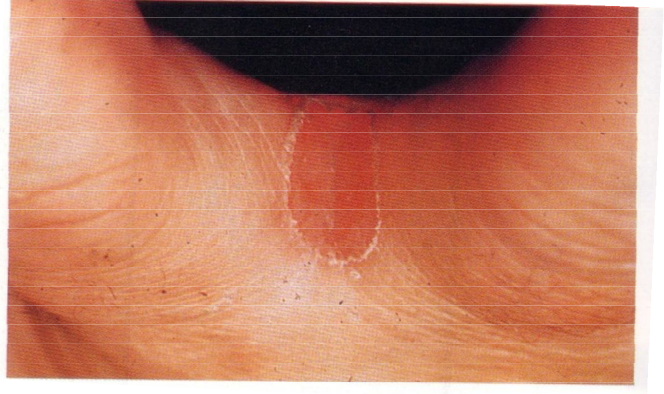
- المرضى ذو الخل في وظيفة البلعمة وعوز الميلوبيروكسداز يكون في خطر من داء المبيضات المنتشر disseminate والمميت fatal

- المقاومة للانتان الفطري الغازي يتوسطه الخلايا البالعة والمتممة والأضداد مع أن CMI (المثبط لنمو الجراثيم) يلعب دور أساسى.

٣-١- أعراض داء المبيضات البيض

يسمى الداء السلاقي وهي بقع أبيض كريمي أو حمراء على اللسان ملتهبة وأحياناً حمراء قائمة وعلى بطانة الفم أو في البلعوم، وحين يكون الانتان في مجرى الدم يمكن أن يصيب الكليتين، القلب، الرئتين، العيون، أو أعضاء أخرى.

المبيضات البيض بين الأصابع



السلاق الفموي

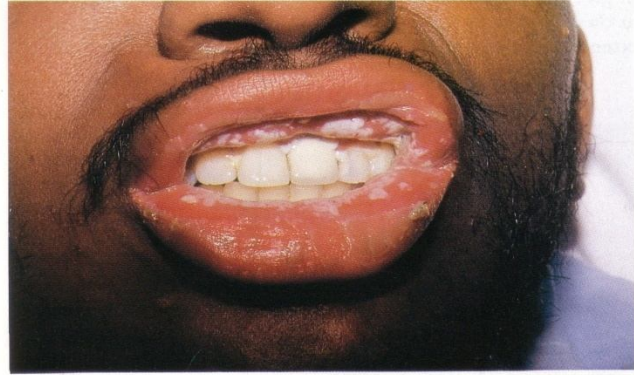


Figure 4.3 Candidosis, thrush.

الشكل ١٨: فطر المبيضات البيض الفموي (الداء السلاقي) وبين الأصابع (١٠٦)

٣-٢- العوامل الخطرة في داء المبيضات Risk Factors for Candidiasis

- ١- حالة ما بعد الجراحة.
 - ٢- العلاج الكيميائي السام للخلايا السرطانية Cytotoxic cancer chemotherapy
 - ٣- المعالجة بالصادات الحيوية.
 - ٤- الحروق.
 - ٥- الإدمان الدوائي والمخدرات.
 - ٦- إصابة القناة الهضمية.
- ٣-٣- التشخيص المخبري:

يعتمد التشخيص على الفحص المباشر وعلى عزل الفطر بالزرع لتحديد ذاتيته ونوعه ولا نستطيع الحكم على الإصابة الفطرية إلا ضمن الشروط الثلاث الآتية:

- ١- أن يكون الفطر هو الغالب في التشخيص (فحص مباشر وزرع).
- ٢- أن يظهر الفطر دائماً إذا كررنا الفحص والزرع.

٣- أن تتطابق الأعراض المرضية السيرية مع ظهور الفطر.

٣-٣-١- الفحص المباشر

تلون المحضر بأزرق الميثيلين أو بملون غرام فتظهر الخمائر المبرعمة إما قليلاً أو بغزارة وهي عبارة عن أشكال مدورة أو بيضوية بقطر ٢-٤- مكرون ذات نهايات مدورة وغلاف رقيق أو قد لا تترافق بخيوط لنسيج فطري مقسّم بحواجز بأطوال مختلفة.

العينة المأخوذة	أنواع فطور المبيضات المسببة	الإصابة المرضية
١- إصابات فطرية جلدية: المذح (فخذي - حول الشرج - صفني - اربي - فوتي - ابطي) الصماغ داء الفطر الناشب خراج تحت الجلد وخراجات عامة	المبيضات البيض Candida Albicans Candida Albicans Candida Albicans C. Parakrusei	الوسوف مسحة القيح
٢- إصابة فطرية للمخاطيات السلاق الفموي التهاب المهبل التهاب الحشف	C. Albicans C. Tropicalis C. krusei	مسحة
٣- إصابة فطرية هضمية إصابة معوية إصابة صفراوية	C. Albicans C. Tropicalis	البراز، مسحة شرجية تنبيب عفجي بزل الحويصل الصفراوي
٤- إصابة فطرية للقصبات والرئتين	C. Albicans C. Tropicalis C. Pseudotropicalis	القشع، مفرزات القصبات
٥- إصابة فطرية حشوية خراجات دماغية خراجات كلوية تسمم الدم التهاب سائل الجنب	C. Albicans C. Para Krusei C. Trpicalis C. Guilliermondii	السائل الدماغي الشوكي البول الدم

ويعتبر وجود شكل خمائري وخيوط فطرية في المحضر نفسه دليل قاطع على وجود خمائر من جنس المبيضات .
وتتم رؤية هذه الأشكال في العينات المختلفة بعد تطبيق الإجراءات التالية : ١١٢

أ- تلوين اللطاخات بملون غرام ،أو زرقة الميتلين

ب- إجراء فحص عبيط للقيح أو البراز أو السوائل الفيزيولوجية .

ج- تشفيف الوسوف والأظافر بتسخينها ضمن البوتاس ومن ثم فحصها .

د- تلوين المقاطع النسيجية بملون PAS أ ملون HEMALUN .

ويجب التأكيد على وجود عدد كبير من العناصر الفطرية عند تقرير إيجابية الفحص المباشر لأن العدد القليل يمكن أن ينجم عن تلوث طارئ وبالتالي يسبب تشخيص خاطئ.

ثانياً : الزرع وتحديد الصفات الشكلية والكيميائية الحيوية:

يتم عزل هذه الخمائر باستخدام وسطين زرعيين،الوسط الأول هو وسط سابورو الذي يحتوي على كل من الجيلوز والغلوكوز والكلورامفينيكول ويصلح هذا الوسط لعزل كافة الخمائر .أما الوسط الآخر فهو سابورو الذي يحتوي أيضاً على الكلورامفينيكول والأكتديون ويصلح هذا الوسط لعزل الفطور التي تنتمي لجنس المبيضات .

بعد عزل الفطور على أوساط سابورو نعيد زرعها على وسط PCB الحاوي على البطاطا والجزر والصفراء ، حيث تزرع بعمق ٢ Mm تحت سطح الجيلوز . وتحضن الأنابيب المزروعة بدرجة حرارة ٣٧ درجة مئوية ، درجة الحرارة المثلى للنمو ، ويجب عدم إغلاق الأنابيب بشكل محكم وذلك للسماح بالتهوية اللازمة ، نأخذ بعد ٢٤-٤٨ ساعة من الزرع جزءاً من الجيلوز ن من المنطقة التي يلاحظ عياناً وجود الخيوط فيها ونسحقه بين صفيحة وساترة ونفحص بمجهر متباين الأطوار .

تمتاز جميع فطور المبيضات بامتلاكها لشكل خيطي ،عبارة عن نسيج فطري حقيقي أو كاذب ، حيث تتوزع أبواغ متبرعمة بشكل غير منتظم حول الخيوط الفطرية .بالإضافة لذلك يمتاز نوع المبيضات البيض بوجود أبواغ خفية انتهائية أو جانبية ،مدورة أو بيضوية ويتراوح قطرها بين ٦-١٢ ميكرومتر . تمتاز الأبواغ الخبيثة بامتلاكها لجدار ثخين وعاكس للضوء .

يعتمد تشخيص المبيضات البيض على وجود أبواغ خفية على وسط PCB وعلى إعطاء هذه الخمائر لتفاعل تخطيط إيجابي حيث يلاحظ ظهور خيوط بعد ساعة من الزرع في السيروم والحضن بدرجة ٣٧ درجة مئوية .
بتم تشخيص الأنواع الأخرى اعتماداً على تحديد صفاتها الكيميائية الحيوية مثل تمثل السكاكر ،الحساسية للأكتديون إرجاع التيترازوليوم ، وتفاعلات تخمر السكاكر . يتم الحصول على النتيجة خلال ٢٤-٤٨ ساعة .

٣-٣-٢ التشخيص البيولوجي :

يعتمد التشخيص البيولوجي على رؤية الخمائر والخيوط في الفحص العبيط ،سواء أكان باستخدام البوتاس ١٠% أولاً،أو بتلوين غرام ١١١.

تعتبر المزارع ضرورية ،حيث نستخدم أوساط سابورو أو وسط Mycosel حيث تنمو الخمائر على الأوساط السابقة خلال مدة تتراوح بين ٢٤-٤٨ ساعة بحرارة المخبر ويمكن أن يتطلب نمو هذه المستعمرات عدة أيام في بعض

الحالات .ويعتبر وسط البطاطا والجزر PCB الوسط الوحيد الذي يسمح برؤية الشكال المقاومة ذات الجدار المضاعف والتي تسمى الأبواغ الخبيثة
يتم أخذ العينات لكشف وجود الخمائر فيها وفقاً لمكان الإصابة حيث نأخذ مسحة من الأغشية المخاطية أو برادة الأظافر أو مسحة من القيح في حال وجوده أو الخزعة في حال الإصابة العميقة أو الجهازية

٣-٣-٣- التشخيص المناعي : ١١٢

يعتمد هذا التشخيص على نوعين من التفاعلات ١١٠ تفاعلات مصلية وتفاعلات التآلق المناعي
أ- باستخدام التفاعلات المصلية : تستعمل للكشف عن داء المبيضات العميق والدموي وذلك باستخدام تفاعلات الانتشار المناعي في الجيلوز - الرحلان الكهربائي والالكتروسينيراز electrosynerase .
ب- باستخدام تفاعلات التآلق المناعي :
يكون التفاعل إيجابياً إذا كانت النسبة أعلى من ١/٤٠ وإذا تراوحت النسبة بين ١/٦٠ و ١/٢٨٠ فإن هذه النتيجة توجه نحو تشخيص داء المبيضات الدموي أو الجهازية في هذه الحالة يجب مراقبة ارتفاع الأضداد
هذا وقد كشفت الأنواع المختلفة لجنس المبيضات وجود ٧٨ مستضد منها مقاوم للحرارة ومنها ما هو حساس للحرارة .
يوجد نمطان مصليان للمبيضات البيض B،A

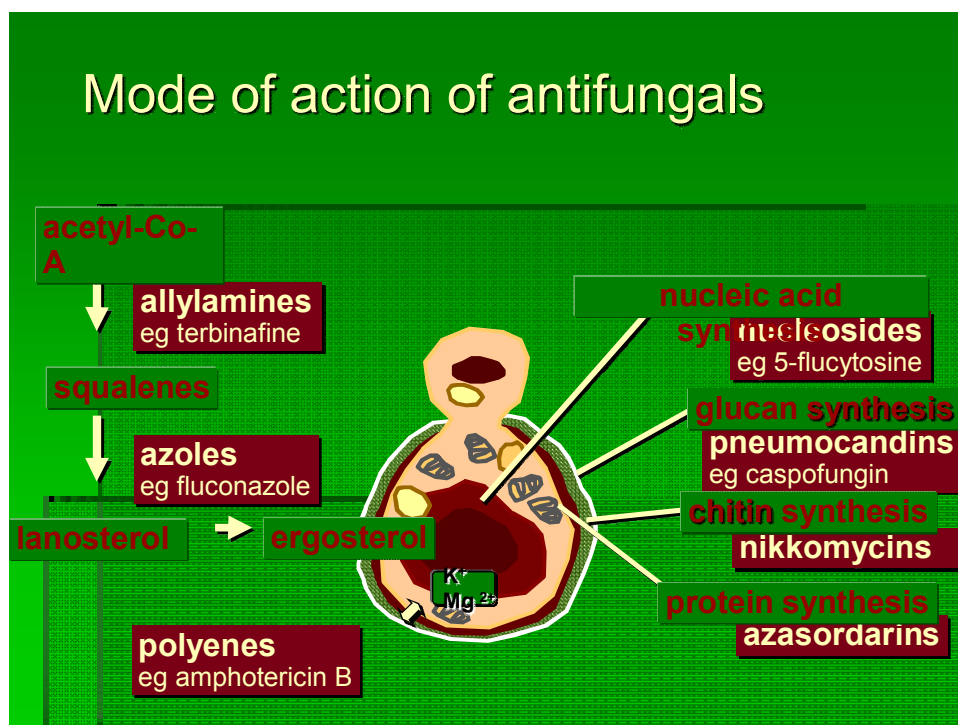
يزرع العنصر المرضي على وسط سابورو المضاف إليه الصادات الحيوية (مثلاً الكلورامفينكول) وبدرجة حرارة ٢٥-٣٠ °C وخلال ٢٤-٤٨ ساعة فيعطي مستعمرات بيضاء خمائية الشكل وإذا كانت العينة من الجلد يضاف للوسط اكنيدون .

وتقسم الأوساط المستخدمة للزرع إلى ثلاثة زمر :

- ١-وسط العزل البدئي primary isolation (وسط سابورو مع الآغار والدكستروز)
- ٢-وسط لتحديد شكل الفطر morphology for (ذرة آغار مع التوين)
- ٣-وسط لتحديد الخصائص الكيميائية الحيوية للفطر media for biochemical (كازئين، تيروزين، كزانئين مع الآغار)

سادساً - الأدوية المضادة للفطور Antifungals drugs

تعمل مضادات الفطور على خاصية وجود الاختلاف بين الخلايا الثدية والخلايا الفطرية لقتل المتعضيات الفطرية بدون التأثير المؤذي للمضيف، حيث أن الخلايا الفطرية وخلايا الإنسان متماثلة من الناحية الصبغية ولا تشبه الجراثيم لذلك نجد صعوبة كبيرة في جعل مضادات الفطور تستهدف الخلايا الفطرية بدون خلايا الإنسان سيما وأن لمضادات الفطور تأثيرات جانبية وبعضها إن لم تستعمل بشكل آمن فهي مهددة للحياة، وهناك عدة أصناف من مضادات الفطور: ويوضح الشكل التالي آلية عمل مضادات الفطور المختلفة:



الشكل ١٩: آلية عمل مضادات الفطور (١٠٩)

١-٦ - مضادات الفطور Polyene Antifungals

وهي جزيئات دائرية تحوي على قسم محب للماء وقسم كاره للماء وهذا يجعل البوليين Amphoteric molecule وترتبط هذه المركبات مع الستيرويدات في غشاء الخلية الفطرية وبشكل أساسي مع الارغوستيرول فتغير درجة حرارة الانتقال عبر الغشاء الخلوي من السائل إلى الشكل الأكثر تبلوراً وكنتيجة فإن محتويات الخلية المحبة للماء ترشح وتموت الخلية، وتكون الخلايا الحيوانية أقل حساسية لأنها تحوي على الكولستيرول بدلاً من الارغوستيرول ومن الأمثلة على هذه الزمرة:

Natamycin-46 Carbons, bind well to ergosterol
 Rimocidin
 Filipin-35 Carbons, bind to cholesterol
 Nystatin
 Amphotericin B

٦-٢- مضادات الفطور Allylamines

تنشط مضادات الفطور هذه إنزيم سكوالين ايبوكسيداز وهو إنزيم آخر ضروري لتصنيع الارغوستيرول ومن الأمثلة على هذه الزمرة :

Terbinafine
Amorolfine
Naftifine
Butenafin

٦-٣- مضادات الفطور Echinocandins

تنشط مضادات الفطور هذه تصنيع الغلوكان في جدار الخلية وقد يكون إنزيم 1,3-& ومن الأمثلة على هذه الزمرة:

Anidulafungin
Caspofungin
Micafungin

٦-٤- مضادات الفطور Pyrimidines

Fluorocytosine

٦-٥- مضادات الفطور الازيدازولية Imidazole and triazole antifungals

وهي مركبات اصطناعية تصنع من حلقات خماسية واحدة أو أكثر كل منها يحوي ذرتين نتروجين (الازيدازول) أو ثلاث (التريازول) تعمل كمثبطات للسيتوكروم ٥٤ عبر ارتباطها مع ذرة الحديد على زمرة الهيم الاصطناعية وتتفاعل بعضها مع أغشية الخلية فيؤثر على الإنزيمات الأخرى المرتبطة بالغشاء وأشار إلى أن السيتوكروم أكسيداز هي الهدف البدئي للكيوتوكونازول أما التأثيرات الأخرى للأزولات هي زيادة تركيب الحمض الدسم ونزع الإشباع وعند المستويات العالية تخريب الغشاء بشكل مباشر ومن الأمثلة على هذه الزمرة:

Imidazoles

Miconazole
Ketoconazole
Clotrimazol
Econazole
Bifonazole
Butoconazole
Fenticonazole
Isoconazole
Oxiconazole
Sertaconazole
Sulconazole
Tioconazole

Triazoles

Fluconazole
Itraconazole
Ravuconazole

Posaconazole
Voriconazole
Terconazole

- الاختبارات في الزجاج للأدوية المضادة للفطور In vitro testing of antifungal drugs

١- صممت الاختبارات في الزجاج لتحديد المقدار الأدنى من الدواء اللازم لتنشيط نمو سلالات الفطور وهو MIC (the minimum inhibitory concentration) في المزارع الفطرية ويستعمل هذا المقدار لتحديد الفعالية النسبية لمختلف المركبات الأزولية ولتحديد السلالات المقاومة للدواء .

٢- لا توجد معايير محددة لفرق بها بين السلالات المقاومة للدواء ولكن غالباً السلالات التي تحوي MIC اكبر لمركب خاص هي السلالات المقاومة المفحوصة تحت نفس الشروط ويعتمد هذا التفريق على مدى التوافق بين MIC والنتيجة السريرية .

١- جرت عدة محاولات لتقييم العلاقة بين الاختبارات في الزجاج لمضادات الفطور الايمدازولية مع نتائج تطبيقها على أشكال الانتان الحيواني فوجد البعض أن العلاقة ٣/٥ في حين وجد الآخرون أنها ٦/٧
٤- تعزى العلاقة الضعيفة التي نلاحظها أحياناً بين الاختبارات في الزجاج والنتائج السريرية للعلاج بمضادات الفطور الأزولية للاختلاف الهائل لقيم MIC تحت شروط الاختبار الجيد وهذه النتائج تتأثر بعدد من العوامل التقنية منها:

- تركيز الشحنة الفطرية (تركيز الفطر في المزرعة)

- تركيب الوسط

- pH الوسط

- درجة حرارة الحضانة ومدة الحضانة

والصعوبة الأخرى التي نواجهها أن المركبات الأزولية تسبب غالباً تثبيط جزئي للنمو على مدى واسع من التراكيز فتجعل التحديدات البصرية للنتائج النهائية لا MIC صعبة.

٥- أوجدت اللجنة الوطنية الأمريكية للمعايير المخبرية السريرية طريقة معيارية لاختبار التحسس لمضادات الفطور والتي يمكن أن نقارن بها الطرق الأخرى وتطبيقاً لها وجدنا أن MIC العالي هو برهان ضعيف على فشل المعالجة والأكثر قبولاً أن MIC للسلالات الأكثر حداثة هي أعلى من السلالات التي حصلنا عليها في وقت مبكر من المعالجة (باستخدام نفس طرق الاختبار).

٦- مع الكيتوكونازول يوجد علاقة ضعيفة بين الاختبارات في الزجاج والنتائج على الانتان الحيواني بالمقارنة مع اختبارات الفلوكونازول وهذا ما دعى إلى وجود هذا البحث.

بعض الأشكال الصيدلانية المتوفرة من مضادات الفطور

- {1} Sporanox (Itraconazole) -oral solution -injection -capsules
- {2} Nizoral (ketoconazole) -shampoo -skin cream -tablets
- {3} Diflucan- (fluconazole) -injection -oral suspension -tablets
- {4} Gyne-Lotrimin, Gynix, Lotrimin, Mycelex, Trivagizole (clotrimazole) skincream-lotion -
solution -vaginaltablets -vaginalcream -lozenges
- {5} Cruex, Miconazole, Desenex Miconazole, M Zole, Micatin, Monistat, Zemycan,
(Miconazole) vaginalcream -vaginalsuppositories -skincream -aerosol powder or liquid
- {6} Mycostatin, Nilstat, Nyotran, Nystex, Nystop (Nystatin) vaginaltablets -skin cream -lozenges
-oralsuspension -tablets

القسم العملي

أولاً - الهدف من البحث Aim of Study

١- تصميم أشكال جرعية من كريات بكتينات الكالسيوم وتحميلها بمضادات فطرية وتقسيثها (تشبيكها) بالبولمرات المختلفة التي تضمن زيادة فترة الثبات للمادة الفعالة خلال مرورها في أوساط مختلفة من pH السبيل الهضمي، بهدف إطالة زمن تحرر المادة الفعالة منها .

٢- تطبيق هذه الكريات على مزارع فطرية من مبيضات البيض ومقارنتها مع أقراص تحسسية تحمل المضاد الفطري نفسه، وبيان تأثير العوامل المشبكة cross-linking agents على إطالة زمن تحرر المضاد الفطري من حيث نوع المشبك وتركيزه، لجعل هذه الكريات تؤمن إطلاق مديد للدواء على المزارع الفطرية بحيث تكون الاختبارات في الزجاج أقرب ما يمكن إلى النتائج السريرية.

ثانياً - المواد والطرق والأجهزة Material, methods ,and Equipment

- المواد Materials :

تم الحصول على:

- بكتين أميدي (C-175 - OG - unipectin) من شركة Degussa, Germany بدرجة أسترة مخفضة ١٨-٢٨%.

- كلوريد الكالسيوم من شركة Sahrlau Chemie, Spain.

- إيدراجيت بنوعية RS, RL من شركة R. Oehem Gmb Hand CO., Germany.

- هيدروكسي بروبيل ميثيل سلولوز HPMC من شركة Rant Renidi Ceprt.

- بولي إيثيلين إمين من شركة Aldrich, Germany.

- دارئات من Potassium-Hydrogen Phtalate $H.H C_6H_4(COO)_2$ من شركة Germany.
FLUKA.

- اسيتات الصوديوم من شركة CDH.

- فسفات الصوديوم من شركة HiMedia.

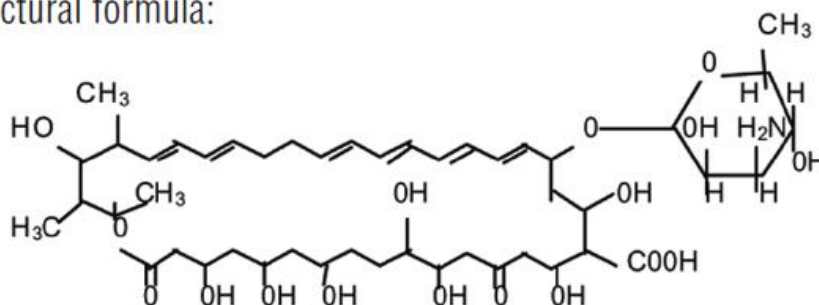
- نيساتين من شركة .Roztoky. Va AB pharm, Grech-republic
 - كيتوكونازول من شركة India Limited Nicholas piramal
 - أقراص تحسسية للنيساتين والكيتوكونازول من شركة B.T.C biomedical technologies center (Abtek).
 - وسط سابورو لشركة Biome rieux Sa-69280 Marcypetolle -France
- وقد تمتعت جميع المذيبات والكواشف المستعملة بدرجة نقاوة عالية وكانت مخصصة للأغراض التحليلية.

١ - النيساتين Nystatin

مضاد فطري جرثومي بوليني، يستحضر من فطر العقديّة نورسي NURSIE، صيغته الكيميائية $C_{47}H_{75}NO_{17}$ ، كتلته الجزيئية 926.09. مسحوق أصفر إلى بني فاتح، مع رائحة وصفية. يحوي ليس أقل من ٤٤٠٠ وحدة/ ملغ من المادة الجافة، ويحدد دستور الأدوية الأمريكي USP إن النيساتين المستعمل كمعلق فموي يحتوي ليس أقل من ٥٠٠٠ وحدة / ملغ. ويتخرب بالتعرض المطول للحرارة والضوء والهواء $PK_a = 4.5 - 8.63$ (USP30).

١-١ - Chemical structure

structural formula:



الشكل (١): الصيغة البنوية للنيساتين

١-٢ - الانحلائية:

ينحل بشكل ضئيل في الماء، ولا ينحل في الكحول والكلورفورم والايتر. حسب B.P: ينحل بشكل خفيف في الكحول الميثيلي، وبشكل حر في الذي ميثيل فورماميد ودي ميثيل سلفوكسيد. وبحسب الـ USP: ينحل بشكل خفيف في الماء، وخفيف إلى شديد في الكحول الميثيلي، و - N بروبيال الكحول، و N بوتيل الكحول، ولا ينحل في الكلورفورم والايتر.

لمعلقه بنسبة ٣% في الماء قيمة $pH = 5.6 - 8$.
يخزن في أوعية محكمة السد في درجة الحرارة بين ٢-٨ م، بعيداً عن الضوء. ويعتبر النيساتين جزيء مذئب لوجود مجموعة الكاربوكسيل ومجموعة الأمين.

١-٣- آلية التأثير Pharmacodynamic

كما ذكر سابقاً النيساتين مضاد فطري بوليني يتدخل في نفوذية الغشاء الخلوي للفطور الحساسة بالارتباط مع الستيروولات وبشكل رئيسي مع الارغوستيرول، فتتشكل تفاعلات نوعية بين النيساتين والستيروولات تؤدي إلى تشكيل قنوات عبر الأغشية، وبالتالي إلى أذية الخلية الفطرية بسبب تغير نفوذية الغشاء.

١-٤- الحركية الدوائية Pharmacokinetics

يمتص النيساتين بشكل ضعيف من القناة المعوية المعوية.

١-٥- الاستطبابات والجرعة Dose & therapeutic indication

يستخدم النيساتين للعلاج والوقاية من داء المبيضات البيض *Candida albicans* الذي يصيب الجلد والأغشية المخاطية ويعتبر آمناً فموياً لضعف امتصاصه من القناة المعوية ويعطى بجرعات:

- ١- لعلاج داء المبيضات المعوي أو المريئي ٥٠٠,٠٠٠ أو مليون وحدة عبر الفم ٣-٤ مرات يومياً.
- ٢- عند الأطفال لتثبيط نمو الفلورا المعوية حيث يطبق مع المضادات الحيوية في حميات مختلفة وجرعات ١٠٠,٠٠٠ وحدة أو أكثر، ٤ مرات يومياً.
- ٣- في علاج آفات الفم: يعطى معلق في جرعة ١٠٠,٠٠٠ وحدة ٤ مرات يومياً. ويوصى بتجنب أخذ المرضى الطعام والشراب على الأقل بعد ساعة من إعطاء الدواء لكي يبقى في تماس مع المنطقة المصابة أطول فترة ممكنة ويوصى باستمرار المعالجة الموضعية في جوف الفم مدة ٤٨ ساعة بعد زوال الأعراض.

- ٤- في العلاج المستمر يوصى U.S.P تطبيق ٤٠٠-٦٠٠ ألف وحدة ٤ مرات يومياً.
- ٥- في الانتانات المهبلية يطبق ١٠٠-٢٠٠ ألف وحدة يومياً لأسبوعين بشكل تحاميل مهبلية أو كريم مهبلية.
- ٦- في الآفات الجلدية مرهم - جل - كريم - مسحوق يحوي ١٠٠ ألف وحدة/ غ، تطبق ٢-٤ مرات يومياً.

١-٦- التأثيرات الجانبية adverse reaction :

يمكن أن يحدث بعد التطبيق الفموي للنيساتين غثيان nausea، إقياء vomiting، إسهال diarrhea، طفح rash، ونادراً ما يتشكل تآذر ستيفن - جونسون، وأحياناً يحدث تخريش بعد التطبيق الموضعي للنيساتين (73).

١-٧-١- المعايرة Assay

١-٧-١-١- معايرة جرثومية Antibiotic-microbial assay (USP30)

تحضير وسط الزرع Sabouraud - Dextrose - agar

يوزن ١٩,٥ غ من وسط الزرع وتحل في ٣٠٠ مل من ماء منزوع الايونات ثم يسخن مع التحريك حتى الغليان، ثم يوضع في الصاد الموصد (الوتوغلاف) 121°C للتعقيم. بعد ذلك يصب طبقتين للمعايرة، حيث تصب الطبقة الأولى 100 Baselyer مل من الوسط في كل طبق وتترك لتجمد وعندما تنخفض درجة حرارة الوسط إلى ٤٠ يحقن 1000 مكرون من المعلق الفطري (Candida) في ١٠٠ مل من الوسط المتبقي، وتصب الطبقة الثانية secondlyer (٥٠ مل في كل طبق) وبالتالي يصبح لدينا في كل طبق طبقة سفلى (١٠٠ مل) لا تحوي معلق فطري والطبقة العلوية (٥٠ مل) تحوي المعلق الفطري.

طريقة تحضير المعلق الفطري:

نقوم بنسخ فطر الكانديدا (المبيضات) بعد التأكد من الفطر، وعمل محضر تحت المجهر على وسط Sabouraul الصلب قبل القيام بالمعايرة مدة ٢٤ ساعة وعند البدء بالمعايرة نأخذ سطح الطبق الذي تم نسخه والذي يحوي على الفطر ونضعه مع 25 مل من مصل فيزيولوجي، ونأخذ فيما بعد من هذا المعلق ١٠٠٠ مكرون، ولحقنها في ١٠٠ مل من الوسط كما هو مذكور سابقاً بعد ذلك، تحفر آبار باستخدام اسطوانات، ويحقن بكل بئر ٢٠٠ مكرون من كل من العينات والشاهد، ومن ثم تحضن الأطباق بدرجة 35°م لمدة ١٨-٢٤ ساعة، ثم تقرأ الهالات باستخدام جهاز Zome - reader .

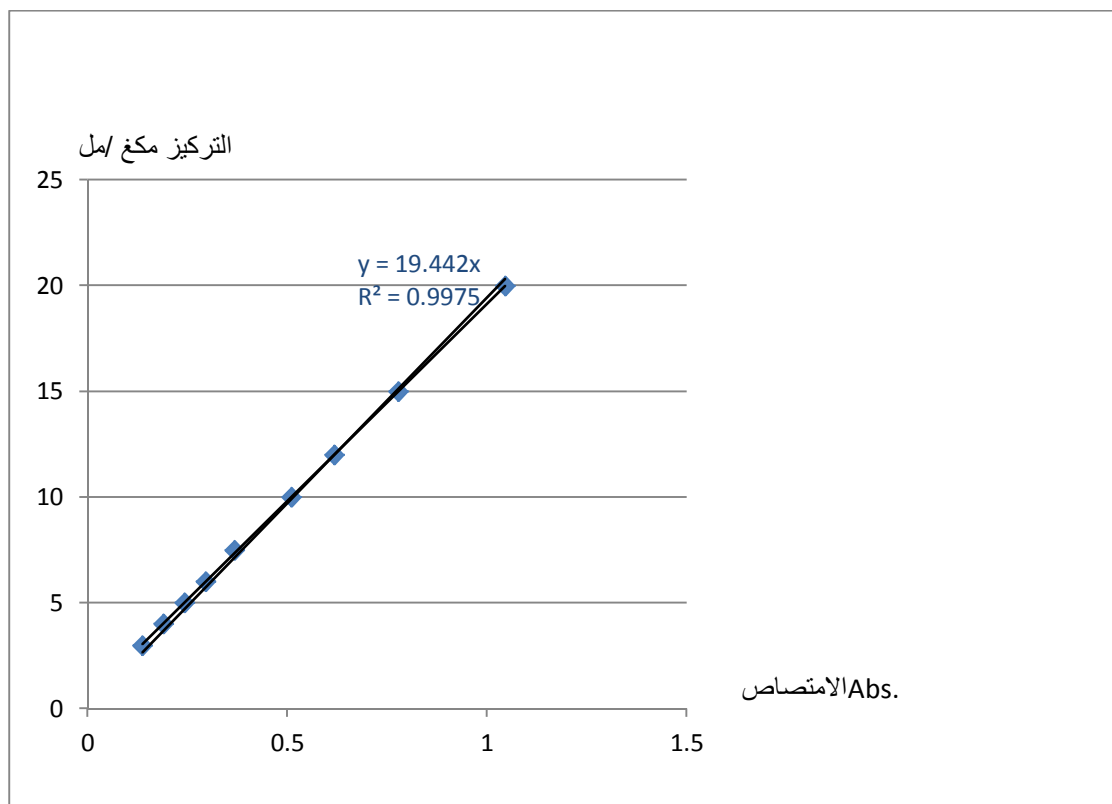
١-٧-٢- المنحني العياري للنيساتين :

يؤخذ ١٠ ملغ من النيساتين ويحل ب ١ مل من N N Dimelhyformamid، ويكمل الحجم إلى ١٠٠ مل في بالون معاير بالماء المقطر، ثم يؤخذ ٣ مل من المحلول السابق وتمدد بالماء المقطر إلى

للحصول على تراكيز تتراوح بين ٣-٢٠ ميكروغرام/مل، ومن ثم يقاس الامتصاص بجهاز السيكتروفوتومتر (المطياف الضوئي) بالأشعة فوق البنفسجية بطول موجة ٣٠٦ نانومتر بعد ذلك تم رسم التراكيز (مكغ/مل) مقابل الامتصاص كما في الشكل (٢) بالاعتماد على القيم الواردة في الجدول (١) :

الجدول (١) : متوسط قيم الامتصاص المقابلة للتراكيز المختلفة من النسبتين:

الامتصاص	1.045	0.778	0.617	0.510	0.367	0.296	0.243	0.189	0.136
التركيز مكغ/مل	٢٠	١٥	١٢	١٠	٥,٧	٦	٥	٤	٣



الشكل (٢) : السلسلة العيارية للنسبتين

٢- كيتونازول

٢-١- الوصف:

مضاد فطري اصطناعي على شكل مسحوق أبيض، عديم الرائحة، ينحل في الأحماض، صيغته الكيميائية



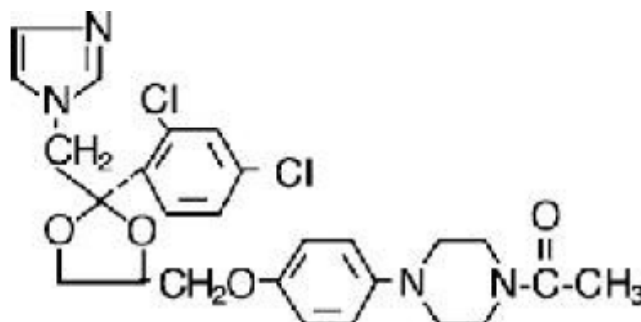
الوزن الجزيئي: ٥٣١,٤٣١ غ/مول

الارتباط البروتيني: ٨٤-٩٩%

الاستقلاب: كبدي.

الإطراح: صفراوي، كلوي.

Chemical structure -٢-٢



الشكل (٣) : الصيغة البنوية للكيوتوكونازول

٣-٢-٣ آلية التأثير Pharmacodynamics

الكيوتوكونازول مضاد فطري ايميدازولي ، يتدخل بتركيب الارغوسترول المشكل للأغشية الخلوية الفطرية، فهو يثبط إنزيم السيتوكروم B450 ألفا دي أميلاز. هذا الإنزيم يشارك في التركيب الحيوي للسترول الذي يؤدي إلى الانوسترول ثم إلى الارغوسترول فالجرعات الأقل من الفلوكونازول والايتركونازول أفضل للقضاء على الفطور، بالمقارنة مع الكيوتوكونازول بسبب ميلها الأفضل للغشاء الخلوي الفطري. يعمل الكيوتوكونازول كمضاد اندروجيني، كونه معاكس لمستقبل الاندروجين، فهو يتنافس مع الاندروجينات مثل التوسترون ودي هيدروتوسترون للارتباط على المستقبل الاندروجيني، كما أنه ينقص مستويات الاندروجين الجهازية، لذلك يستعمل لعلاج سرطان البروستات المعتمد على الاندروجين.

٣-٢-٤ الحركة الدوائية Pharmacokinetics

يختلف امتصاص الكيوتوكونازول من القناة المعدية المعوية، ويزداد مع تناقص pH المعدة لذلك يوصى بإعطائه مع الطعام لزيادة الامتصاص، وناقص الاضطرابات المرافقة.

تحدث ذروة تراكيزه البلازمية (التركيز الوسطي حوالي ٣,٥ مكغ/مل) بعد ساعتين من التطبيق لـ ٢٠٠ ملغ عن طريق الفم، حيث أن أكثر من ٩٠% منه يرتبط مع بروتينات البلازما، ولكنه ضعيف في اختراقه للسانل الدماغى الشوكى.

إنطراح الكيتوكونازول ثنائى الطور، مع عمر نصفى ساعتين، والعمر النصفى النهائى حوالى ٨ ساعات.

٢-٥- الاستعمالات، التطبيق والجرعة Dose, uses and administrations

هو مضاد فطري ايميدازولى كما ذكر سابقاً، يطبق موضعياً أو عبر الفم، حيث يعطى فموياً في داء المبيضات المخاطي الجلدي المزمن، الانتانات الفطرية المعدية المعوية والانتانات الفطرية للجلد والأظافر. كما ويعطى عن طريق الفم في علاج داء الفطور البرعمية الجهازية Systemic-blastomycosis، داء المبيضات candidiasis، داء المستخفيات cryptococcosis، داء النوسجات histoplasmosis ويجرّب أيضاً في داء اللايشمانيا الحشوي Visceral leishmaniasis، ويعطى للوقاية من الانتانات الفطرية عند المضعفين مناعياً، وفي جميع الأحوال هناك توصيات حول إعطاؤه بسبب امتصاصه الشاذ والاستجابة العلاجية البطيئة وبسبب خطر الإنسمام الكبدى فاستعماله يكون محدود في الانتانات الفطرية الجهازية، وعادة يعطى للأشخاص الذين لم يستجيبوا للعلاج بالغريرزوفولفين .

١- يعطى بجرعة ٢٠٠ ملغ/مرة واحدة يومياً، تؤخذ مع الطعام للعلاج والوقاية ويمكن أن تصل إلى ٤٠٠ ملغ/اليوم.

٢- يعطى ٤٠٠ ملغ/يومياً لمدة خمسة أيام لعلاج داء المبيضات المهبلية المزمن.

٣- الأطفال: ٣ ملغ/كغ من وزن الجسم يومياً أو ٥٠ ملغ لعمر ١-٤ سنوات و ١٠٠ ملغ للأطفال من ٥-١٢ سنة، ويستمر العلاج اعتيادياً أسبوع على الأقل بعد زوال الأعراض وبعد أن تغدو الزروع المخبرية سلبية.

٤- يطبق الكيتوكونازول موضعياً على شكل كريم ٢% في علاج الفطور الجلدية أو مبيضات الجلد وعلاج النخالة المبرقشة، ويطبق مرة أو مرتان باليوم ويستمر على الأقل عدة أيام بعد زوال الأعراض.

٥- يطبق الشامبو الحاوي على ٢% كيتوكونازول مرتان أسبوعياً، لمدة ٢-٤ أسابيع في علاج التهاب الجلد الدهني، وقشرة الرأس مرة يومياً، ولمدة ٥ أيام للنخالية المبرقشة.

٦- في تناذر الكرب التنفسي الحاد: يعد الكيتوكونازول واحد من عدة عوامل تنقص من تطور ARDS عند مرضى خمج الدم.

٧- تناذر كوشينغ: توجد تقارير قليلة لمرضى استجابوا للكيتوكونازول بجرعات ٦٠٠-١٢٠٠ ملغ/اليوم أدى إلى تراجع سرطان الكظر لأن له تأثير مضاد للأندروجين.

٨- داء اللاشمانيا: سجل معدل شفاء بنسبة ٧٠% بجرعة ٢٠٠-٤٠٠ ملغ فمويًا يوميًا لمدة ٤-٦ أسابيع، حيث أن ٦٠٠ ملغ/ باليوم من الكيتوكونازول أعطى نتائج مشابهة لستيوغلوكانات الصوديوم الفصلي المعطى لـ ٢٠ يوم لمرضى داء اللاشمانيا الجلدي.

٢-٦- التأثيرات الجانبية Adverse effects:

تشمل تفاعلات فرط الحساسية الطفح - الصداع - الدوار - النعاس، بالإضافة إلى الاضطرابات المعوية المعدية من غثيان - اقياء، ولوحظ عند ٣- ١٠% من المرضى إسهال/ إمساك وألم بطني عند ١% منهم وهذا مرتبط بالجرعة المعطاة ويمكن تقليل هذه التأثيرات بإعطائه مع الطعام كما ذكرنا سابقاً. ويمكن أن يؤدي التطبيق الموضعي للكيتوكونازول إلى حرق أو التهاب أو تخريش في الجلد.

٢-٧- التداخلات الدوائية Drug Interaction

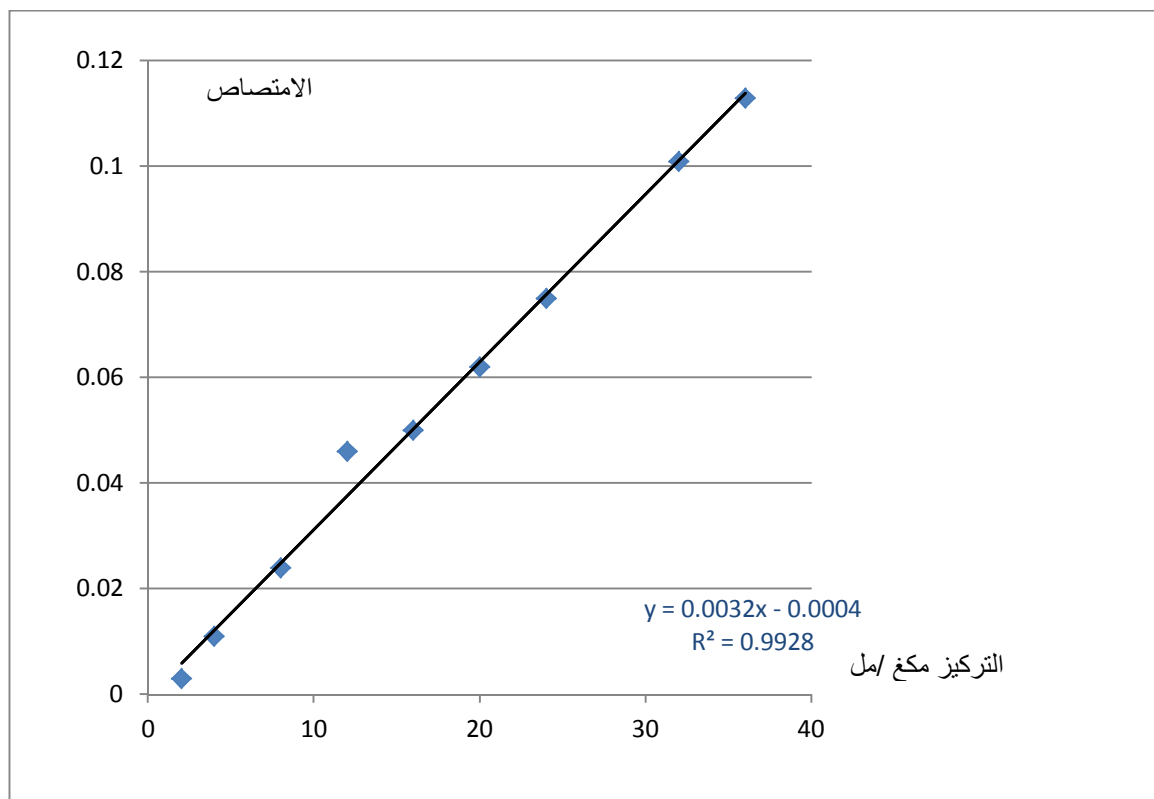
- ١- يجب إجراء اختبارات لوظائف الكبد منذ بدء العلاج الطويل الأمد، على الأقل شهرياً خلال العلاج لأنه قد يؤدي إلى انسداد كبدي.
- ٢- التطبيق المصاحب للأدوية التي تعمل على إنقاص حموضة المعدة مثل مضادات المוסكارين، مضادات الحموضة، الفينيتوين، الايزونيازيد، الريفامبين، جميعها تؤدي إلى نقص تركيز الكيتوكونازول لأنها تؤدي إلى حث إنزيمات الكبد.

٢-٨- المعايرة Assay

يوزن ١٠٠ ملغ من الكيتوكونازول، وتحل في الميثانول في بالون معاير سعة ١٠٠ مل، ثم بعد تمام الانحلال يؤخذ منه ١٠ مل إلى بالون معاير ١٠٠ مل ويكمل حتى الخط العياري بالميثانول ثم يعمل السلسلة التالية $\frac{3}{100}, \frac{3}{75}, \frac{3}{60}, \frac{3}{50}, \frac{3}{40}, \frac{3}{30}, \frac{3}{25}, \frac{3}{20}, \frac{3}{15}$ وتم قياس الامتصاص لهذه المحاليل بواسطة جهاز المطياف الضوئي بالأشعة فوق البنفسجية عند طول موجة ٢٧٠ نانومتر ، بعد ذلك تم رسم التراكيز (مكغ/مل) مقابل الامتصاص كما في الشكل (٤) بالاعتماد على القيم الواردة في الجدول (٢) :

الجدول (٢) :متوسط قيم الامتصاص المقابلة للتراكيز المختلفة من الكيتوكونازول:

الامتصاص	0.003	0.011	0.024	0.046	0.050	0.062	0.075	0.101	0.113	/
التركيز مكغ/مل	٢	٤	٨	١٢	١٦	٢٠	٢٤	٣٢	٣٦	٤٠



الشكل (٤) : السلسلة العيارية للكيٲوكونازول.

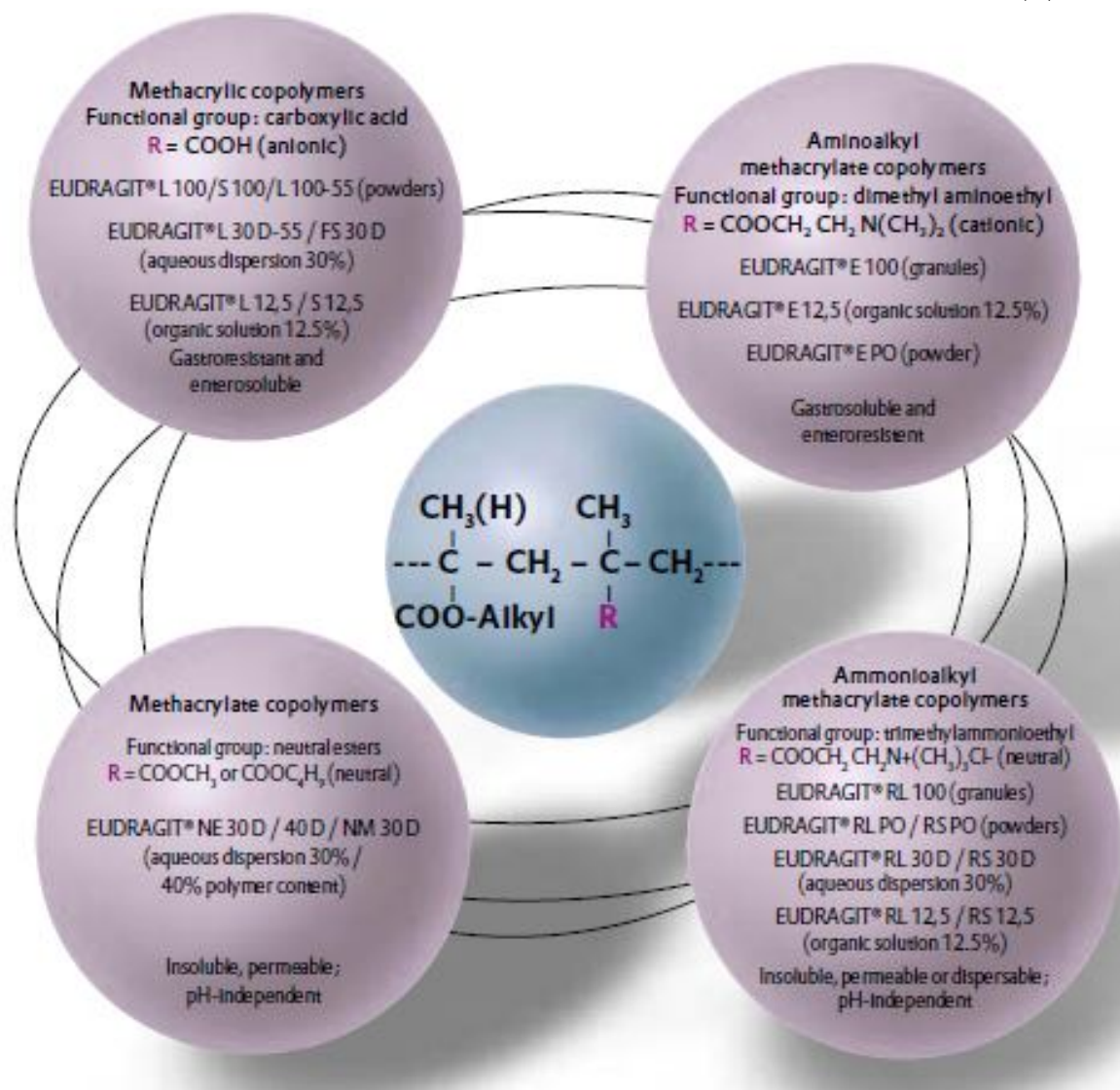
٣-ايدراجيت Eudragit

هي ٲائم بوليميرية مشتقة من استرات الاكرليك وحمض الميٲاكريك والذي ٲٲحدد خصائصه الفيزيوكيميائية بالزمر الوظيفية R، وهي بلمرات متوفرة لحد كبير بأشكال فيزيائية مختلفة (مساحيق، مبعثرات مائية، محثر مع مذيبات عضوية) ومنها:

١- عديد ميٲاكريلات منحل في السوائل الهضمية بشكل ايدراجيت ملحي S L، FS، E، مع زمر حمضية أو قلوية ويكون التحرر معتمد على الـ pH ويستعمل لستر الطعم، والمقاومة المعدية التي تؤمن التحرر المضبوط للدواء في كل أقسام الأمعاء.

٢- عديد ميٲاكريلات غير منحل لكنه نفوذ في السوائل الهضمية بشكل بلمرات الايدراجيت RL و RS مع القلوي وبلمرات الايدراجيت NE مع الزمر الحياضية التي تؤدي إلى التحرر المضبوط بالزمن للمكون

الفعال عن طريق الانتباج المستقل عن pH، وتطبيقاته في تحرر الدواء المستمر والمتأخر كما في الشكل (٥):



الشكل (٥): التطبيقات المختلفة لاليدراجيت (109)

تطبيقات الاليدراجيت:

١- تحرر الدواء المعتمد على ال pH.

- ٢- حماية المواد الفعالة الحساسة للسائل المعدي.
- ٣- زيادة فعالية الدواء والثبات والتخزين الجيد.
- ٤- وقاية مخاطية المعدة من المواد الفعالة المؤذية.
- ٥- استهداف القناة الهضمية والقولون.

٤- هيدروكسي بروبيل ميثيل سلولوز HPMC

مسحوق أبيض أو أبيض مبعثر، عديم الطعم والرائحة قليل الشراهة للماء ذواب في الماء البارد والأغوال وبعض المذيبات العضوية وحلوليته بالماء لا تتأثر بالـ pH، يستعمل في الصناعة لزيادة السماكة، احتباس الماء، تشكيل فيلم لأن قوة التبعثر والادمصاص جيدة، ولعزل نواة التلبيس السكري، فهو مفتاح لتصميم العديد من أجهزة التحرر المضبوط خصوصاً القوالب المحبة للماء، وخاصة في الأشكال العينة (Jeantal). يوجد في التجارة بلزوجات وأوزان ذرية مختلفة وبأسماء متعددة , Methocel HG 50 Cp, Methofas HPM , pharmaccoat 603 ,

٥- عديد ايثلين إمين Polyethyleneimin PEI

هو بلمر ذو شحنة سلبية يتفاعل مع الشرجبيات بشكل معقد يؤدي إلى إطالة زمن تأثير المادة الفعالة أو تأخير تحرر المكون الفعالة، محاليله المائية قلوية وله وزن جزيئي مرتفع ٤٠٠٠٠-٦٠٠٠٠ دالتون.

٦- دائرة الفتالات pH=2.4

تحضر حسب دستور الأدوية الأمريكي USP30 بإضافة ٥٠ مل من بي فتالات البوتاسيوم إلى بالون معايير سخته ٢٠٠ مل، ثم نضيف مقدار معين من محلول حمض كلور الماء ٠,٢ ن حوالي ٣٥,٤ - ٤٢,٢ ونكمل حتى ٢٠٠ مل بالماء المقطر.

أما محلول بي فتالات البوتاسيوم فيحضر بإضافة ٤٠,٨٥ غ من بي فتالات البوتاسيوم $[H-H . C_6H_4 . (CO O)_2]$ إلى بالون معايير سخته ١٠٠٠ مل ويكمل الحجم بالماء المقطر.

٧- دائرة الأسيتات pH=4.2

حسب دستور الأدوية الأمريكي USP30 نضيف مقدار محدد من أسيتات الصوديوم $NaC_2H_3 O_2 \cdot 3H_2O$ إلى بالون معايير سخته ١٠٠٠ مل ثم نضيف مقدار محدد من محلول حمض الأسيتيك ونكمل الحجم بالماء المقطر ونحتاج للإضافة ١,٩٩ غ من $NaC_2H_3 O_2 \cdot 3H_2O + ١٧,٧$ مل من حمض الخل ٢ ن.

٨- دائرة الفسفات pH=6.8

حسب دستور الأدوية الأمريكي USP30 نضيف ٥٠ مل من محلول فسفات البوتاسيوم وحيدة الأساس إلى اللون معايير سعته ٢٠٠ مل ثم نضيف مقدار محدد من محلول هيدروكسيد الصوديوم ثم نكمل الحجم بالماء المقطر.

يجب إضافة ٢٢,٤ مل من محلول هيدروكسيد الصوديوم ٠,٢ مول أما محلول فسفات البوتاسيوم وحيدة الأساس فيحضر بإضافة ٢٧,٢٢ غ من KH_2PO_4 إلى اللون سعته ١٠٠٠ مل ويكمل الحجم بالماء المقطر.

٩- الوسط الشبيه بالمعدي أو المعوي

حسب دستور الأدوية الأمريكي USP30 نضع ٢ غ من NaCl مع ٣,٢ غ من البيسين في ٧ مل من حمض كلور الماء في اللون معايير سعته ١٠٠٠ مل، ونكمل بالماء المقطر فنحصل على محلول ١,٢ = pH.

-الأجهزة Equipment

- ١- استخدم جهاز لتحضير كريات البكتينيات وفق نموذج علبة البيض لشركة BROMMAL – LKB .
- ٢- جهاز فحص الذوبان Dissolution tester لشركة TDT . 08 . l Eletro LAB .
- ٣- جهاز قياس أبعاد الكريات بياكوليس ديجيتال Digital – Caliper – Electronic لشركة L. EZACO .
- ٤- ميزان حساس لشركة Sartorius .
- ٥- جهاز لقياس قطر الهالة في المزارع الفطرية (Antibiotic – zone reader) لشركة Airpec-exports-India .
- ٦- فرن تجفيف حراري لشركة Memert .
- ٧- الصاد الموصل لتعقيم الأوساط الزراعية من شركة Systec .
- ٨- مقياس الطيف بالأشعة فوق البنفسجية UV-spectro لشركة

- الطرق Methods

أولاً: تحضير كريات بكتينات الكالسيوم: لتحضير كريات بكتينات الكالسيوم وفق نموذج علبة البيض وبعد عدة تجارب أجريت على أنواع متعددة من البكتين، تم اعتماد البكتين الأميدي لأنه الأفضل في إعطاء كريات منتظمة الشكل واعتمدت هذه الدراسات على استخدام نسبة البكتين ٥% (وزن/حجم) ولتحضير هذه الكريات نتبع المراحل التالية:

المرحلة الأولى: تحضير كريات البكتين، بمزج البكتين مع الماء بوزن ١,٢٥ غ من البكتين ويترك مع ٢٥ مل من الماء للانتباج فترة ١٢ - ٤ ساعة، ثم في اليوم التالي يُقطر عبر مضخة من خلال محقنة قطرها (12) ملم) وقد تم استخدام العديد من المحاقن وذلك للوصول إلى كريات مقبولة من حيث الوزن والأبعاد) إلى ١٠٠ مل من محلول كلوريد الكالسيوم بتركيز مختلفة بين ٤% و ٦% و ٨% لتحديد نسبة الكلوريد الفضلي المستخدمة، وهذا المحلول يوضع على محرك مغناطيسي بسرعة دوران ٤٠ دورة / دقيقة وبعد تشكل الكريات تترك بتماس كلوريد الكالسيوم فترة ١٥ دقيقة بالدوران السابق ثم ترشح وتغسل الكريات عدة مرات بالماء المقطر ثم توضع في حمام درجة حرارته ٣٧°م مدة ١٢ - ٢٤ ساعة حتى الوزن الثابت والذي تبين بالتجربة بين ١٨-٢٤ ساعة فنحصل على الصيغ F₁, F₂, F₃ ثم تحفظ هذه الكريات في أنابيب زجاجية مغلقة في درجة حرارة المخبر.

المرحلة الثانية: نفس الخطوات السابقة ولكن بمزج البكتين مع النيساتين وتقطيره على محاليل الكلوريد ٤% و ٦% و ٨% فنحصل على الصيغ F₄, F₅, F₆ ثم مزج البكتين مع الكيتوكونازول وتقطيره على محاليل الكلوريد السابقة فنحصل على الصيغ F₇, F₈, F₉.

المرحلة الثالثة: استخدام البلمرات: نفس الخطوات السابقة ولكن بمزج البكتين مع الايدراجيت RL و RS و HPMC مع كل من النيساتين ثم مع الكيتوكونازول، أما استخدام البولي إيثيلين إمين فقد أدى إلى عدم التجانس والتحوصب لذلك تم استخدامه بنسبة ١% و ٠,٥%، وذلك بعد تشكيل الكريات، توضع وهي رطبة في المحلول PEI وبالنسب المذكورة، مدة ساعة على محرك مغناطيسي ثم ترشح وتغسل بالماء المقطر وتوضع في المحم ١٨-٢٤ ساعة ثم تحفظ كما في السابق. ويبين الجدول (٣) : جميع الصيغ التي تم تحضيرها

الجدول (٣) : الصيغ التي تم تحضيرها من أمزجة البكتين والنيساتين ، وأمزجة البكتين والكيتوكونازول مع البلمرات المختلفة .

الصيغ	بكتين	كلوريد الكالسيوم	نيستاتين	كيتوكونازول	ايدراجيت RL	ايدراجيت RS	HPMC	PEI
F ₁	١,٢٥ غ	%٤						
F ₂	١,٢٥ غ	%٦						
F ₃	١,٢٥ غ	%٨						
F ₄	١,٢٥ غ	%٤	١٠ ملغ					
F ₅	١,٢٥ غ	%٦	١٠ ملغ					
F ₆	١,٢٥ غ	%٨	١٠ ملغ					
F ₇	١,٢٥ غ	%٤	-	١٠ ملغ				
F ₈	١,٢٥ غ	%٦	-	١٠ ملغ				
F ₉	١,٢٥ غ	%٨	-	١٠ ملغ				
F ₁₀	١,٢٥ غ	%٦	١٠ ملغ	-	١٠٠ ملغ			
F ₁₁	١,٢٥ غ	%٦	١٠ ملغ	-	-	١٠٠ ملغ		
F ₁₂	١,٢٥ غ	%٦	١٠ ملغ	-	٥٠ ملغ	٥٠ ملغ		
F ₁₃	١,٢٥ غ	%٦	١٠ ملغ	-	-	-	%0.02	-

	%0.01	-	-	-	١٠ ملغ	%٦	١,٢٥ غ	F ₁₄
%١	-	-	-	-	١٠ ملغ	%٦		F ₁₅
%٠,٥								F ₁₆
-	-	-	١٠٠ ملغ	١٠ ملغ	-	%٦	١,٢٥ غ	F ₁₈
-	-	١٠٠ ملغ	-	١٠ ملغ	-	%٦	١,٢٥ غ	F ₁₉
-	-	٥٠ ملغ	٥٠ ملغ	١٠ ملغ	-	%٦	١,٢٥ غ	F ₂₀
-	%0.02	-	-	١٠ ملغ	-	%٦	١,٢٥ غ	F ₂₁
-	%0.01	-	-	١٠ ملغ	-	%٦	١,٢٥ غ	F ₂₂
%١	-	-	-	١٠ ملغ	-	%٦	١,٢٥ غ	F ₂₃
%٠,٥	-	-	-	١٠ ملغ	-	%٦	١,٢٥ غ	F ₂₄

الصيغة F17: تم تحضير 0.05% من HPMC فحصلنا على كريات ذات مذيلات لذلك لم يتم اعتمادها ولم تذكر في الجدول كما هو واضح في الشكل (٦) :



الشكل (٦) : الصيغة ١٧ : تشكل المذيلات على الكريات عند استخدام النسبة 0.05 % من HPMC ثالثاً : الفحوص المطبقة على صيغ الكريات المحضرة:

٣-١- فحص تجانس الوزن:

تم أخذ عشرين كرية من كل صيغة ووزنها على ميزان حساس. وتم مراقبة وزن هذه الكريات بفواصل زمنية مختلفة بعد وضعها بدرجة حرارة ٣٧°م وحصلنا على الوزن الثابت بعد ٢٤ ساعة من التجفيف. (وذلك بعد إجراء عدة تجارب على كل صيغة لم نحصل على الوزن الجاف الثابت تماماً إلا بعد وضعها لمدة ٢٤ ساعة في المحم).

٣-٢- فحص تجانس أبعاد الكريات:

لفحص تجانس أبعاد الكريات تم أخذ مجموعتين من كل صيغة وكل مجموعة تتألف من عشرة كريات وأخذ المتوسط الحسابي، وذلك بعد تجفيفها حتى الوزن الثابت (٢٤ ساعة) و تم قياس الأبعاد على جهاز بياكوليس ديجيتال.

٣-٣- دراسة ثبات الكريات:

أعيدت الدراسات السابقة لنفس الكريات بعد مرور ٦ أشهر ثم بعد مرور ٩ أشهر وكانت النتائج متطابقة تماماً (تجانس الأبعاد وتجانس الأوزان وتجانس المحتوى) مع تبدل اللون قليلاً بالنسبة إلى كريات النيستاتين، لذلك تم الاحتفاظ بها فيما بعد بأنابيب عاتمة، في حين لم يطرأ أي تبدل في لون كريات الكيتوكونازول وكانت النتائج أيضاً متطابقة حتى بعد مرور الفترة الزمنية المذكورة (٩ أشهر).

٣-٤- دراسة إطلاق المضاد الفطري من كريات بكتينات الكالسيوم:

أ- إطلاق النستاتين:

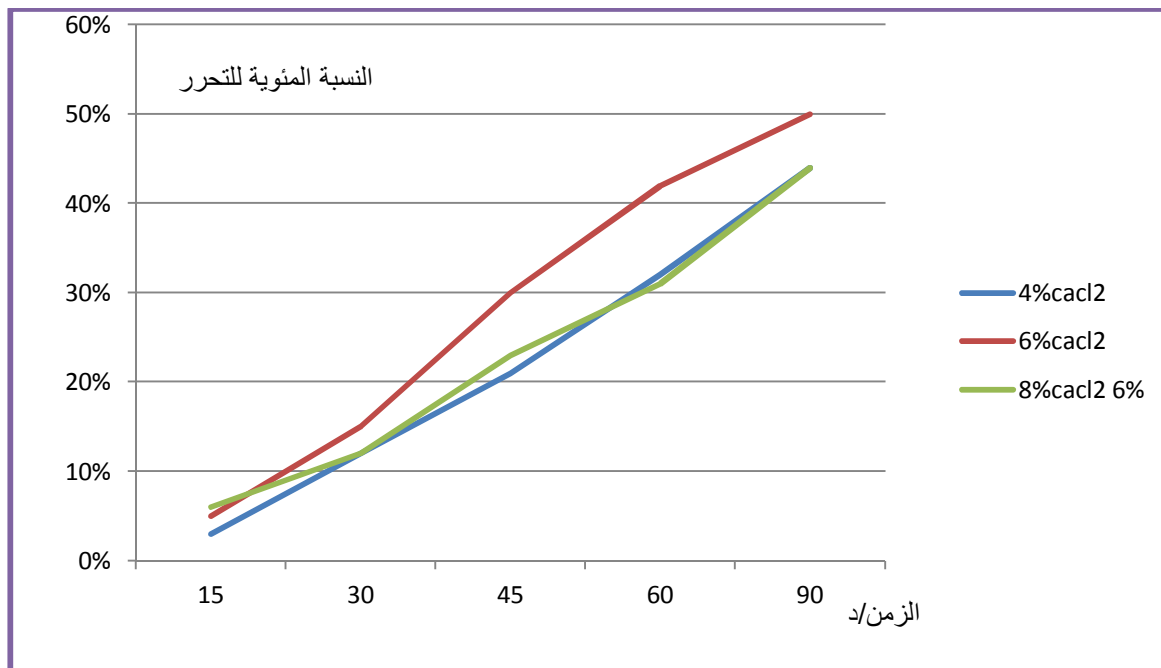
تمت دراسة إطلاق النيستاتين من الكريات غير المشبكة والأقراص الجاهزة (لشركة آسيا) والأقراص العيارية حسب دستور الأدوية الأمريكية USP30 في جهاز فحص الذوبان Dissolution كما يلي:

- ١- الجهاز رقم Paddle II
 - ٢- الوسط : ماء مقطر يحوي ٠,١ % SLS
 - ٣- حجم الوسط ٩٠٠ مل
 - ٤- سرعة الدوران ٧٥ r.p.m
 - ٥- الزمن: ١٥، ٣٠، ٤٥، ٦٠، ٩٠ دقيقة حيث تمت قراءة امتصاص العينات بعد ترشيحها على مرشح (٠,٤٥) ميكرومتر وقراءتها بواسطة جهاز السبكروفتومتر بطول موجة ٣٠٦ نانومتر.
- ولدراسة الإطلاق تم تعديل الصيغ بحيث تحوي ١ غ نيستاتين + ٢,٥ غ بكتين + ٥٠ مل ماء مقطر ← تحوي الكرية ١,٠٧ ملغ نيستاتين، لذلك يتم وضع كريات تحوي على ٦٥٠ ملغ من النستاتين والتي تعادل ٥٠٣,٠٠٠ وحدة من النيستاتين، كما يوضع في أحد الأحواض مضغوطة نيستاتين لشركة آسيا تحوي ٥٠٠,٠٠٠ وحدة ثم يوضع في حوض آخر ٢٠٠ قرص عياري يحوي ٤٦٠٠ مكغ بتركيز ٥,١١ مكغ/مل ويبيّن الجدول (٤) والشكل (٧) و(٨) النسب المئوية لتحرر النستاتين من الكريات غير المشبكة والتي تحوي تراكيز مختلفة من CaCl_2 والأقراص الجاهزة والأقراص العيارية.

الجدول (٤): النسبة المئوية لتحرر النيستاتين من كريات البكتينات غير المشبكة والتي تحوي تراكيز مختلفة من CaCl_2 والأقراص الجاهزة والأقراص العيارية بدلالة الزمن.

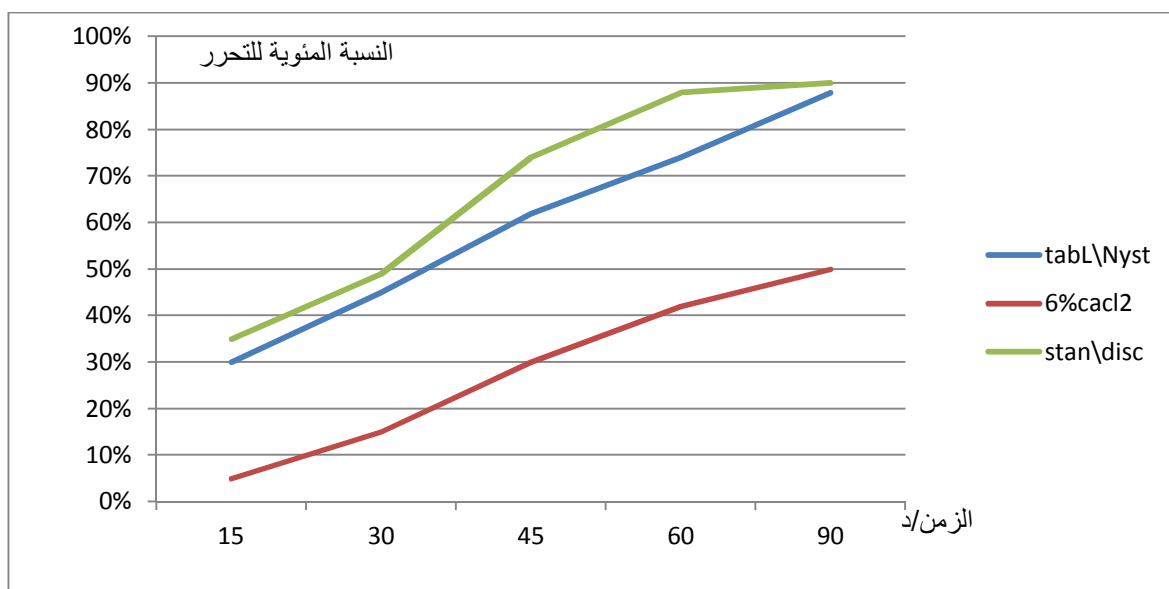
الزمن/دقيقة	F_4	F_5	F_6	مضغوطة نيستاتين	الأقراص العيارية
15	3%	5%	6%	30%	35%
30	12%	15%	12%	45%	49%
45	21%	30%	23%	62%	74%

88%	74%	31%	42%	32%	60
90%	88%	44%	50%	44%	90



الشكل (٧) : النسبة المئوية لتححرر النستاتين من الكريات غير المشبكة باستخدام تراكيز مختلفة من كلوريد الكالسيوم بدلالة الزمن.

من الجدول نجد أن هناك فارق احصائي معتد به بين نسبة ٦% من كلوريد الكالسيوم وبين باقي النسب في اطلاق النستاتين في حين لم يكن هناك أي فارق احصائي بين النسب ٤% و ٨% (وبمراجعة الأبحاث-77) (99) التي استعملت فيها تراكيز مختلفة من كلوريد الكالسيوم والفحوص الأخرى التي طبقت فيما بعد على هذه الكريات (تجانس الوزن ، تجانس الأبعاد ، تجانس المحتوى) والتي سنأتي على ذكر نتائجها لاحقاً ، نلاحظ أن استخدام نسبة ٦% قد اعطت أفضل النتائج حتى في تشكيل كريات البكتين لذلك اعتمدت فيما بعد.



الشكل (٨): النسبة المئوية لتحرر النستاتين من الكريات غير المشبكة والأقراص الجاهزة والأقراص العيارية بدلالة الزمن .

من الشكل (٨) نلاحظ التحرر السريع للنستاتين من الأقراص الجاهزة والأقراص العيارية التي تطبق على المزارع الفطرية في حين كان تحرر النستاتين مطوّل مع كريات البكتين حتى قبل التشبيك.

ب- إطلاق الكيتوكونازول:

تمت دراسة إطلاق الكيتوكونازول من الكريات غير المشبكة والأقراص الجاهزة لشركة البلسم والأقراص العيارية حسب دستور الأدوية الأمريكي USP30 في جهاز فحص الذوبان كما يلي :

١- الجهاز basket I

٢- الوسط : حمض كلور الماء 0.1N simula gastric fluid w/o pepsim

٣- حجم الوسط : ٨٠٠ مل

٤- سرعة الدوران : ١٠٠ rpm

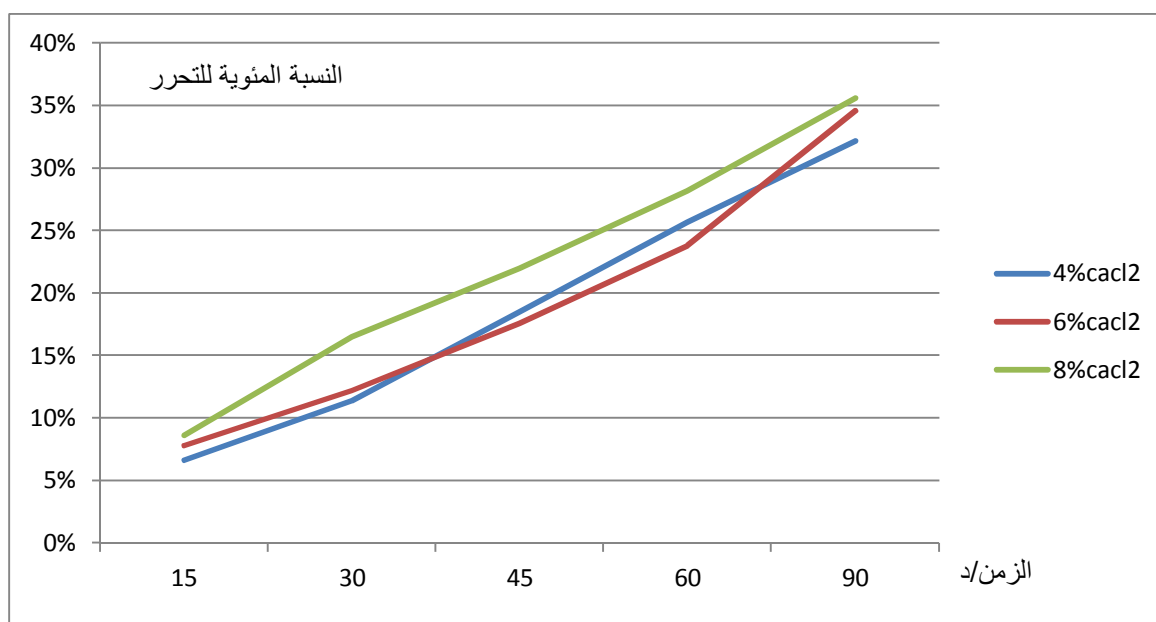
٥- الزمن : بعد 15, 30, 45, 60, 90 دقيقة حيث يتم قياس العينات بعد ترشيحها على مرشح ميكرومترية (٠,٤٥) وقراءتها بواسطة جهاز السبكروفتومتر بموجة طولها ٢٧٠ نانومتر، ولدراسة تحرر الكيتوكونازول تم تعديل الصيغ بحيث تحوي ١ غ من الكيتوكونازول + ٢,٥ غ بكتين و ٥٠ مل ماء مقطر فأصبح لدينا ٦٢٠ ملغ من الكريات تحوي ١٠٠ ملغ كيتوكونازول .

تم وضع الصيغ الحاوية على نسب مختلفة من كلوريد الكالسيوم ووضع في أحد الأحواض ١/٢ مضغوطة من الكيتوكونازول من شركة البلسم للأدوية ووضع في حوض آخر ٢٠٠ قرص عياري واستخدم في هذا

الحوض (مجداف) ويبيّن الجدول (٥) والشكل (٩) و (١٠) النسب المئوية لتحرر الكيتوكونازول من الكريات غير المشبكة والتي تحوي تراكيز مختلفة من CaCl_2 .

الجدول (٥): النسبة المئوية لتحرر الكيتوكونازول من الكريات غير المشبكة والتي تحوي تراكيز مختلفة من CaCl_2 والأقراص الجاهزة والأقراص العيارية بدلالة الزمن.

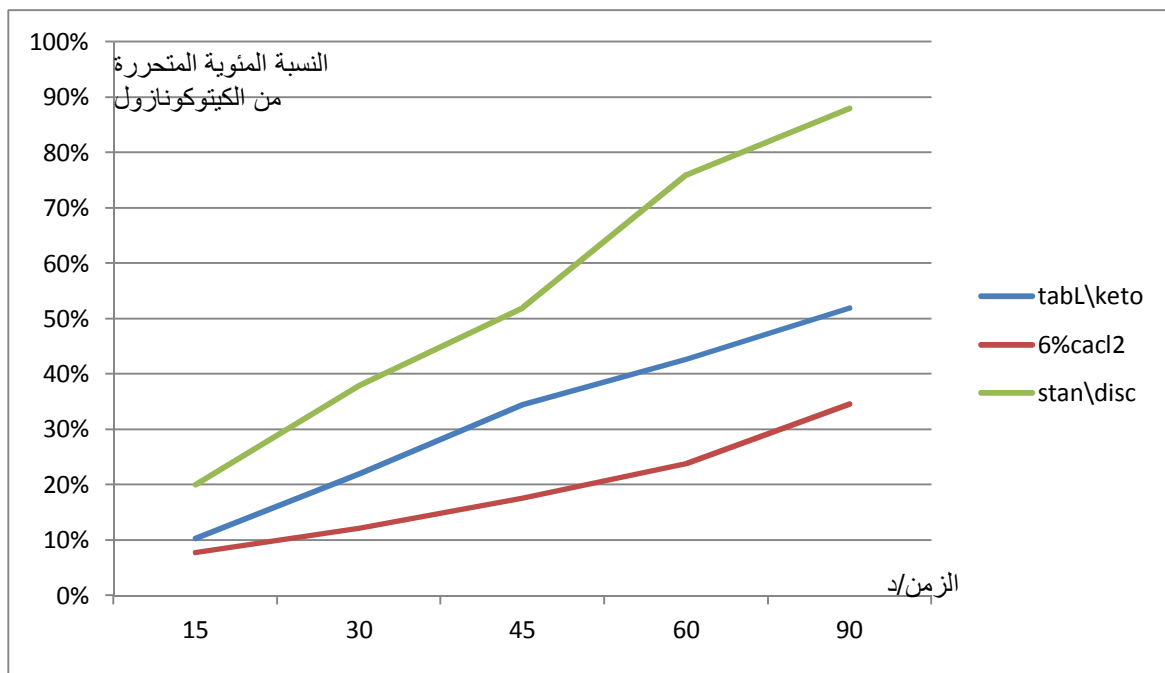
الزمن/ دقيقة	F_7	F_8	F_9	١/٢ مضغوة كيتوكونازول	أقراص عيارية
15	6.6%	7.8%	8.6%	10.3%	20%
30	11.4%	12.2%	16.5%	22%	38%
45	18.5%	17.6%	22%	34.5%	52%
60	25.7%	23.8%	28.2%	42.7%	76%
90	32.2%	34.6%	35.6%	51.9%	88%



الشكل (٩) : النسبة المئوية لتحرر الكيتوكونازول من الكريات غير المشبكة باستخدام تراكيز مختلفة من كلوريد الكالسيوم بدلالة الزمن.

من الشكل نجد أنه لا يوجد فارق معتد به احصائياً بين النسبة ٤% من كلوريد الكالسيوم والنسبة ٦% وذلك عند جميع النقاط الزمنية في إطلاق الكيتوكونازول من كريات البكتين ، في حين كان الفارق الاحصائي كبير بين النسبة ٨% وبين النسبتين السابقتين ، وباعتماد على الفحوص الأخرى التي سندكرها لاحقاً

والدراسة التي أجريت حول علاقة تركيز كلوريد الكالسيوم في تشكيل كريات البكتين نلاحظ أن النسبة ٦ % قد أعطت أفضل النتائج في جميع الفحوص التي أنجزت.



الشكل (١٠): النسبة المئوية لتحرر الكيتوكونازول من الكريات غير المشبكة والأقراص الجاهزة والأقراص العيارية بدلالة الزمن .

من الشكل (١٠) نجد أن تحرر الكيتوكونازول من الصيغ الجاهزة والأقراص كان أسرع من كريات البكتين وهذا يدل على قدرة البكتين على الاحتفاظ بالمادة الدوائية حتى قبل التشبيك.

٣-٥ فحص تجانس المحتوى :

تم أخذ ثلاثة مجموعات من كل صيغة وكل مجموعة تحوي عشرة كريات ثم أخذ المتوسط الحسابي للمجموعات الثلاثة بعد إجراء فحص تجانس المحتوى كما سيذكر لاحقاً مع النتائج.

رابعاً: النتائج Results:

٣-١-٣ فحص تجانس وزن الكريات المحضرة وفق الصيغ المذكورة في الجدول (٦) :

يبين الجدول (٦) تأثير تغيير نسبة كلوريد الكالسيوم المستخدمة في تحضير كريات بكتينات الكالسيوم على تجانس الوزن وذلك بعد وزن ستة مجموعات من كل صيغة وكل مجموعة تحوي على عشرين كرية ثم أخذ

المتوسط الحسابي لكل مجموعة وبعد ذلك المتوسط الحسابي للمجموعات فكان الوزن الوسطي مقدراً بالملغ كما يلي :

الجدول (٦): تأثير تغير نسبة كلوريد الكالسيوم المستخدمة في فحص تجانس وزن (ملغ) كريات البكتين الحاوية على النيستاتين أو الكيتوكونازول .

الصيغ المدروسة	F1	F2	F3	F4	F5	F6	F7	F8	F9
المتوسط الحسابي (ملغ)	2.9	3.22	4.01	3.44	3.9	4.92	3.45	3.84	4.21
الانحراف المعياري	0.016	0.009	0.061	0.057	0.003	0.011	0.089	0.009	0.020

نجد من الجدول (٦) أن إضافة نسبة ٦% من كلوريد الكالسيوم إلى مزيج البكتين قد أعطت أفضل النتائج من حيث تجانس الوزن، لذلك تم اعتماد هذه النسبة من كلوريد الكالسيوم، وتبين أنها الأفضل أيضاً فيما بعد على تجانس أبعاد الكريات وتجانس المحتوى من المادة الفعالة وسابقاً في إطلاق المادة الفعالة.

- وقد درس تأثير بلمرات الايدراجيت بنوعيه RL,RS على تجانس وزن كريات النستاتين والكيتوكونازول بعد استخدام نسبة ٦% للكلوريد، وسُجلت النتائج في الجدول (٧).

الجدول (٧): تأثير بلمرات الايدراجيت في تجانس أوزان (ملغ) كريات البكتين الحاوية على النستاتين والكيتوكونازول .

الصيغ المدروسة	F10	F11	F12	F18	F19	F20
المتوسط الحسابي (ملغ)	4.5	4.06	4.2	4.3	4	4.1
الانحراف المعياري	0.009	0.022	0.005	0.029	0.017	0.005

نجد من الجدول (٧) أن الايدراجيت بنوعيه RL,RS لم يؤثر في تجانس وزن الكريات الحاوية على النيستاتين أو الكيتوكونازول حيث أن الانحراف المعياري كان ضيقاً (صغيراً) وكانت الأوزان متقاربة بوجود مزيج الايدراجيت كما في الصيغ (F20,F12).

-وقد استعمل ال HPMC بالمشاركة مع النستاتين والكيتوكونازول بتركيزين مختلفين في كل صيغة وسُجلت النتائج في الجدول (٨).

الجدول 8: تأثير بلمر هيدروكسي بروبييل ميثيل سلولوز HPMC في تجانس وزن (ملغ) كريات البكتين الحاوية على النيستاتين أو الكيتوكونازول.

الصيغ المدروسة	F13	F14	F21	F22
المتوسط الحسابي (ملغ)	3.2	3.63	3.1	3.5
الانحراف المعياري	0.039	0.021	0.010	0.037

نلاحظ من الجدول (٨) أن الهيدروكسي بروبييل ميثيل سلولوز بتركيز 0.02% مع النستاتين (F13) قد أعطى انحراف معياري أعلى من النسبة 0.01% (F14)، أما مع الكيتوكونازول فكانت النسبة 0.02% من HPMC (F21) أفضل من حيث تجانس الوزن. أما مع البولي إيثيلين أمين فقد سُجلت النتائج في الجدول (٩) كما يلي:

الجدول 9: تأثير بلمر البولي إيثيلين أمين PEI في تجانس وزن (ملغ) كريات البكتين الحاوية على النيستاتين و الكيتوكونازول

الصيغ المدروسة	F15	F16	F23	F24
المتوسط الحسابي (ملغ)	3.2	3.4	2.92	3.24
الانحراف المعياري	0.013	0.032	0.013	0.021

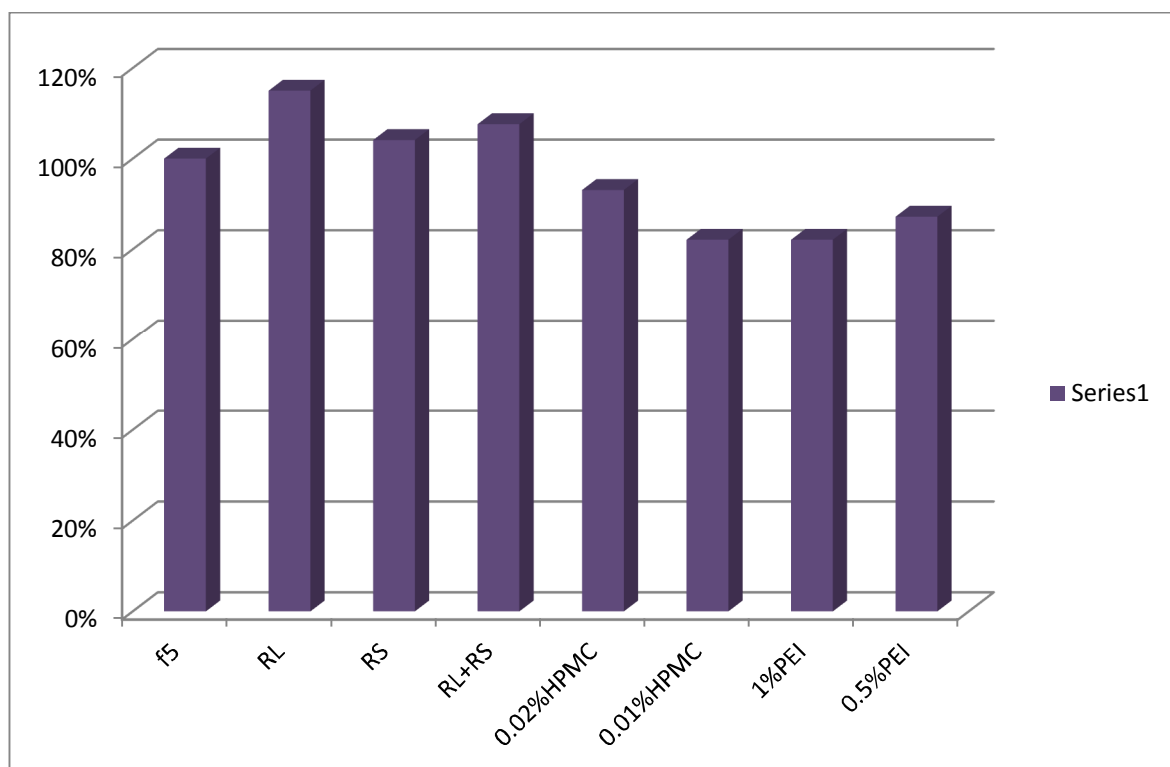
وجد من الدراسة السابقة أن البولي إيثيلين أمين بنسبة 1% (F23)، (F15) قد أعطى تجانس في الوزن متساو تقريباً مع كل من النستاتين والكيتوكونازول ولم يكن هناك فارق احصائياً يعتد به وكذلك كانت النسبة 0.5% مقبولة احصائياً.

وقد بينت الدراسة التي أجريت على الكريات الرطبة أن البلمرات قد أعطت زيادة في وزن الكريات مع الابدراجيت HPMC, RL وهي رطبة، ثم بعد التجفيف كان هناك نقصان في الوزن وهذا يعود إلى قدرة كل من البلمرين السابقين على جذب الماء (قبل التجفيف) وبالتالي فقدان الماء بشكل أكبر بعد التجفيف، أما مع البولي إيثيلين أمين فقد كان وزن الكريات الرطبة قبل التشبيك 21.65 غ ووزنها بعد التشبيك لمدة ساعة 18.34 غ أي هناك خسارة في الوزن بمقدار 3.31 غ وأدى إلى نقصان واضح في وزن الكرية الجافة

وكلما ازدادت نسبة البلمر أدى إلى نقص وزن الكرية بعد التجفيف. أما بالنسبة للايدراجيت بأنواعه المختلفة ونسبه المختلفة فقد أدى إلى زيادة وزن الكرية بعد التجفيف الحاوية على النيستاتين أو الحاوية على الكيتوكونازول، في حين أدى وجود ال HPMC إلى نقص وزن كريات النيستاتين أما مع كريات الكيتوكونازول فقد أدى وجوده إلى زيادة في وزن الكرية الجافة، وقد يعزى ذلك إلى انحلاله في معلق النيستاتين مع البكتين في حين بقاءه معلق مع الكيتوكونازول، وفيما يلي شكل الكريات الرطبة للنيستاتين مع HPMC والكيتوكونازول مع ال HPMC. ويوضح الجدول (١٠) والشكل (١١) النسبة المئوية لتغير وزن الكريات الجافة للنيستاتين بعد التشبيك بتغير نوع ونسبة المشبك.

الجدول (١٠): النسبة المئوية لتغير وزن الكريات الجافة بعد التشبيك بالبلمرات المختلفة بالمقارنة مع كريات النيستاتين غير المشبكة.

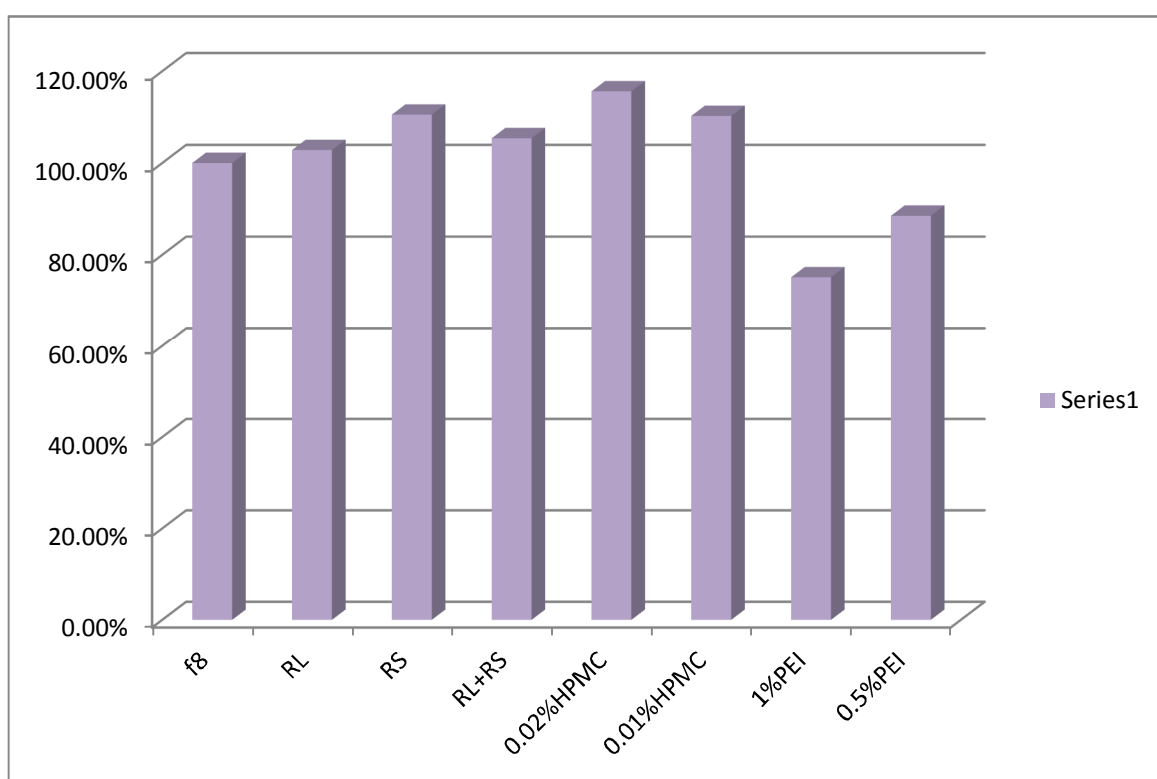
الصيغ المدروسة	F5	RL	RS	RL+RS	%0.02 HPMC	%0.01 HPMC	PEI%1	%0.5 PEI
النسبة المئوية	100%	%115.3	%104.1	%107.6	%82.05	%92.3	% 82.0	%87.1



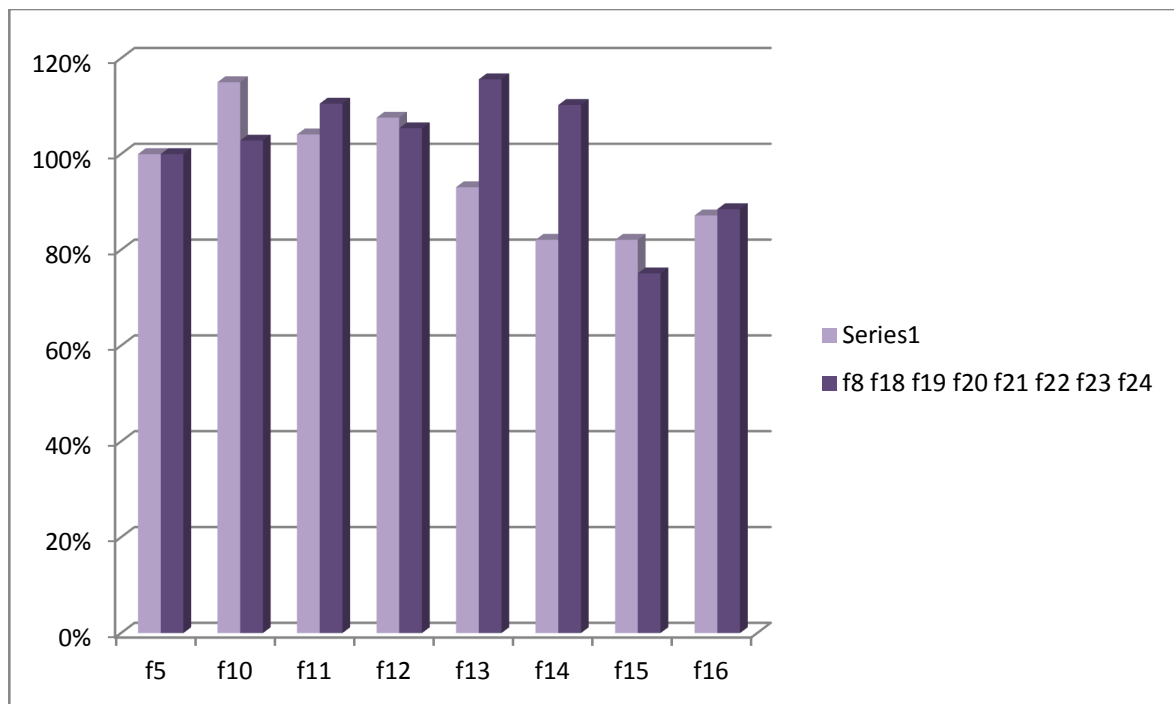
الشكل (١١): النسبة المئوية لمعدل تغير وزن كريات النيستاتين بتغير البلمر المستخدم في التشبيك.

الجدول 11: النسبة المئوية لتغير وزن الكريات الجافة بعد التشبيك بالبلمرات المختلفة بالمقارنة مع كريات الكيتوكونازول غير المشبكة.

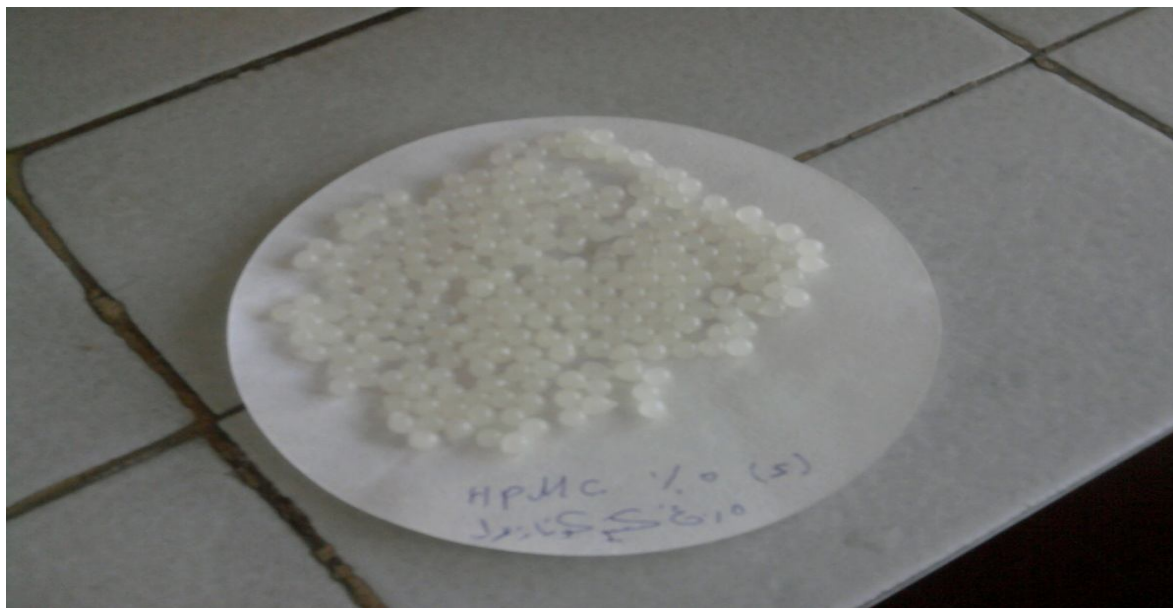
الصيغ المدروسة	F8	RL	RS	RL+RS	HPMC % 0.02	HPMC %0.01	PEI % 1	PEI %0.5
النسبة المئوية	%١٠٠	%111.0	%104.1	%106.7	%80.7	%91.1	%75.5	%84.3



الشكل (١٢): النسبة المئوية لمعدل تغيروز ان كريات الكيتوكونازول بتغير البلمر المستخدم في التشبيك.



الشكل (١٣): مقارنة معدل تغير النسبة المئوية لوزن كريات النيساتين والكيثوكونازول لجميع الصيغ. وفيما يلي أشكال كريات البكتين الحاوية على HPMC لكل من كريات النيساتين والكيثوكونازول وهي بالحالة الرطبة :



الشكل (١٤) : كريات الكيثوكونازول المشبعة مع ال HPMC وهي رطبة.



الشكل (١٥) : كريات النستاتين المشبكة مع بلمر ال HPMC وهي رطبة.

٢- فحص تجانس أبعاد الكريات المحضرة وفق الصيغ المذكورة سابقا:

لفحص أبعاد كريات البكتين تم أخذ مجموعتين من كل صيغة وكل مجموعة تتألف من عشر كريات وأخذ المتوسط الحسابي لكل مجموعة ، وذلك بعد تجفيفها حتى الوزن الثابت و تم قياس الأبعاد على جهاز بياكوليس ديجيتال . وفيما يلي الجداول التي تلخص النتائج.

- يوضح الجدول (١٢) تأثير نسبة كلوريد الكالسيوم على تجانس أبعاد كريات النستاتين والكيثوكونازول.

الجدول (١٢) تأثير تغير نسبة كلوريد الكالسيوم المستخدمة على تجانس أبعاد (ملم) كريات البكتين الجافة وذلك بالنسبة للنستاتين والكيثوكونازول.

الصيغ المدروسة	F1	F2	F3	F4	F5	F6	F7	F8	F9
متوسط المجموعة ١ (ملم)	1.93	2.32	2.49	2.26	2.62	2.95	2.39	2.68	2.75
متوسط المجموعة ٢ (ملم)	1.84	2.41	2.62	2.37	2.61	2.86	2.48	2.61	2.69
المتوسط (ملم)	1.88	2.36	2.55	2.31	2.61	2.90	2.43	2.64	2.72
الانحراف المعياري	0.001	0.002	0.003	0.002	0.000	0.001	0.002	0.001	0.003

نجد من الجدول رقم (١٢) أن نسبة ٦% كلوريد الكالسيوم قد أعطت كذلك كريات متجانسة من حيث الأبعاد سواء في الحلة الرطبة وكذلك في الحالة الجافة، لذلك اعتمدت هذه النسبة في تحضير الكريات من أجل دراسة تأثير البلمرات على كريات النيستاتين والكيوتوكونازول وقد تم تنظيم الجداول التالية.

الجدول (١٣): تأثير البلمرات المستخدمة من الايدراجيت في تجانس أبعاد (ملم) كريات النيستاتين والكيوتوكونازول.

الصيغ المدروسة	F10	F11	F12	F18	F19	F20
متوسط المجموعة ١ (ملم)	2.73	2.64	2.7	2.74	2.66	2.73
متوسط المجموعة ٢ (ملم)	2.78	2.69	2.75	2.77	2.67	2.76
المتوسط (ملم)	2.75	2.66	2.72	2.75	2.66	2.74
الانحراف المعياري	0.014	0.010	0.001	0.021	0.012	0.000

يوضح الجدول رقم (١٣) أن الايدراجيت بنوعيه ونسبه المختلفة قد أعطى كريات متجانسة في أبعادها وشكلها الكروي، وكان الانحراف المعياري صغير جداً مع مزيج الايدراجيت (F12, F20) بالنسبة إلى الانحراف المعياري مع وجود الايدراجيت بنوعيه بالنسبة لكريات النيستاتين والكيوتوكونازول .

الجدول (١٤): تأثير البلمرات المستخدمة من HPMC على تجانس أبعاد (ملم) كريات النيستاتين والكيوتوكونازول.

الصيغ المدروسة	F13	F14	F21	F22
متوسط المجموعة ١ (ملم)	2.34	2.42	2.32	2.45
متوسط المجموعة ٢ (ملم)	2.41	2.45	2.38	2.44
المتوسط (ملم)	2.37	2.43	2.35	2.44
الانحراف المعياري	0.008	0.003	0.014	0.025

كما أثر بلمر HPMC في تجانس الوزن للكريات فقد أدى إلى تباين قليل في أبعاد كريات النيستاتين، ولكن التباين كان أكبر في كريات الكيوتوكونازول حيث كان الانحراف المعياري أكبر وهذا ينسجم مع نتائج فحص تجانس الوزن.

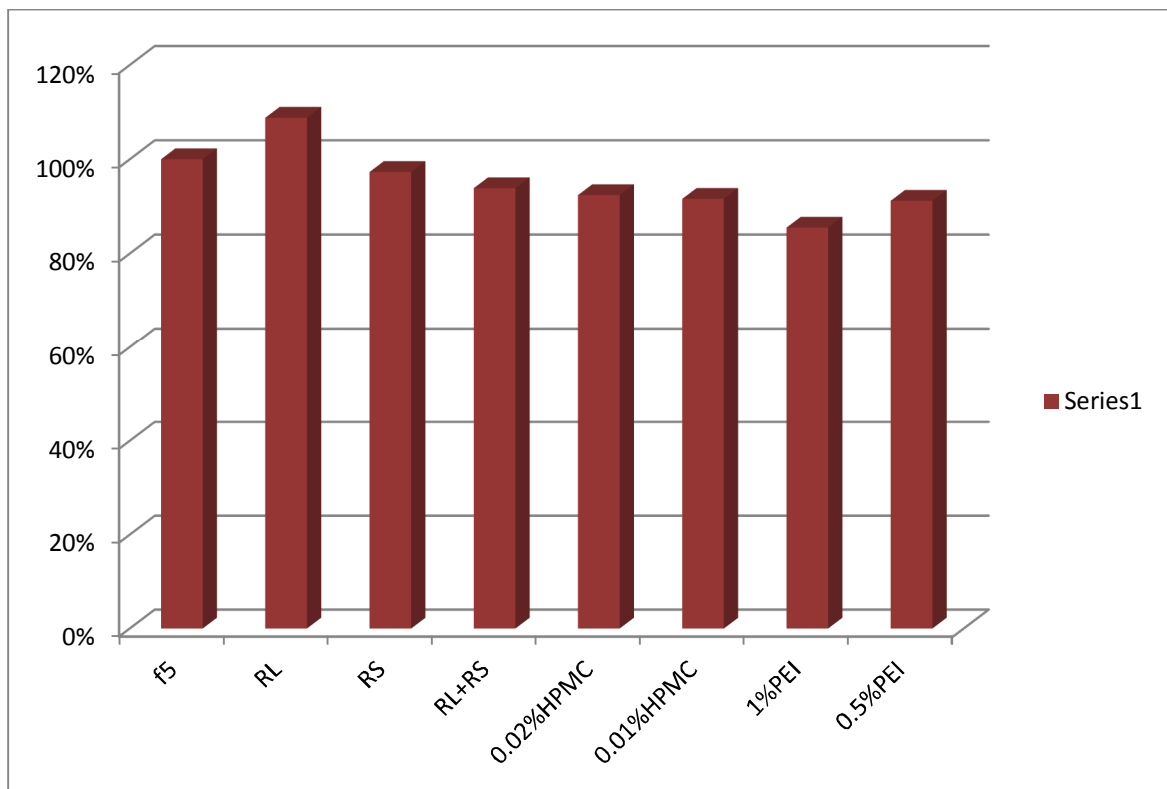
الجدول (١٥): تأثير البلمرات المستخدمة من PEI على تجانس أبعاد (ملم) كريات النيساتين والكيوتوكونازول.

الصيغ المدروسة	F15	F16	F23	F24
متوسط المجموعة ١	2.3	2.45	2.39	2.48
متوسط المجموعة ٢	2.36	2.48	2.41	2.43
المتوسط	2.33	2.46	2.4	2.45
الانحراف المعياري	0.004	0.009	0.002	0.004

ويوضح الجدول (١٥) أن وجود البولي إيثيلين امين قد أدى إلى تناقص في أبعاد كل من كريات النيساتين والكيوتوكونازول بعد التجفيف كما يوضح الشكل (١٦) النسبة المئوية لتغير أبعاد الكريات الجافة بعد التشبيك بالبلمرات المختلفة لكريات النيساتين .

الجدول (١٦): النسبة المئوية لتغير أبعاد الكريات الجافة (ملم) بعد التشبيك بالمقارنة مع كريات النيساتين غير المشبكة.

الصيغ المدروسة	F5	F10	F11	F12	F13	F14	F15	F16
النسبة المئوية	%١٠٠	%105	%102	%104	%91.8	%93	%89.2	%94.2

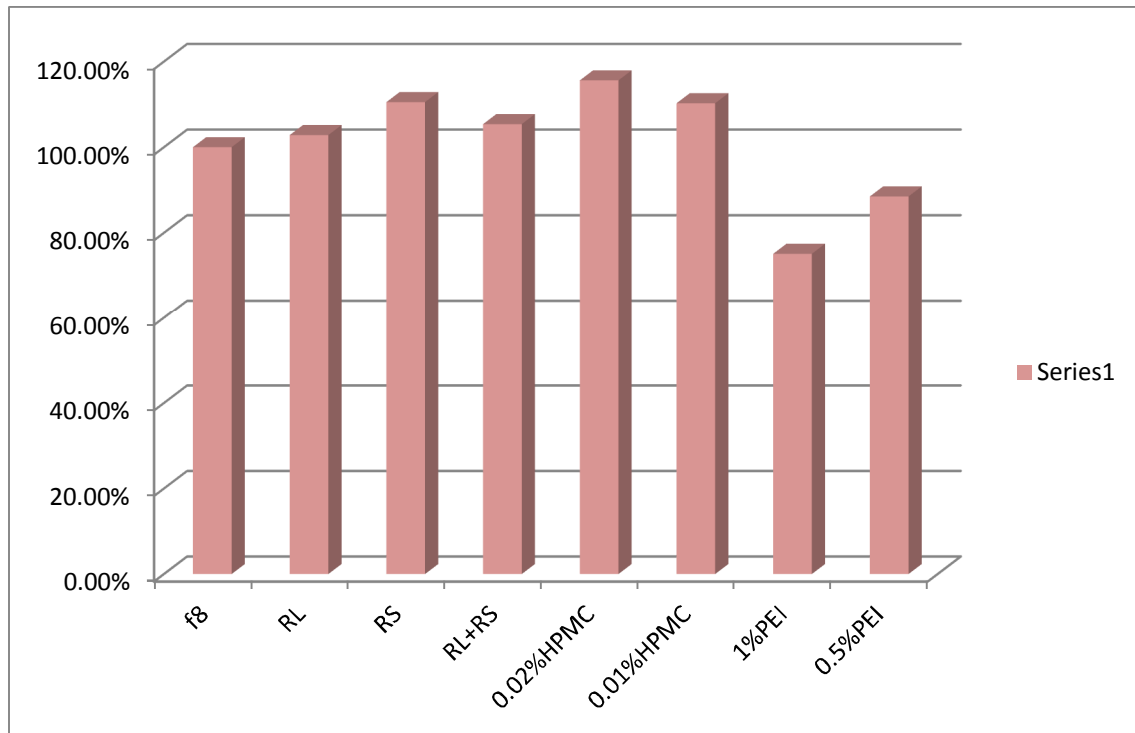


الشكل (١٦): النسبة المئوية لمعدل تغير لأبعاد كريات النيسناتين بتغير نوع المشبك.

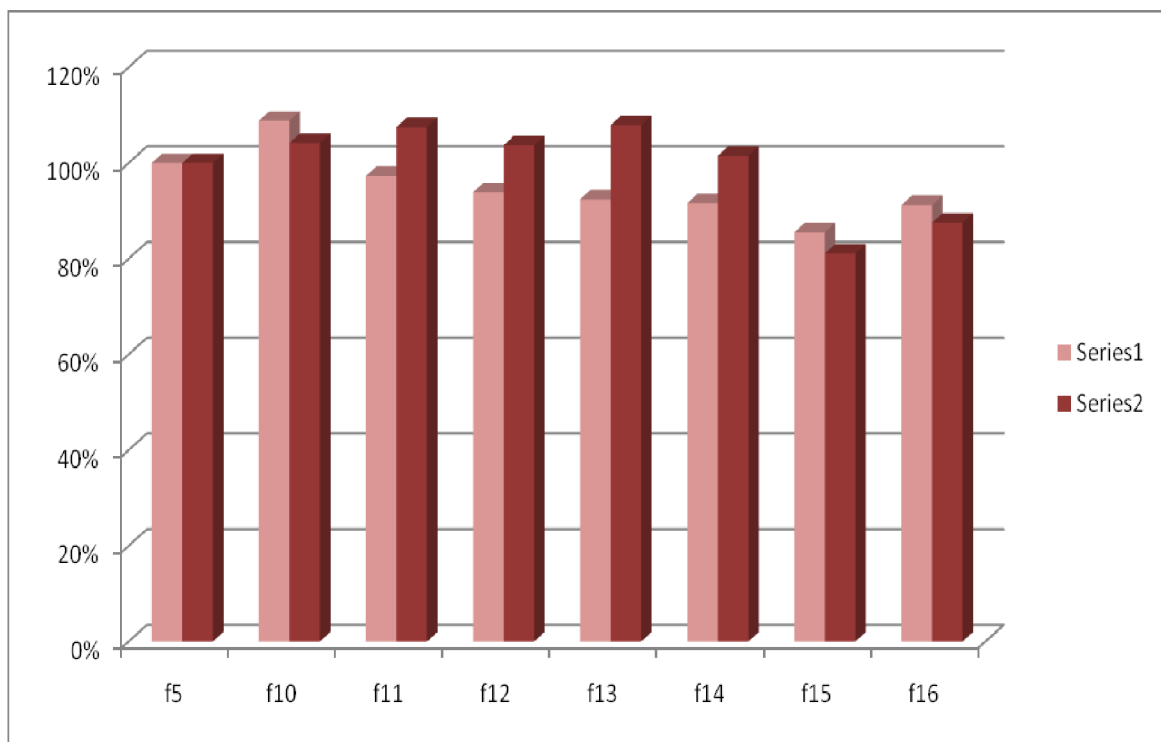
ويوضح الجدول (١٧) والشكل (١٧) النسبة المئوية لتغير أبعاد الكريات الجافة بعد التشبيك بالبلمرات المختلفة لكريات الكيتوكونازول.

الجدول (١٧): النسبة المئوية لتغير أبعاد الكريات الجافة بعد التشبيك بالمقارنة مع كريات الكيتوكونازول غير المشبكة.

الصيغ المدروسة	F8	F18	F19	F20	F21	F22	F23	F24
النسبة المئوية	%١٠٠	%104.1	%100.7	%103.7	%89	%92.4	%90.9	%92.8



الشكل (١٧): النسبة المئوية لمعدل تغير أبعاد كريات الكيتوكونازول بتغير نوع المشبك المستعمل.



الشكل (١٨): مقارنة معدل تغير النسبة المئوية لأبعاد كريات النستاتين والكيوتوكونازول لجميع الصيغ المدروسة.

من الشكل (١٨) نجد أن البلمرات المختلفة قد أبدت زيادة في أبعاد كريات البكتين وكانت هذه الزيادة أكبر مع النستاتين منها مع الكيوتوكونازول وهذه النتائج تتفق مع زيادة الوزن أيضاً.

٣- فحص تجانس المحتوى :

أ- كريات النيستاتين تم أخذ عشرة كريات من كل صيغة ووضعت في بيشر زجاجي يحوي ٥ مل ماء لمدة ١/٢ ساعة ثم نبدأ بهرس الكريات بالقضيب الزجاجي هرساً كاملاً حتى يتحول البكتين إلى قشور رقيقة جداً أو شبكة هلامية، وبعد ذلك نقوم بوضع ١ مل من دي متيل فورماميد لحل النيستاتين ثم بالترشيح والتمديد إلى بالون سعة ٢٥ مل بالماء المقطر بعد غسل الرشاحة عدة مرات قبل التمديد ثم يقرأ الامتصاص على جهاز السبكتروفوتومتر بطول موجة ٣٠٦ نانومتر، وهو طول موجة الامتصاص الأعظمي كما ذكرنا في معايرة النيستاتين ثم تحسب محتوى الكرية من النستاتين. أعيدت التجربة ثلاث مرات وكانت نتائج المعايرة متقاربة جداً مما يدل على تجانس محتوى الكريات كما في الجدول التالي:

الجدول (١٨): متوسط قيم الامتصاص المقابلة للتركيزات لكل من كريات النيستاتين غير المشبكة والمشبكة والأقراص الورقية.

الصيغ المدروسة	F5	F10	F11	F12	F13	F14	F15	F16	الأقراص الورقية
متوسط الامتصاص	٠,٤٦٧	٠,٤٨٩	٠,٤٢٥	٠,٤٤٦	٠,٤٤٦	٠,٤٣٥	٠,٤٨٩	٠,٤٤٦	٠,٤٦٧
متوسط التراكز مكغ/مل	٢٣	٢٤	٢١	٢٢	٢٢	٢١,٥	٢٤	٢٢	٢٣

وتمت معايرة كريات النيستاتين بالمعايرة الحيوية كما يلي حسب (USP30)

تؤخذ ٥ كريات وتوضع في ٥ مل ماء مدة ١/٢ ساعة ثم تهرس الكريات كما في السابق ثم يرشح ويوضع في ١ مل دي متيل فورماميد لحل النيستاتين ثم يكمل بالماء المقطر إلى بالون معاير سعته ١٠ مل وتوضع

كما ذكر في المعايرة الجرثومية يؤخذ منها ٢٠٠ مكرون وتقارن مع الشاهد حيث تم أخذ ٤ قياسات من الشاهد والعينات فكان قطر هالات الشاهد كما يلي

$$\text{الشاهد } St_1=18.03, st_2=17.67, st_3=19.11, st_4=17.65, st_{ave}=18.1$$

$$\text{العينات } A_1=21.4 \ A_2=19.43 \ A_3=21.5 \ A_4=19.13 \ A_{ave}=20.3$$

$$B_1=19.63 \ B_2=19.46 \ B_3=21.45 \ B_4=21.68 \ B_{ave}=20.55$$

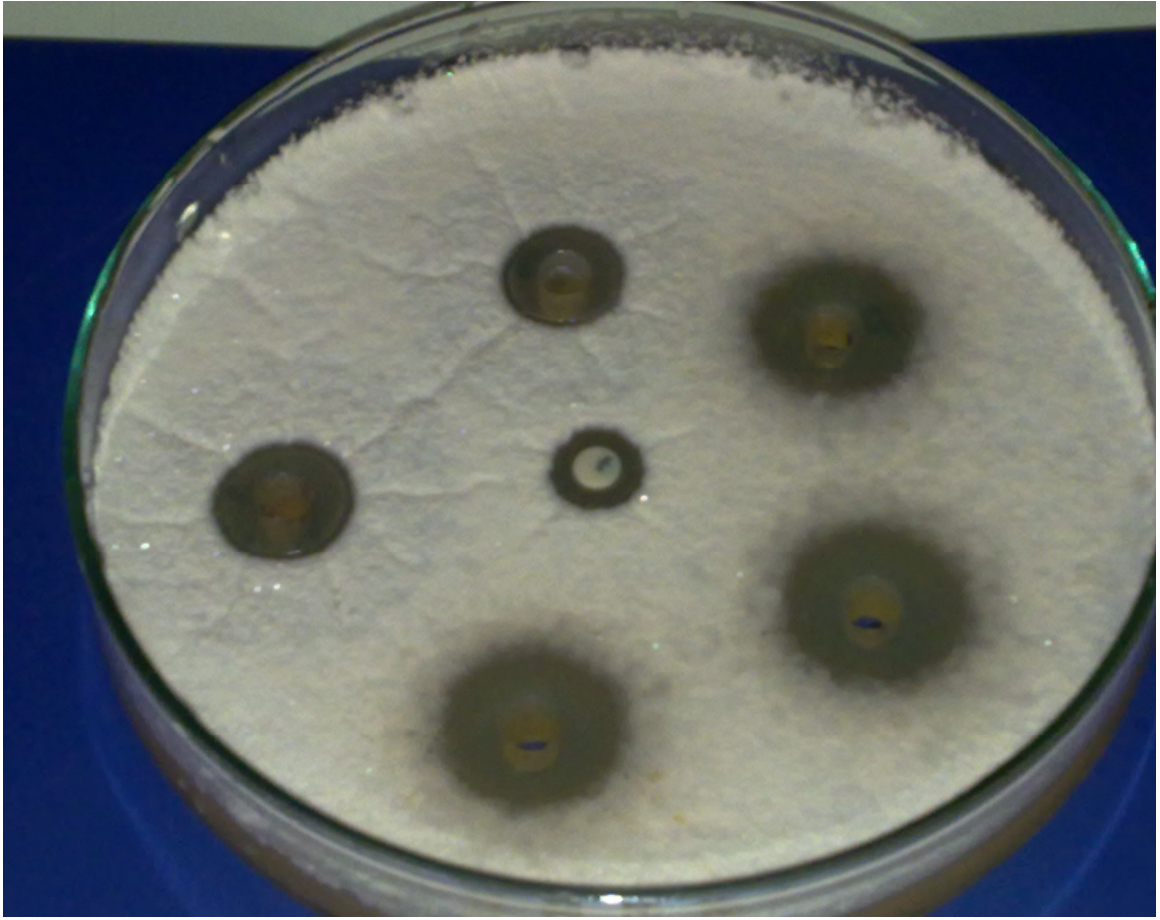
ويتم حساب التراكيز كما يلي:

$$\text{الشاهد } St=100\%$$

$$\text{العينات } A=20.32 \times 100 \div 18.11 = 112.2\%$$

$$\text{العينات (القرص العياري) } B=20.55 \times 100 \div 18.11 = 113.47\%$$

ويوضح الشكل (19) المعايرة البيولوجية لكريات النسنتين (A) والشاهد (St) والقرص العياري (B)



الشكل (19): المعايرة البيولوجية لكريات النستاتين والقرص العياري.

٢- فحص تجانس محتوى كريات الكيتوكونازول:

تأخذ عشر كريات من كل صيغة وتوضع في ٢ مل ماء في بيشر زجاجي لمدة ١/٢ ساعة حتى ينحل أو يهلم البكتين قليلاً ثم نبدأ بالهرس الميكانيكي هرساً تاماً حتى تتحول قشور البكتين إلى شبكة من الهلام ثم يوضع الميثانول ليحل الكيتوكونازول ويرشح المحلول إلى بالون معاير سعة ٢٥ مل بعد غسل الرشاحة عدة مرات بالميثانول ثم يمرر المحلول قبل التمديد على مرشح 0.45 ميكرومتر ثم يقرأ الامتصاص على السبكروفتومتر بطول موجة ٢٩٦ نانومتر وهو طول موجة الامتصاص الأعظمي (أعيدت التجربة ثلاث مرات وكانت النتائج متقاربة مما يدل على تجانس محتوى الكريات) كما في الجدول التالي:

الجدول (١٩): متوسط قيم الامتصاص المقابلة للتراكيز لكل من كريات الكيتوكونازول المشبكة وغير المشبكة والأقراص الورقية.

الصيغ المدروسة	F8	F18	F19	F20	F21	F22	F23	F24	الأقراص الورقية
متوسط الامتصاص	٠,٠٢٤	0.075	0.085	0.081	0.075	0.036	0.024	0.026	٠,٠٢٦
متوسط التراكيز مكغ/ مل	٢٠	25	27	26	25	29	20	22	٢٢

٤- دراسة تحرر المضاد الفطري من كريات بكتينيات الكالسيوم وذلك في الدارات المختلفة:

أ- دراسة تحرر كريات النيساتين المشبكة وغير المشبكة والمضغوطة الجاهزة وذلك في درارات مختلفة حسب طريقة العمل التالية:

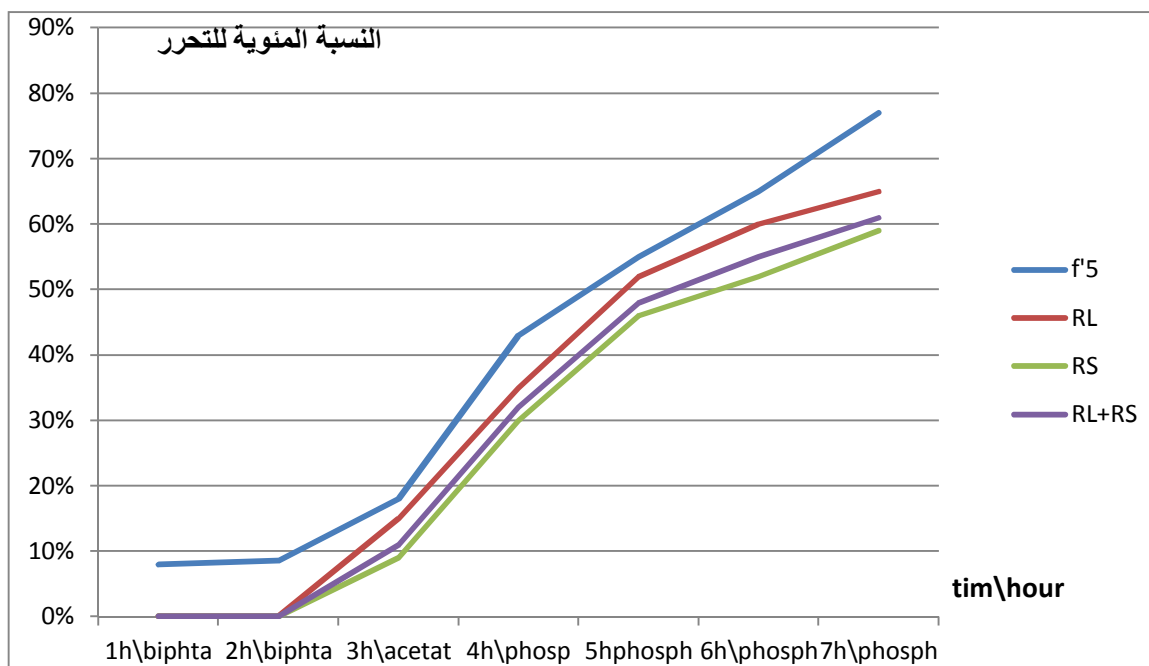
يوضع ٦٥٠ ملغ من كل صيغة من الكريات في سلة جهاز Dissolution وتملاً الأحواض بدائرة بي فتالات pH=2.4، ثم يدرس التحرر لمدة ساعتين، بعد ذلك وبعد ضبط سرعة الدوران 75 r.p.m، ودرجة الحرارة 0.5٣٧ ±م، وبعد مرور ساعتين، تسحب عينات من الأحواض وترفع السلات، ثم تفريغ الأحواض وتغسل بالماء المقطر، ثم تعبئ بدائرة الاستيات pH=4.2 وتضبط سرعة الدوران، ودرجة الحرارة، ثم تنزل السلات. نقوم بدراسة التحرر لمدة ساعة واحدة، ويعاد العمل كالسابق، وبعد سحب العينات، تفرغ الأحواض بعد رفع السلات منها، وتغسل بالماء المقطر ثم تملأ بدائرة الفسفات pH=6.8، وتضبط سرعة دوران الجهاز ودرجة حرارة الأحواض، وبعد إنزال السلات ودراسة التحرر لمدة ٣-٤ ساعات، يجمع التحرر في كل مرحلة.

يبين الجدول (18) والشكل (٢٣) النسب المئوية لتحرر النيساتين من الكريات غير المشبكة والمشبكة بالبلمرات المختلفة والأقراص الجاهزة في الدارات المختلفة.

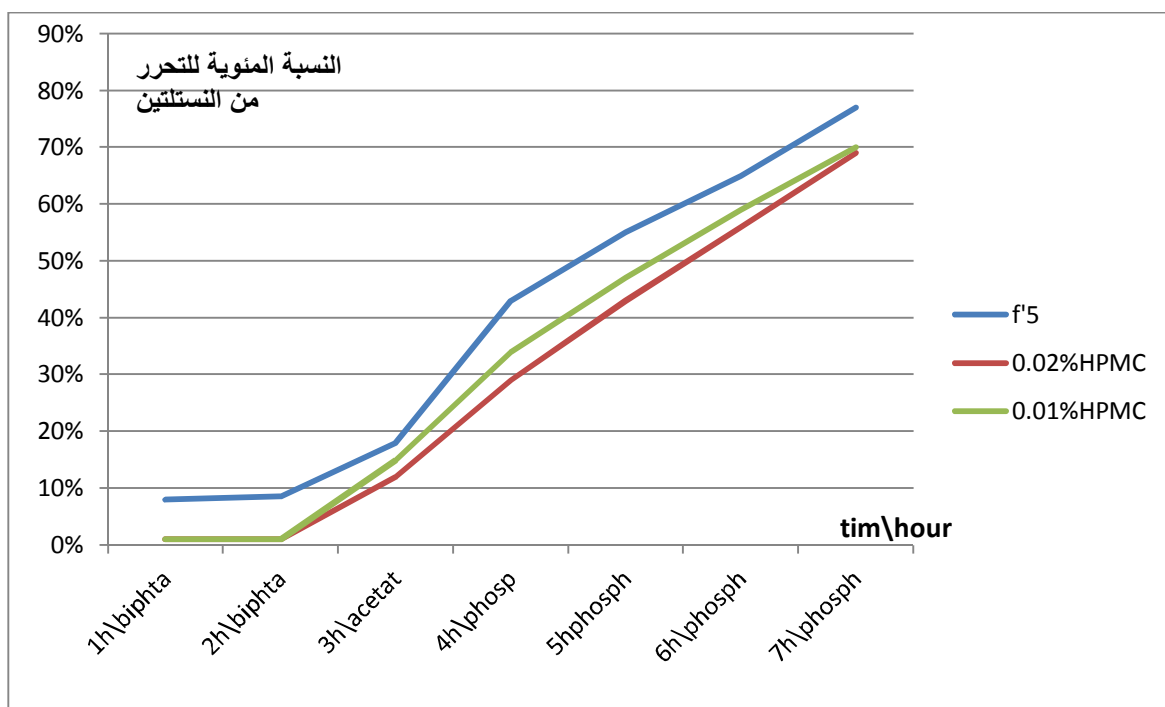
الجدول (٢٠): النسب المئوية لتحرر النيساتين من الكريات غير المشبكة والمشبكة بالبلمرات المختلفة والأقراص الجاهزة في الدارات المختلفة بدلالة الزمن .

الزمن/ساعة	F _٥	F ₁₀	F ₁₁	F ₁₂	F ₁₃	F ₁₄	F ₁₅	F ₁₆
ساعة/ بيفتالات	8%	0%	0%	0%	1%	1%	0%	0%
٢ ساعة/ بيفتالات	8.5%	0%	0%	0%	1%	1%	0%	0%
٣ ساعة/ أسيتات	18%	15%	9%	11%	12%	15%	7%	9%

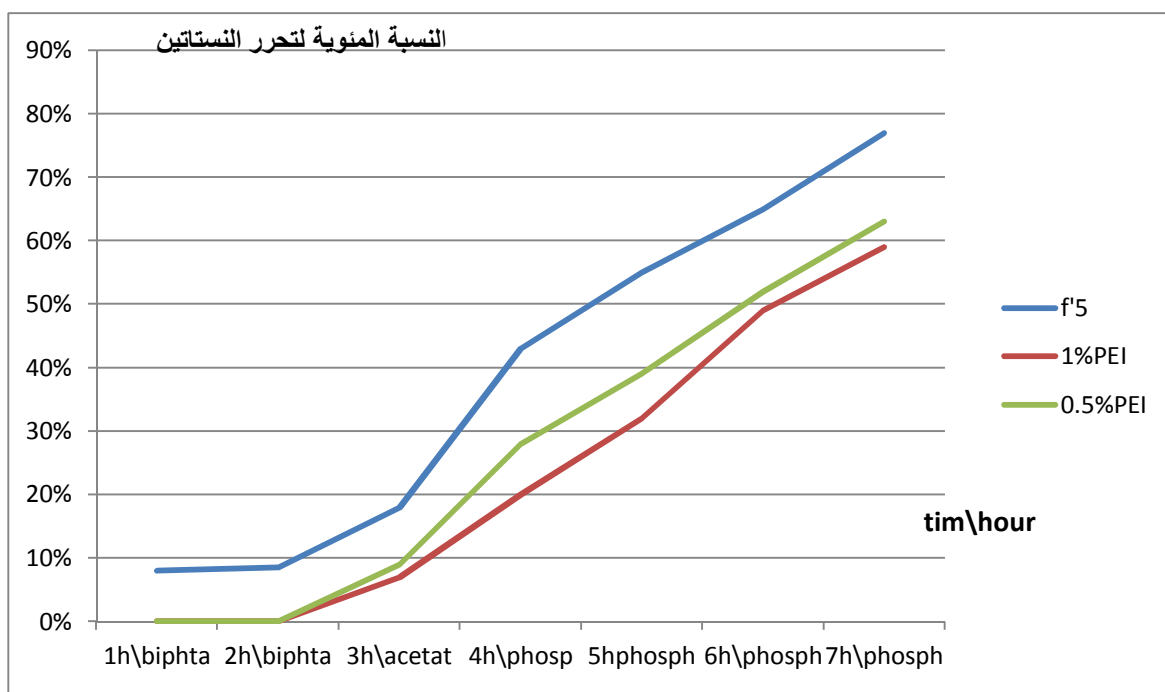
28%	20%	34%	29%	32%	30%	35%	43%	٤ ساعة / فسفات
39%	32%	47%	43%	48%	46%	52%	55%	٥ ساعة / فسفات
52%	49%	59%	56%	55%	52%	60%	65%	٦ ساعة / فسفات
63%	59%	70%	69%	61%	59%	65%	77%	٧ ساعة / فسفات



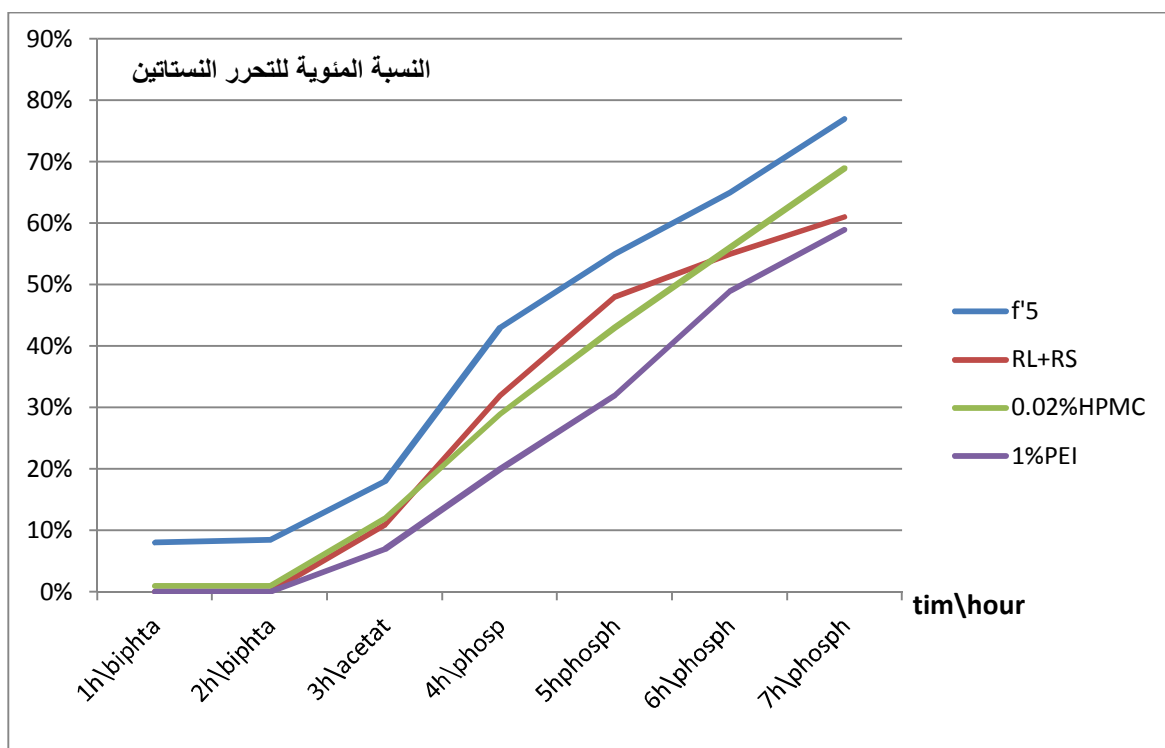
الشكل (٢٠): النسب المئوية لتحرر النيسناتين من الكريات غير المشبكة والمشبكة بالايديراجيت في الدائرات المختلفة بدلالة الزمن.



الشكل (٢١): النسبة المئوية لتحرر النيستاتين من الكريات غير المشبكة والمشبكة بالـ HPMC بالدارئات المختلفة بدلالة الزمن.



الشكل (٢٢): النسبة المئوية لتحرر النيستاتين من الكريات غير المشبكة والمشبكة بـ PEI بالدارئات المختلفة بدلالة الزمن.



الشكل (٢٣) مقارنة النسبة المئوية لتحرر النستاتين من الكريات المشبكة بالبولمرات المستخدمة وغير المشبكة والأقراص الجاهزة وذلك في الدارات المختلفة بدلالة الزمن.

-مناقشة النتائج:

عند مقارنة تحرر النستاتين من الكريات المشبكة بالايديراجيت بنوعيه والهيدروكسي بروبيل ميتيل سيللوز والكريات غير المشبكة والمضغوطة الجاهزة في الدارات المختلفة نجد مايلي :

١- في دائرة البي فتالات اي في $Ph=2.4$: كان هناك تحرر ٨% من الكريات غير المشبكة و ٣٥% من القرص الجاهز على حين لم يتم أي تحرر مع الایدرجيت وال HPMC وال PEI في هذه الدائرة .

٢- في دائرة الاسيتات أي في $Ph=4.2$: تم تحرر ١٨% من النستاتين من الكريات غير المشبكة ومع الایدرجيت RL كان التحرر ١٥% بينما مع ال RS ٩% ومع المزيج منهما كان ١١% وهذا لأن الایدرجيت RL يملك مجموعات أكثر من الأمونيوم الرباعية التي تسمح بنفوذ السوائل إلى داخل الكريات أكثر من RS ومع ال HPMC كان التحرر أكبر وكلما زادت نسبة البولمر كلما قل التحرر، وقد يعزى ذلك على أن هذا البولمر قد شكل روابط أكثر مع البكتين لم تسمح بتحرر أكبر، أما مع ال PEI فالتحرر كان أبطأ من باقي المشبكات المستعملة حيث لم تصل إلا لنسبة ٩% على حين القرص الجاهز قد حرر ٤٩% في هذه الدائرة .

٣- في دائرة الفوسفات أي $Ph=6.8$: كان التحرر في الكريات غير المشبكة ٧٧% بعد مرور ٤ ساعات ومع الايدراجيت حوالي ٦١% وكان التحرر أسرع مع ال HPMC وبشكل أقل مع ال PEI وكلما زادت نسبة المشبك كان التحرر أقل ،أما القرص الجاهز فقد وصل التحرر إلى قيمته العظمى بعد ٥ ساعات ونستنتج من ذلك أن البكتين مع المشبكات وخاصة الايدراجيت استطاع الاحتفاظ بالمادة الفعالة وايصالها على الوسط الشبيه بالمعوي وكان تحررها حتى في هذا الوسط بطيء وكذلك الأمر مع ال PEI .

ونجد أن الكريات غير المشبكة قد أنتجت في دائرة بي فتالات وغيرت شكلها، في حين استطاعت الكريات المشبكة الاحتفاظ بشكلها، حتى في دائرة الفسفات حيث بعد مرور ٤ ساعات في دائرة الفسفات وجدنا أن كريات البكتين المشبكة بالايديراجيت لم يطرأ أي تغير في شكل الكريات وتركت في المحلول الفسفاتي لليوم التالي وبعد التجفيف كانت فارغة تماماً (ذات مظهر شفاف) ،أما في الكريات المشبكة بال PEI فقد أنتجت وأصبحت فارغة تماماً من محتواها.

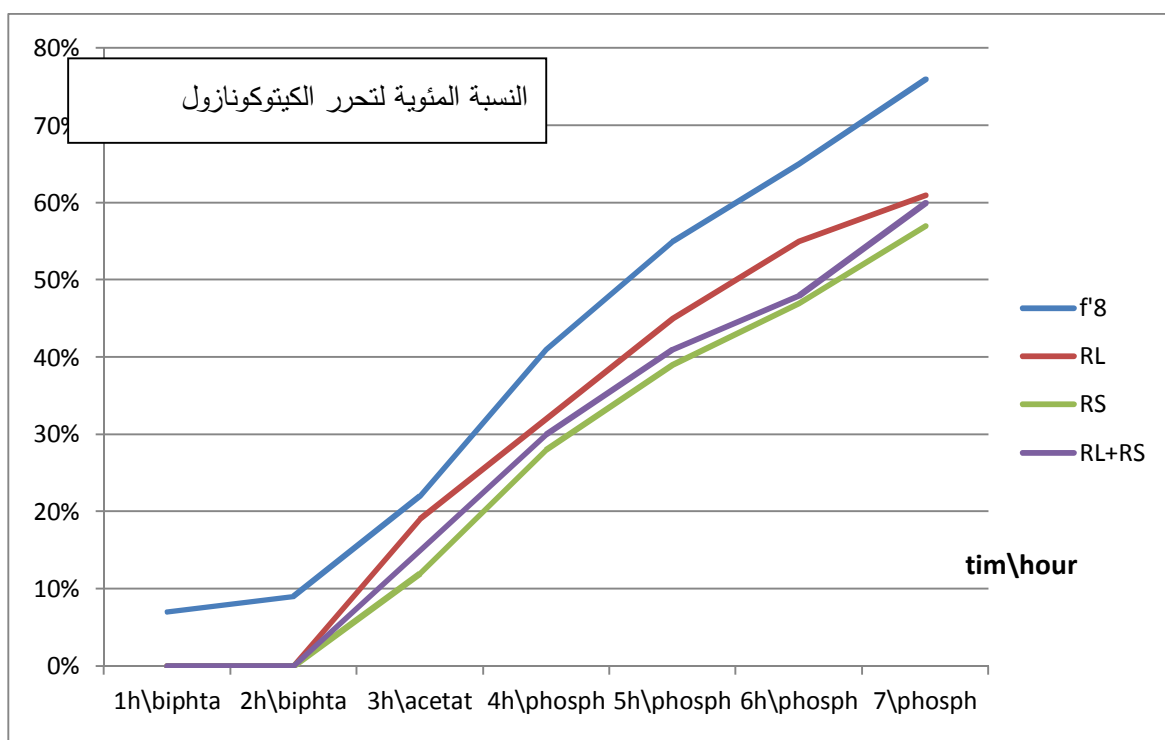
في حين أن المضغوطة الجاهزة لم يبق لها أي أثر بعد تفريغ دائرة البي فتالات مما يدل على قدرة البكتين مع المشبكات على الاحتفاظ بالمادة الدوائية، وهذا ما يفسر أيضاً عدم تحرر النيساتين ١٠٠% من الكريات حتى بعد مرور ٥ ساعات، ويبدو أن البكتين مع البلمر قد شكل روابط قامت باحتجاز النيساتين .

ب- دراسة تحرر كريات الكيتوكونازول المشبكة وغير المشبكة وذلك في درائات مختلفة حسب طريقة العمل التالية:

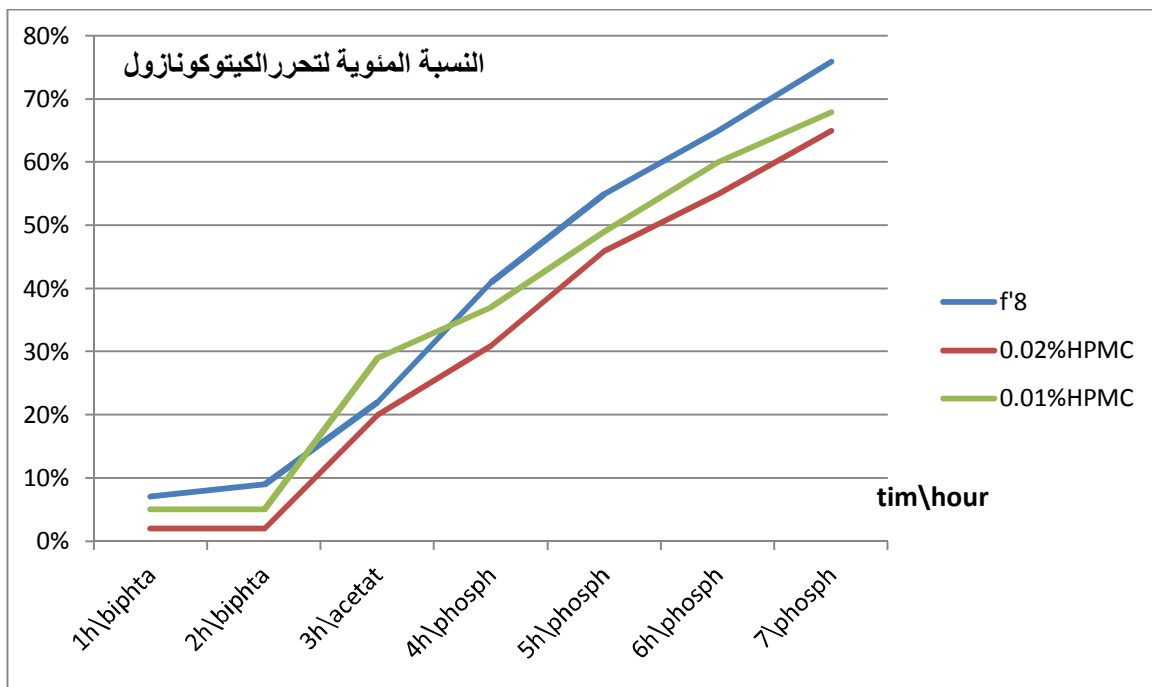
كما في النيساتين وضع 620 ملغ من كل صيغة في كل سلة، ووضعت ١/٢ مضغوطة في سلة أخرى وتم اختبار التحرر في دائرة البي فتالات مدة ساعتين وفي دائرة الأسيتات مدة ساعة ثم في دائرة الفسفات مدة أربع ساعات ويبين الجدول (٢١) والشكل (٢٥) النسبة المئوية لتحرر الكيتوكونازول من الكريات المشبكة وغير المشبكة بدلالة الزمن وذلك في الدائرات المختلفة.

الجدول (21): النسبة المئوية لتحرر الكيتوكونازول من الكريات غير المشبكة والمشبكة بالبلمرات المختلفة والأقراص الجاهزة في الدارات المختلفة بدلالة الزمن.

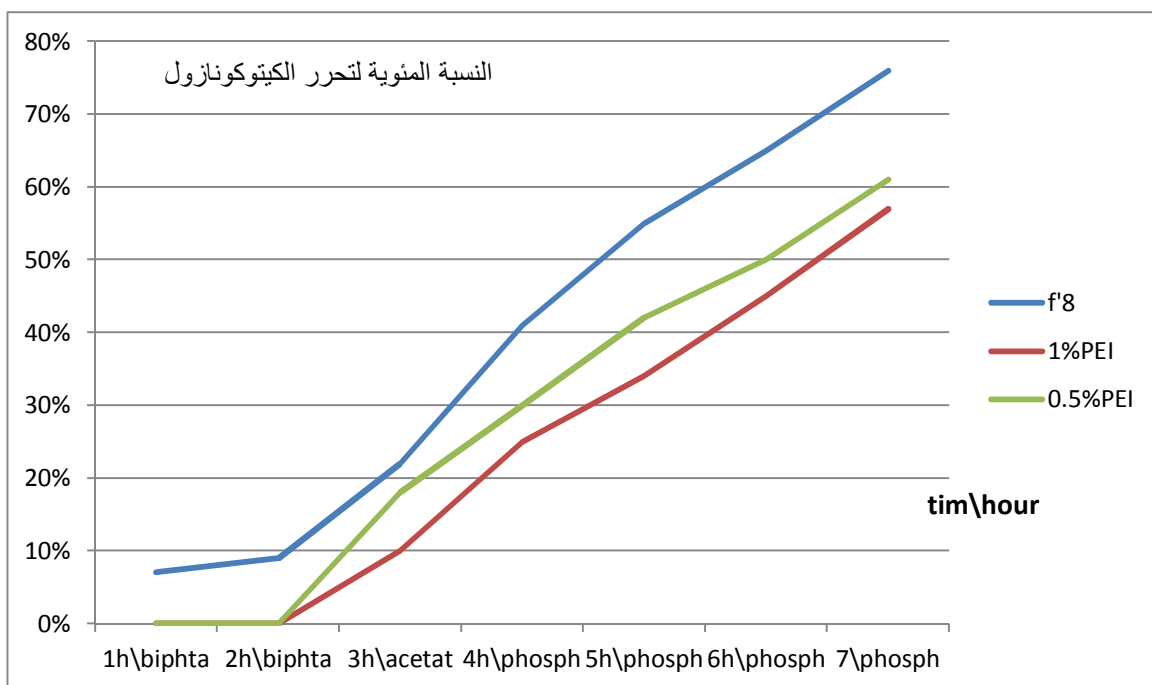
الزمن / ساعة	F_8	F_{18}	F_{19}	F_{20}	F_{21}	F_{22}	F_{23}	F_{24}
١ ساعة/ بي فتالات	7%	0%	0%	0%	2%	5%	0%	0%
٢ ساعة/ بي فتالات	9%	0%	0%	0%	2%	5%	0%	0%
٣ ساعة/ اسيتات	22%	19%	12%	15%	20%	29%	10%	18%
٤ ساعة/ فسفات	41%	32%	28%	30%	31%	37%	25%	30%
٥ ساعة/ فسفات	55%	45%	39%	41%	46%	49%	34%	42%
٦ ساعة/ فسفات	65%	55%	47%	48%	55%	60%	45%	50%
٧ ساعة/ فسفات	76%	61%	57%	60%	65%	69%	57%	61%



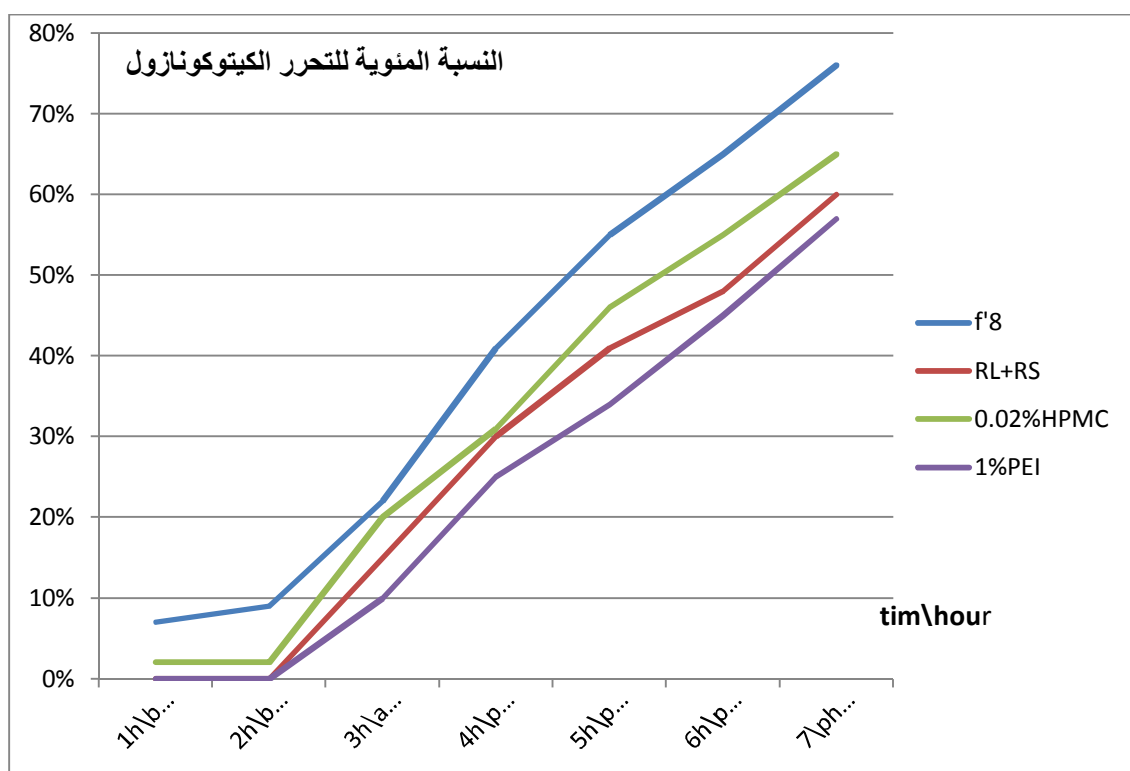
الشكل (٢٤) : النسبة المئوية لتحرر الكيتوكونازول من الكريات غير المشبكة والمشبكة بالايديراجيت في الدارات المختلفة بدلالة الزمن.



الشكل (٢٥): النسب المئوية لتحرر الكيتوكونازول من الكريات غير المشبكة والمشبكة HPMC في الدارات المختلفة بدلالة الزمن.



الشكل (٢٦): النسب المئوية لتحرر الكيتوكونازول من الكريات غير المشبكة والمشبكة بـ PEI في الدارات المختلفة بالنسبة للزمن.



الشكل (٢٧) مقارنة النسبة المئوية لتحرر الكيتوكونازول من مختلف الكريات المشبكة وغير المشبكة وذلك في الدارات المختلفة بدلالة الزمن.

مناقشة النتائج :

عند مقارنة تحرر الكيتوكونازول من الكريات المشبكة وغير المشبكة والأقراص الجاهزة في الدارات المختلفة وجدنا ما يلي:

١- في دائرة البي فتالات أي $Ph=2.4$ لم يتم التحرر من الكريات المشبكة والقرص الجاهز ذو التحرر المديد بينما كان هناك تحرر بمقدار ٩% مع البكتين غير المشبك وهذا يدل على قدرة المشبكات مع البكتين على الاحتفاظ بالمضاد الفطري في الوسط المعدي وهذا توافق مع الدراسات السابقة التي أجريت، ولكن مع الهيدروكسي بروبيل ميثيل سيللوز كان هناك تحرر قليل مع النسبة 0.01 % وكلما زادت النسبة قلّ التحرر 0.02 % حيث لم يتجاوز ٢%.

٢- في دائرة الأسيتات أي $Ph=4.2$ كان التحرر متقارب بين الكريات غير المشبكة والمشبكة بال HPMC وكلما زادت نسبة المشبك كلما نقص التحرر، أما مع ال PEI فقد كان التحرر أقل من ال ايدراجيت RL و HPMC، أما ال ايدراجيت فقد كان التحرر مع RL أكبر من التحرر مع المزيج (RL+RS)، وكان التحرر أقل مع القرص الجاهز.

٣- في دائرة الفوسفات أي $Ph=6.8$ كان التحرر متقارب في جميع الصيغ المشبكة ويتراوح بين ٣٠%- ٣٥% أما مع الكريات غير المشبكة فقد كان ٤١% وذلك في الساعة الأولى من دائرة الفوسفات على حين كان ٣٠% مع الكريات المشبكة بمزيج الايدراجيت و PEI بالنسبة 0.5 %، وكان التحرر تقريباً متساوي من القرص الجاهز والصيغ المشبكة في تلك الساعة وسجلت الصيغة مع HPMC بنسبة 0.01% أكبر نسبة تحرر مع الكريات غير المشبكة وبعد مرور ٤ ساعات في دائرة الفوسفات كان التحرر متقارب بين الصيغ المشبكة والقرص الجاهز وكان التحرر أكبر مع كريات البكتين غير المشبكة .

وقد فقدت كل من كريات البكتين غير المشبكة والمشبكة بال HPMC شكلها حيث انتجت كلياً في دائرة الفوسفات أما كريات ال PEI فقد حافظت على شكلها و أصبحت فارغة تماماً بعد مرور ٢٤ ساعة على وجودها في وسط التحرر. وهذا يدل على قدرة البكتين مع البولي ايتلين أمين على حماية الكيتوكونازول من تغيرات قيم الباهاء .

٥- الدراسة على المزارع الفطرية:

١ - تحضير الوسط الزراعي:

نستخدم الوسط (SABCHL-D) Gelose.sobouroud chloram phenicol

الذي يتألف من :

- هضمون شابوتو 10 غ

- غلوكوز 20 غ

كلور امفينيكول 0.5 غ

- آغار 15 غ

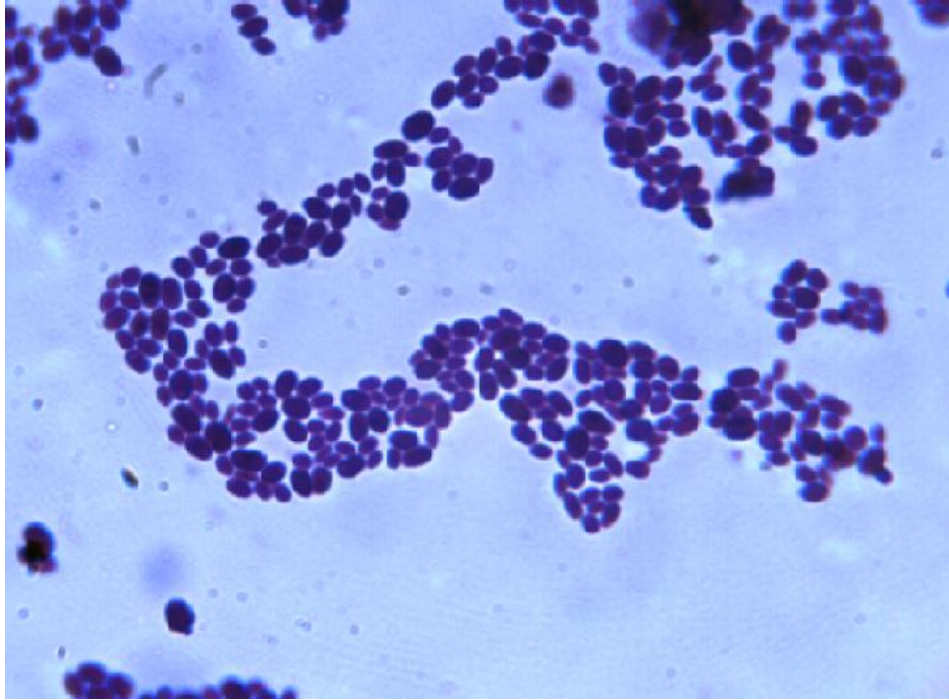
- ماء 1000 مل

يحضر بمزج ٤٥,٥ غ في لتر من الماء المقطر يمزج جيد وبالحرارة ثم الغليان حتى الانحلال الكامل ثم يوضع في الصاد الموصد ١١٨ م لمدة ١٥ دقيقة ثم يترك قليلاً في درجة حرارة الغرفة لمدة لا تقل عن ١٥ دقيقة ثم يسكب في علب بتري بسماكة ٤ ملم وتوضع في حاضنة حرارتها ٣٧ م مدة ٢٤ ساعة ثم تفرش بالفطر .

تحضير الفطر وعزله:

تمت الدراسة على فطور مبيضات البيض حيث أخذت العينات من عدة عيادات نسائية، ولكن لم يتم عزلها بشكل جيد وكثيراً ما كانت غير نوعية ومختلطة مع الجراثيم حتى تم أخذ عينات من مشافي متعددة لمريضات لم تعالج بعد من الفطور فأخذت مسحة ووضعت في أنبوب يحوي وسط سابورو العقيم وتركت مدة

٣ أيام في درجة حرارة ٣٧ °C ثم أخذ منها عينة ومددت بـ ٢٠٠ فيزيولوجي حتى نحصل على معلق حوالي ١٠^٨ (وتم التأكد من قطر المبيضات بتلوين المحضر بأزرق الميتلين فظهرت الخمائر المبرعمة على شكل دائرة أو أشكال بيضوية بقطر ٢-٤ ميكرون وذات نهايات مدورة وغلاف رقيق كما في الشكل (٢٤)).



الشكل (28): المبيضات البيض تحت المجهر بعد التكبير.

ثم يفرش بجانب اللهب بواسطة ماسحة قطنية ثم نضع أيضاً بجانب اللهب في كل علبة ما يلي:

- ١- قرص عياري من النيستاتين في وسط العلبة.
- ٢- كرية النيستاتين غير المشبكة.
- ٣- كرية النيستاتين المشبكة بالإيدراجيت RL
- ٤- كرية النيستاتين المشبكة بالإيدراجيت RS
- ٥- كرية النيستاتين المشبكة بالإيدراجيت RS+ RL
- ٦- كرية النيستاتين المشبكة بالـ 0.02 HPMC %
- ٧- كرية النيستاتين المشبكة بالـ ٠,٠١ HPMC %
- ٨- كرية النيستاتين المشبكة بـ ١% PEI
- ٩- كرية النيستاتين المشبكة بـ ٠,٥% PEI

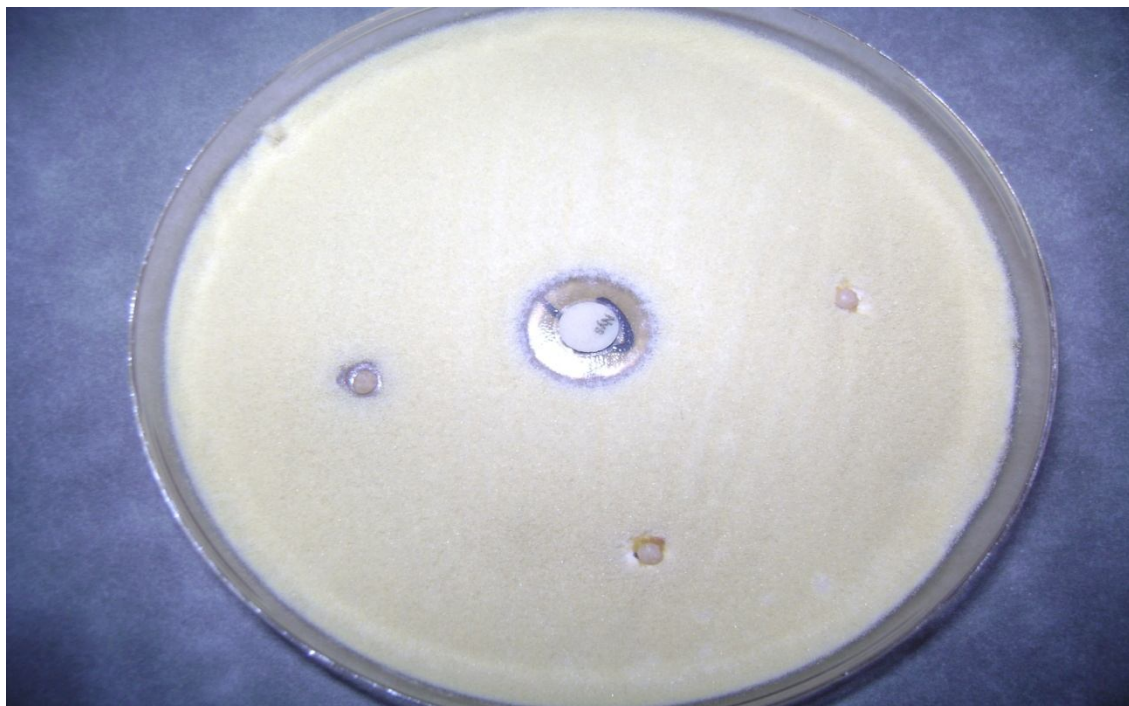
يتم توزيعها في علب بتري بمعدل كرتين إلى ثلاثة مع القرص في كل علبة وتم وضع هذه العلب في حاضنة ٣٧°م وتم قياس قطر الهالات بعد ٢٤ ساعة ثم بعد ٣٦ ساعة ثم بعد ٧٢ ساعة من الحضان.

أولاً دراسة هالات النستاتين:

لقد وجدنا من خلال الدراسة على المزارع الفطرية أن هناك تحسس للقرص العياري بعد ١٢ ساعة من الحضان incubation لذلك تمت الدراسة ابتداءً من ١٢ ساعة فكانت الجداول التالية:

الجدول (٢٢): قيم أقطار الهالات الموافقة للتحسس على المبيضات البيض (بالملم) بعد ١٢ ساعة من الحضان.

رقم التجربة	كرية النستاتين الملبسة بالايدراجيت RL	كرية النستاتين الملبسة بالايدراجيت RS	كرية النستاتين الملبسة بالايدراجيت RL+RS	القرص العياري
١	.	.	0	4
2	0.5	.	0	4
3	.	.	0	4
4	0.5	.	0	4
5	.	0	0	4.5
6	.	.	0	4
7	.	.	0	4
8	.	0	0	4
9	.	.	0	4
المتوسط الحسابي		.	0	4

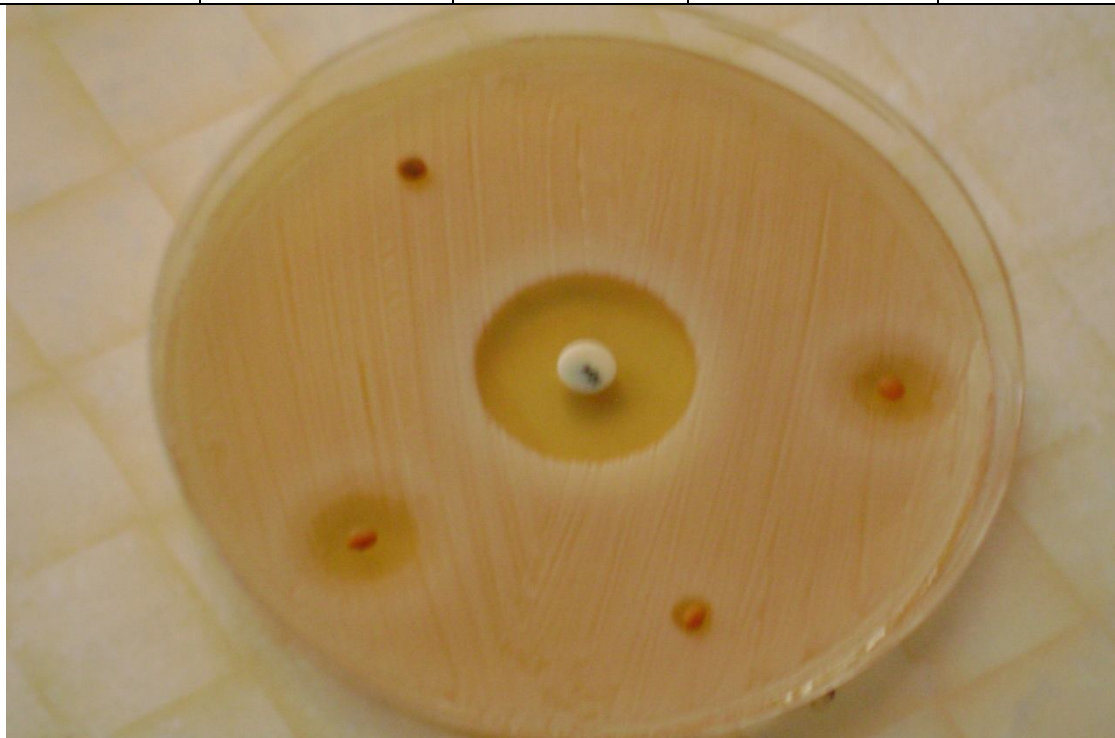


الشكل (٢٩): التحسس الفطري للقرص العياري ولكريات النستاتين المشبكة بالايديراجيت بعد ١٢ ساعة من الحضان.

الجدول (٢٣): قيم أقطار الهالات الموافقة للتحسس على المبيضات البيض (بالملم) بعد ٢٤ ساعة من الحضان

رقم التجربة	كروية النستاتين الملبسة بالايديراجيت RL	كروية النستاتين الملبسة بالايديراجيت RS	كروية النستاتين الملبسة بالايديراجيت RL+RS	القرص العياري
١	5	0.5	4	20
2	5	0.5	4	20
3	5	0.5	4.5	20
4	5	0.5	4	20.5
5	4.5	0	4	20.5
6	5	0.5	4	20
7	5	0.5	4	20
8	4.5	0	4.5	20
9	5	0.5	4	20

20	4	0.5	5	المتوسط الحسابي
----	---	-----	---	--------------------

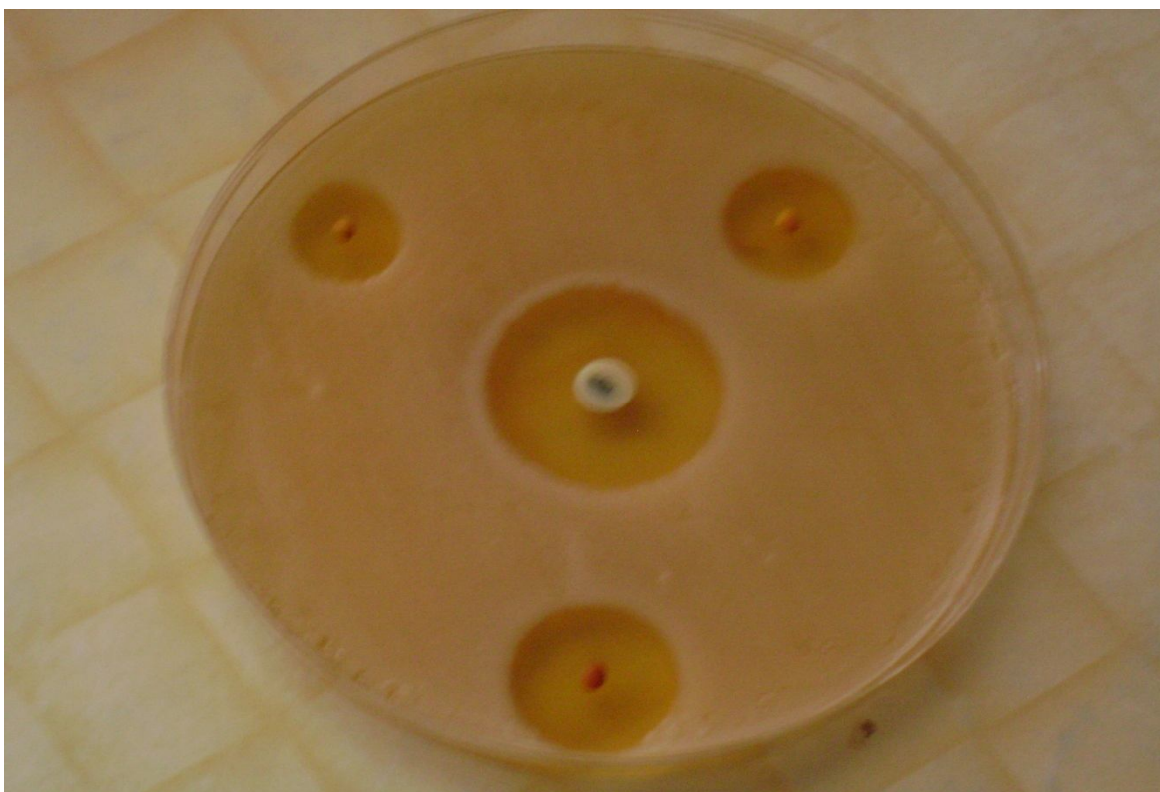


الشكل (٣٠): التحسس الفطري للقرص العياري ولكريات النستاتين المشبكة بالايديراجيت بعد ٢٤ ساعة من الحضان.

الجدول (24): قيم أقطار الهالات الموافقة للتحسس على المبيضات البيض (بالملم) بعد ٣٦ ساعة من الحضان

رقم التجربة	كربة النيستاتين مع لايديراجيت RL	كربة النيستاتين مع الايديراجيت RS	كربة النيستاتين مع الايديراجيت RL+RS	قرص النستاتين العياري
١	١٨	٨	12	22
٢	١٨	٨	12	22
٣	١٨	٨	12	21
٤	18.5	8.5	12	22
٥	18	8	12	22
٦	18.5	8	12	22

21	12	8	19	٧
21.5	12	8.5	18	٨
22	13	8.5	18	٩
22	12	8	18	المتوسط الحسابي



الشكل (٣١): التحسس الفطري للقرص العياري ولكريات النستاتين المشبكة بالايديراجيت بعد ٣٦ ساعة من الحضان.

الجدول (٢٥): قيم أقطار الهالات للتحسس الفطري على المبيضات البيض (ملم) بعد ٧٢ ساعة من الحضان

رقم التجربة	كروية النستاتين مع الايديراجيت RL	كروية النستاتين مع الايديراجيت RS	كروية النستاتين مع الايديراجيت RL+RS	قرص النستاتين العياري
١	23.5	20	٢٣	23
٢	23	20	٢٣	23
٣	23.5	20.5	٢٢	23

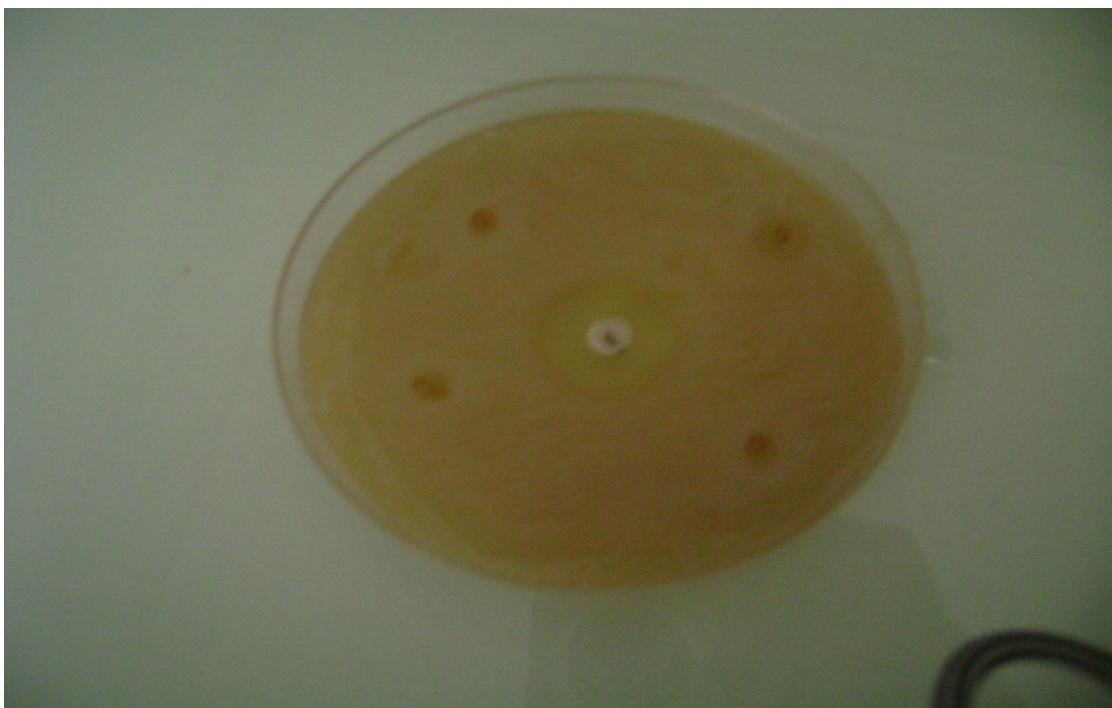
23	22.5	20	23.5	٤
23	23	20	23	٥
23	23	20	23.5	٦
23	23	20	23	٧
23	23.5	21	23.5	٨
24	23	20	23.5	٩
23	23	20	23.5	المتوسط الحسابي



الشكل (٣٢): التحسس الفطري للقرص العياري ولكريات النستاتين المشبكة بالايديراجيت بعد ٧٢ ساعة من الحضان

الجدول (٢٦): قيم أقطار الهالات للتحسس الفطري على المبيضات البيض (ملم) ولكريات النستاتين مع ال HPMC و PEI والقرص العياري بعد ١٢ ساعة من الحضان.

رقم التجربة	كرية النستاتين مع 0.2HPMC %	كرية النستاتين مع HPMC % 0.1	كرية النستاتين مع الـ 0.5 PEI %	كرية النستاتين مع الـ 1 PEI %	قرص النستاتين العياري
١	٠	٠	٠	0	٣
٢	٠	٠	٠	0	٣
٣	٠	٠	٠	0	٣
٤	٠	٠	0	0.5	٣
٥	٠	٠	0	0	٣
٦	٠	٠	0	0	3.5
٧	٠	٠	٠	0.5	3
٨	٠	٠	٠	0	3
٩	٠	٠	0	0	3.5
المتوسط	٠	٠	٠	0	3

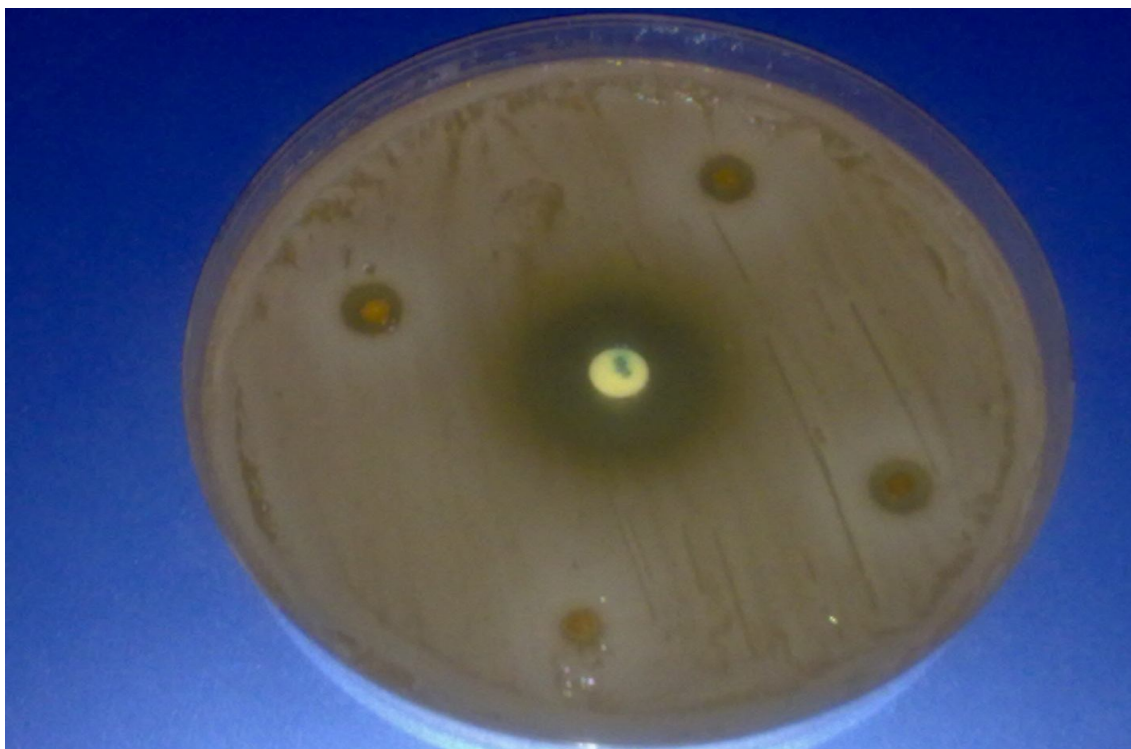


كل (٣٣): التحسس الفطري للقرص العياري ولكريات النيستاتين HPMC وPEI بعد

١٢ ساعة من الحضانة .

الجدول (٢٧): قيم قطر الهالات للتحسس الفطري على المبيضات البيض (ملم) لكريات النستاتين مع الـ HPMC و PEI والقرص العياري بعد ٢٤ ساعة من الحضان.

رقم التجربة	كريمة النستاتين HPMC % 0.02	كريمة النستاتين مع HPMC % 0.01	كريمة النستاتين PEI % 0.5	كريمة النستاتين PEI % ١	قرص النستاتين العياري
١	١	2	0.5	0	٢٠
٢	1	2	0.5	0	٢٠
٣	1	2	0.5	0	١٩
٤	1	2	0	0.5	٢٠
٥	1	2	0	0	٢٠
٦	1.5	2	0	0	٢٠
٧	1	2	0.5	0.5	٢٠
٨	1	2	0.5	0	٢٠
٩	1.5	2	0	0	١٩
المتوسط	1	2	0.5	0	٢٠

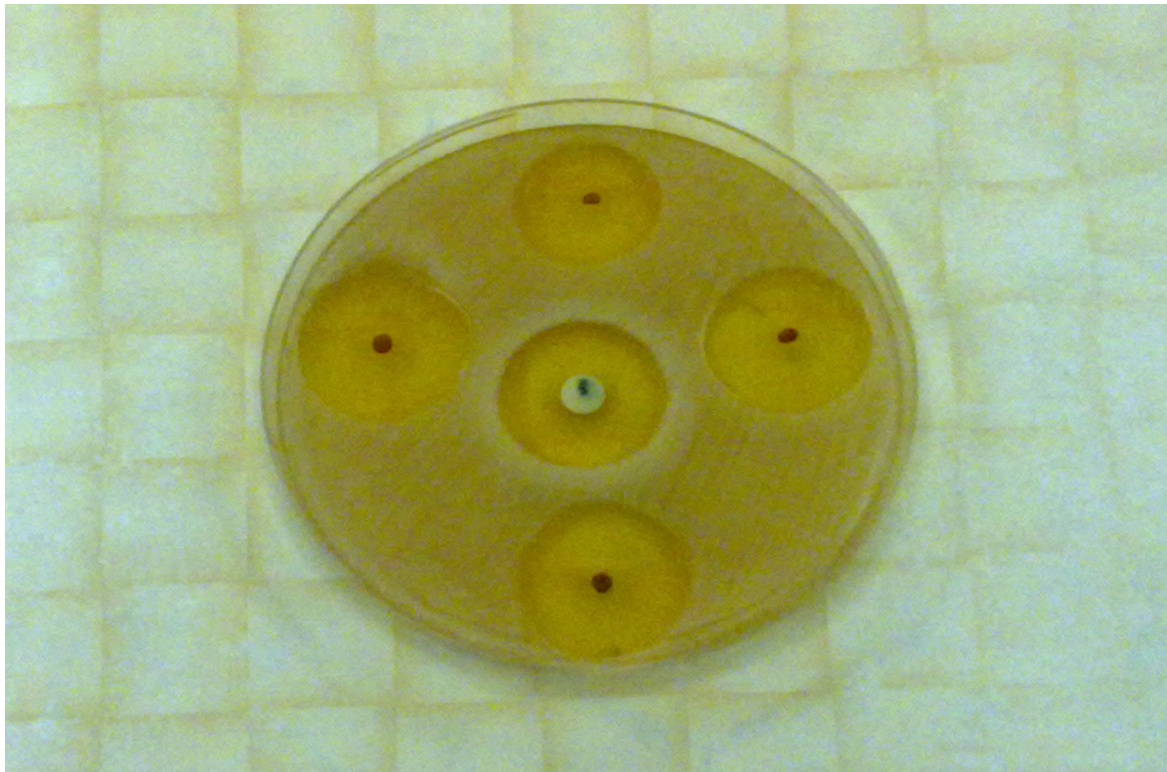


الشكل (٣٤): التحسس الفطري للقرص العياري ولكريات النيساتين المشبكة ب HPMC و pei بعد 24 ساعة من الحضان.

الجدول (٢٨): قيم قطر الهالات للتحسس الفطري على المبيضات البيض (ملم) لكريات النستاتين مع ال HPMC وال PEI و القرص العياري بعد ٣٦ ساعة من الحضان.

رقم التجربة	كريمة النستاتين مع ال HPMC % 0.02	كريمة النستاتين مع HPMC % 0.01	كريمة النستاتين مع ال PEI % 0.5	كريمة النستاتين مع PEI % 1	قرص النستاتين العياري
١	19	21	21	20	٢٢
٢	19	21	21.5	20	٢٢
٣	19	21	٢١	20	٢٣
٤	19	20	٢١	20	٢٢
٥	19	21.5	٢١	19	٢٢
٦	19	21	21	20	٢٣
٧	19	21	21	20	٢٢
٨	19	21	21	20.5	٢٢

٢٢	20	21	21	19	٩
٢٢	20	21	21	19	المتوسط الحسابي

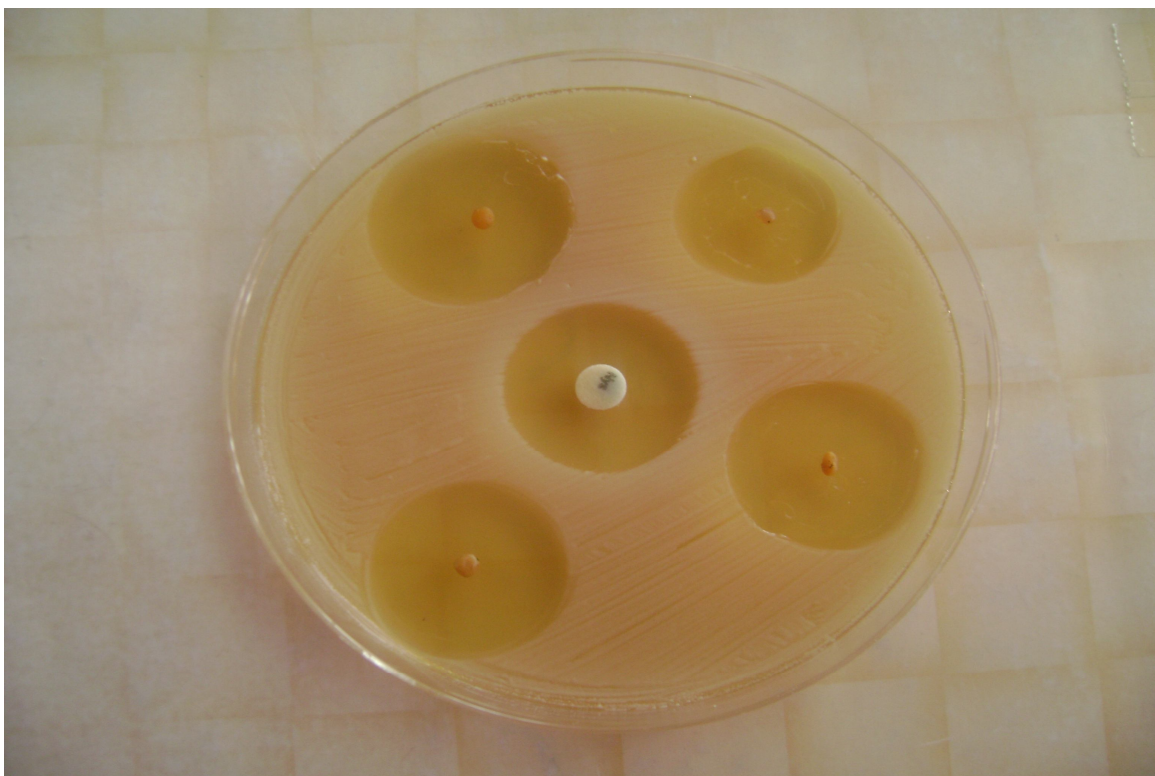


الشكل (٣٥): التحسس الفطري للقرص العياري ولكريات النستاتين المشبكة ب HPMC و PEI بعد 36 ساعة من الحضان.

الجدول ٢٩: قيم قطرالهالات للتحسس الفطري على المبيضات البيض (ملم) لكريات النستاتين مع HPMC وال PEI والقرص العياري بعد ٧٢ ساعة من الحضان.

رقم التجربة	كريمة النستاتين HPMC % 0.02	كريمة النستاتين HPMC % 0.01	كريمة النستاتين PEI %0.5	كريمة النستاتين PEI %١	قرص النستاتين العياري
١	20.5	24	24	22	23
٢	21	23	24	22	23
٣	21	24	24	22	23
٤	20.5	23.5	24	23	23
٥	20.5	24	24	23	23

٦	21	24	24	22	22
٧	21	24	24	22	23
٨	21	24	24	22	22
٩	21	24	24	22	23
المتوسط الحسابي	21	24	24	22	23



الشكل (36): التحسس الفطري للقرص العياري ولكريات النيساتين المشبكة ب HPMC وpei بعد 72 ساعة من الحضان.

المناقشة:

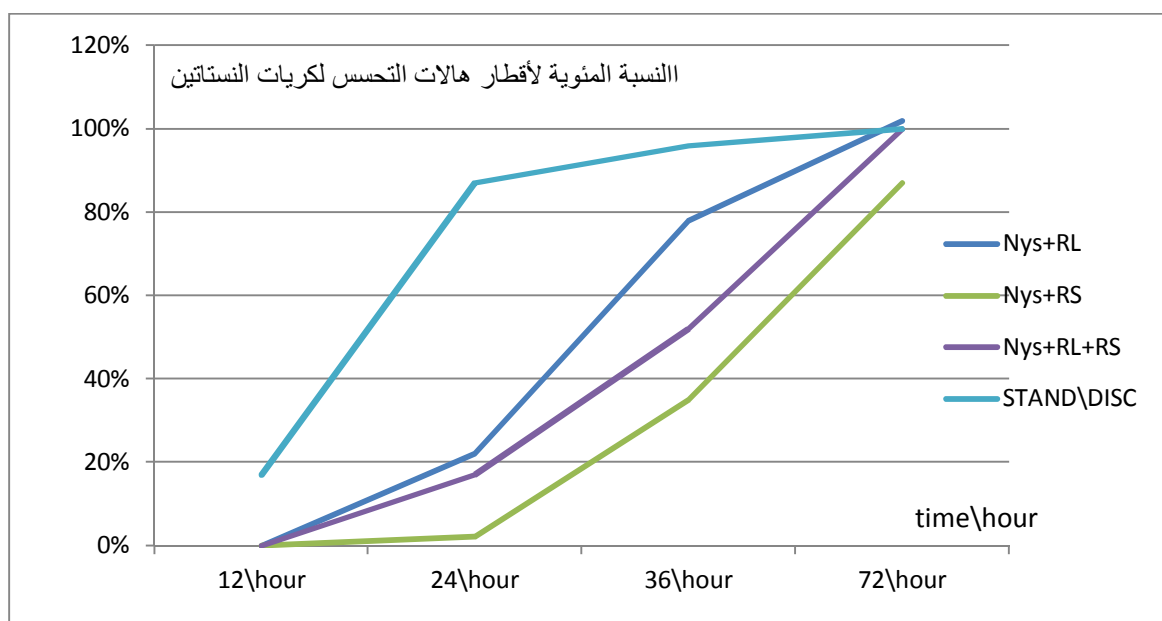
لمناقشة النتائج قمنا بتنظيم جداول تبين الفرق بين قيم التحسس للقرص العياري ولكريات المشبكة بالبلمرات المختلفة وذلك من أجل كل مدة من الحضان، وقد فُرض أن تحسس القرص بعد ٧٢ ساعة ١٠٠ % لكي نحسب الفروق كنسبة مئوية، وفيما يلي الجداول التي تلخص النتائج السابقة:

الجدول 30: تغيرات النسبة المئوية في أقطار الهالات لكريات النستاتين المشبكة بالايديراجيت بالنسبة للقرص العياري بدلالة مدة الحضان.

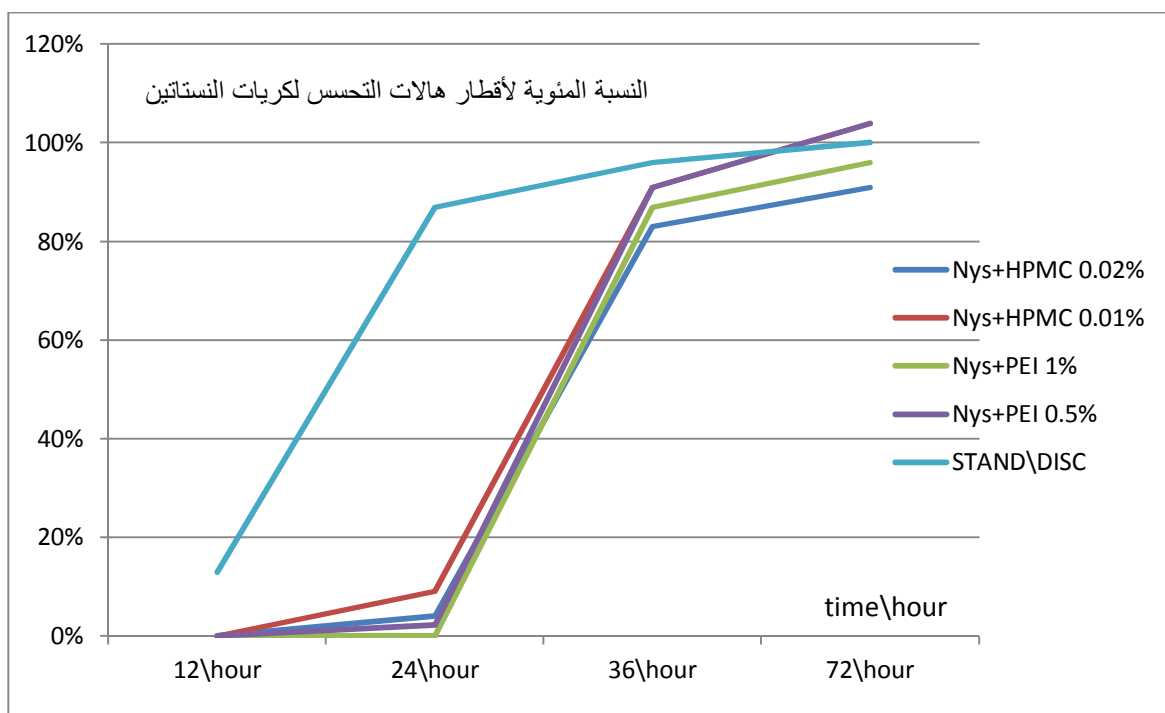
STAN\DISC	Nystatin+RL+RS	Nystatin+RS	Nystatin+RL	Time\hour
%١٧	%٠	%0	%0	12\hour
%٨٧	%١٧	%2.5	%2٢	24\hour
%٩٦	%٥٢	%3٥	%82	36\hour
%100	%100	%87	%102	72\hour

الجدول 31: تغيرات النسبة المئوية في أقطار الهالات لكريات النستاتين المشبكة HPMC,PEI بالنسبة للقرص العياري بدلالة مدة الحضان.

Stand\disc	Nyst+PEI %1	Nystn+PEI %0.5	Nyst+HPMC %0.01	NystHPMC %0.02	Time\hour
%١٣	%0	%0	%0	%0	12\hour
%٨٧	%0	%2.5	%٩	%٤	24\hour
%٩٦	%٨٧	%9١	%9١	%8٣	36\hour
%100	%96	%104	%104	%91	72\hour



الشكل (٣٧): تغيرات النسبة المئوية لأقطار هالات التحسس لكريات النستاتين مع الايدراجيت بالنسبة للقرص العياري بدلالة مدة الحضان.



الشكل (38): تغيرات النسبة المئوية لأقطار هالات التحسس لكريات النسنتين مع HPMC, PEI بالنسبة للقرص العياري بدلالة مدة الحضان.

مناقشة النتائج:

مما سبق نجد أنه لم يكن هناك فارق احصائي يعتد به بين البلمرات المختلفة وكلما ازدادت نسبة البلمر كلما تناقص التحرر للنسنتين، وأدى ذلك إلى بقاء النسنتين مدة أطول على المزرعة الفطرية بالمقارنة مع القرص العياري الذي أعطى تحرر سريع للنسنتين على المزرعة، على حين كان الفارق الاحصائي كبير بين الكريات المشبكة والقرص العياري، وبعد مرور أكثر من ٧٢ ساعة من الحضان بقيت الهالات واضحة حول الكريات بينما أخذت بالتراجع قليلاً حول القرص وقد يعزى ذلك إلى استمرار تحرر النسنتين من الكريات حتى بعد ٧٢ ساعة، بينما توقف التحرر من القرص وهذا يتوافق مع نتائج التحرر التي درست سابقاً (الانحلالية) حيث استطاع البكتين مع المشبكات الاحتفاظ بالمضاد الفطري مدة أطول من الأشكال التقليدية

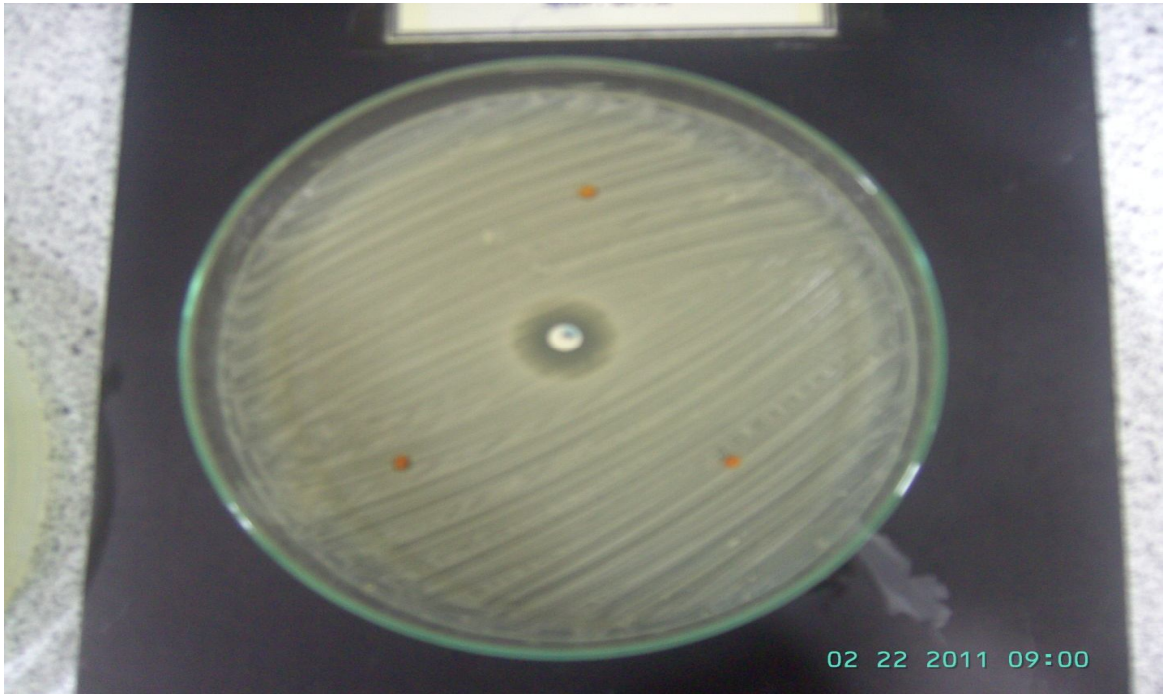
(القرص العياري) كما لوحظ بعد ٣٦ ساعة أن كريات البكتين قد انتجت وتحولت إلى هلام وكان هناك نوع من التشابك مع المبيضات البيض على المزرعة الفطرية ربما يفسر ذلك أن جدار الخلية الفطرية مكون أيضاً من البكتين كما ذكرنا سابقاً .

ثانياً:دراسة هالات الكيتوكونازول:

لقد تمت الدراسة على المزارع الفطرية بعد ١٢ و ٢٤ و ٣٦ و ٧٢ ساعة وحصلنا على الجداول وكانت النتائج والأشكال التالية :

الجدول 32: قيم قطر الهالات للتحسس الفطري على المبيضات البيض(ملم) لكريات الكيتوكونازول مع الايدراجيت والقرص العياري بعد ١٢ ساعة من الحضان.

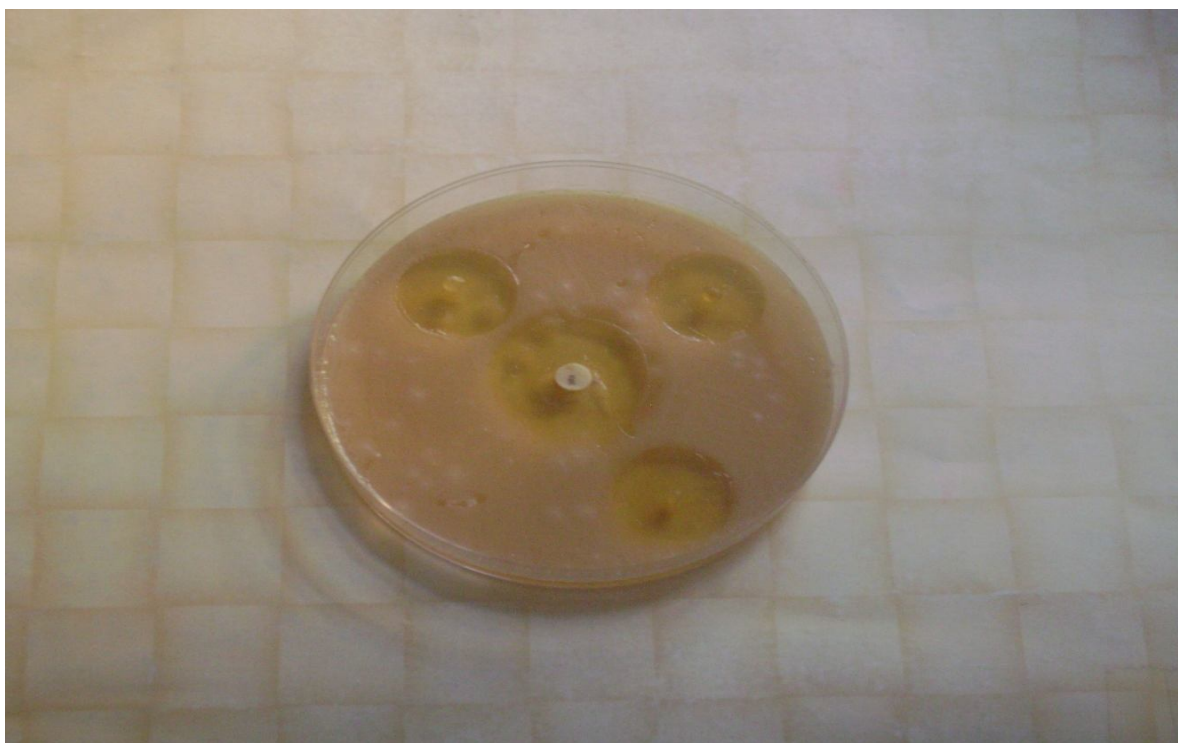
رقم التجربة	كريمة الكيتوكونازول مع الايدراجيت RL	كريمة الكيتوكونازول مع الايدراجيت RS	كريمة الكيتوكونازول مع الايدراجيت RS+RL	قرص الكيتوكونازول العياري
١	٠	٠	٠	٣
٢	٠	٠	٠	٣
٣	٠	٠	٠	٣
٤	٠	٠	٠	٣
٥	٠	٠	٠	٣
٦	٠	٠	٠	٣
٧	٠	٠	٠	3.5
٨	٠	٠	٠	3
٩	٠	٠	٠	3.5
المتوسط الحسابي	٠	٠	٠	3



الشكل (39): التحسس الفطري للقرص العياري ولكريات الكيتوكونازول المشبكة بالايديراجيت بعد ساعة من الحضان.

الجدول 33: قيم قطر الهالات للتحسس الفطري على المبيضات البيض (ملم) لكريات الكيتوكونازول مع الايديراجيت والقرص العياري بعد ٢٤ ساعة من الحضان.

رقم التجربة	كريمة الكيتوكونازول المشبكة بالايديراجيت RL	كريمة الكيتوكونازول المشبكة بالايديراجيت RS	كريمة الكيتوكونازول المشبكة بالايديراجيت RL+RS	القرص العياري للكيتوكونازول
١	23	18	٢٠	٢٩
٢	23	18	٢١	٢٩
٣	23	18	٢٠	٢٩
٤	23.5	18	٢٠	٢٨
٥	24	18	٢١	٢٩
٦	23.5	17.5	٢٠	٢٩
٧	23	18	٢١	٢٩
٨	23	17.5	٢٠	٢٨
٩	23	18.5	٢١	٢٩
المتوسط	23	18	20.5	٢٩

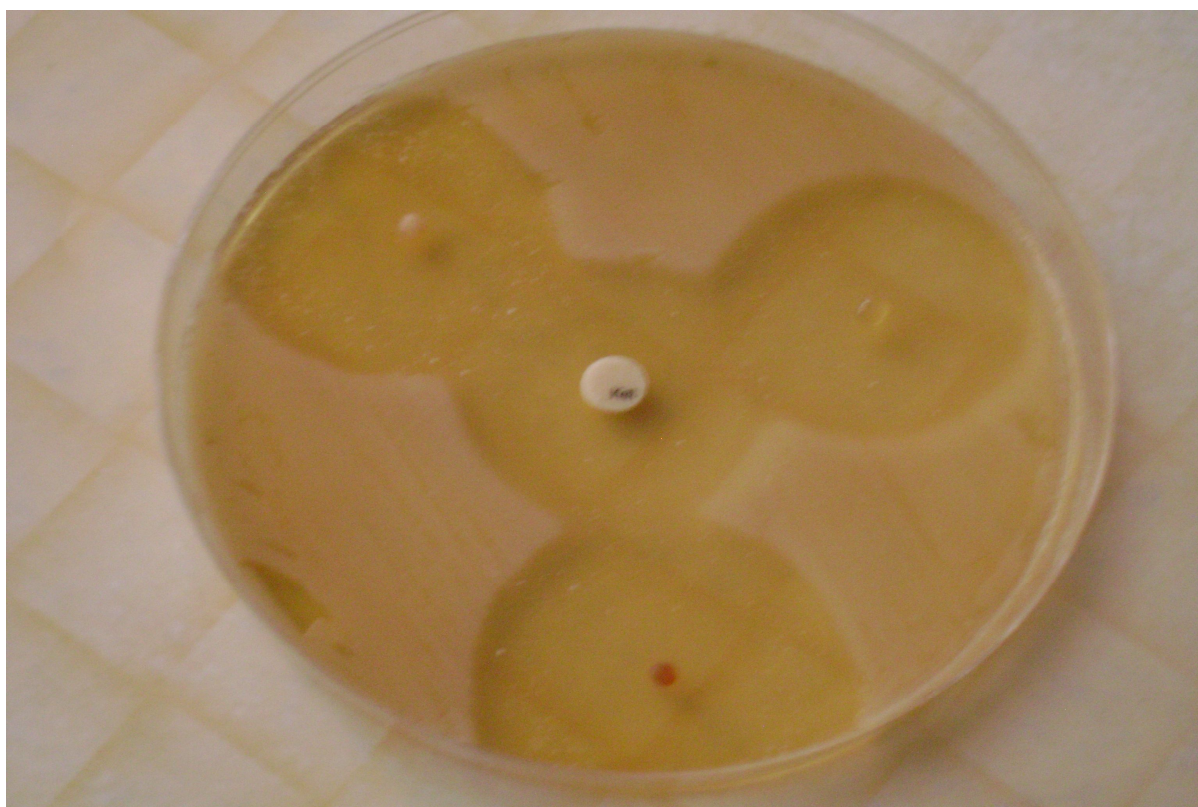


الشكل (40): التحسس الفطري للقرص العياري ولكريات الكيتوكونازول المشبكة بالايديراجيت بعد ٢٤ ساعة من الحضان

الجدول 34: : قيم قطر الهالات للتحسس الفطري على المبيضات البيضاء لكريات الكيتوكونازول مع الايديراجيت والقرص العياري بعد ٣٦ ساعة من الحضان.

رقم التجربة	كريمة الكيتوكونازول المشبكة بالايديراجيت RL	كريمة الكيتوكونازول المشبكة بالايديراجيت RS	كريمة الكيتوكونازول المشبكة بالايديراجيت RL+RS	القرص العياري للكيتوكونازول
١	34	31	33	34
٢	34	31	33	34
٣	34.5	32	34	35
٤	34.5	32	33	34.5
٥	34.5	31	34	35
٦	34	31	34	34
٧	34.5	32	33	34
٨	34.5	31	34	34
٩	34.5	32	33.5	34

34	33.5	31	34.5	المتوسط الحسابي
----	------	----	------	-----------------



الشكل (41): التحسس الفطري للقرص العياري ولكريات الكيتوكونازول المشبكة بالايديراجيت بعد 36 ساعة من الحضانة.

بعد ٧٢ ساعة لم يطرأ أي تغيير على قيم الأقطار لهالات التحسس لذلك لم يتم تنظيم جدول وكانت للمزرعة الفطرية ذات الشكل المذكور بعد ٣٦ ساعة .

الجدول 35: قيم أقطار الهالات للتحسس الفطري على المبيضات البيض (ملم) ولكريات الكيتوكونازول مع ال HPMC و PEI والقرص العياري بعد ١٢ ساعة من الحضانة.

رقم التجربة	كريمة الكيتوكونازول HPMC % 0.2	كريمة الكيتوكونازول HPMC % 0.1	كريمة الكيتوكونازول PEI % 0.5	كريمة الكيتوكونازول PEI % ١	القرص العياري
١	0	0.5	0	٠	٣
٢	0	0.5	0	0	٣
٣	0	0.5	0	0	٣
٤	0	0	0	0	٤
٥	0	0.5	0	0	٣

٣	0.5	0	0.5	0	٦
٣	0	0.5	0	0.5	٧
٣	0	0	0.5	0.5	٨
٤	0	0	0.5	0	٩
٣	0	0	0.5	0	المتوسط

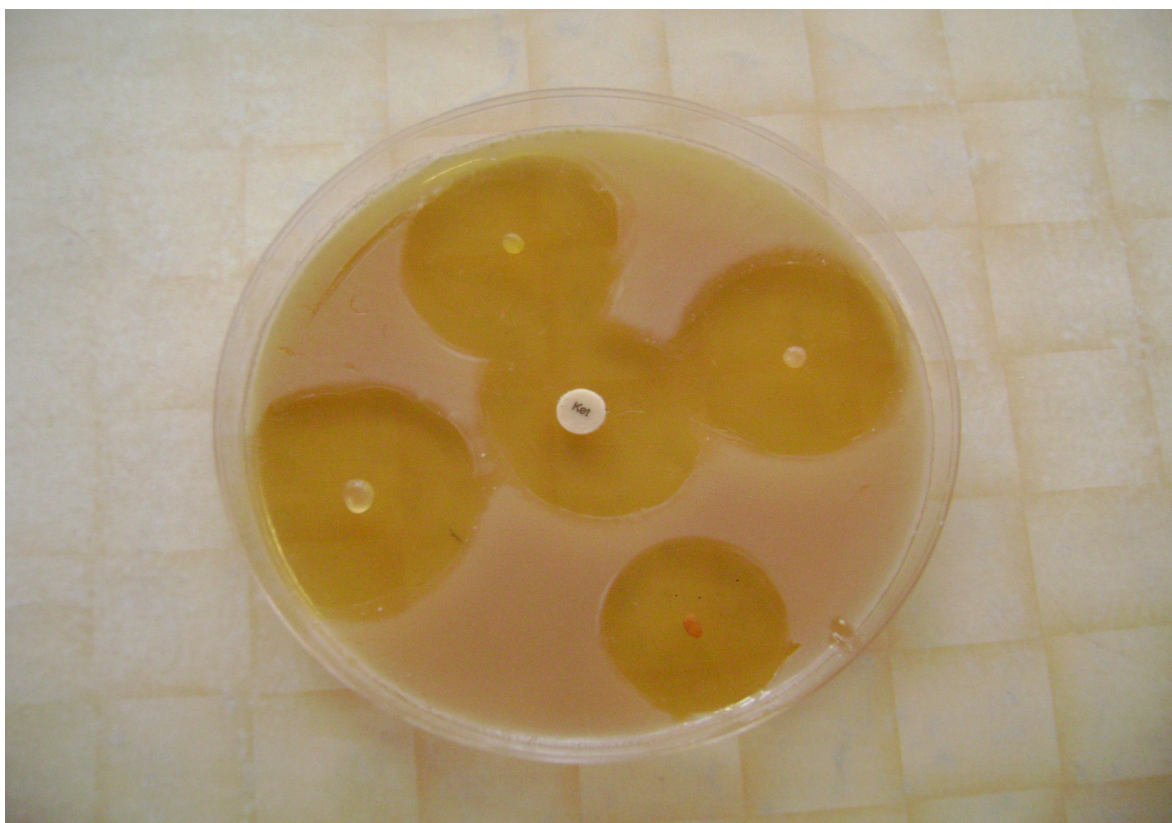


الشكل (42) التحسس الفطري للقرص العياري و لكريات الكيتوكونازول المشبعة HPMC PEI بعد ١٢ ساعة من الحضانة.

الجدول 36: قيم قطر الهالات للتحسس الفطري على المبيضات البيض (ملم) لكريات الكيتوكونازول مع ال HPMC و PEI والقرص العياري بعد ٢٤ ساعة من الحضانة .

رقم التجربة	كريمة الكيتوكونازول HPMC 0.02 %	كريمة الكيتوكونازول HPMC 0.01 %	كريمة الكيتوكونازول PEI 0.5 %	كريمة الكيتوكونازول PEI ١ %	القرص العياري
١	30	32	31	29	29
٢	30	32	31	29	30
٣	30	33	32	28	30
٤	31	32	31	29	30
٥	30	31	31	29	30

30.5	29	31.5	32	31	٦
30.5	28	32	32	31	٧
30	29	31.5	33	30	٨
29	29	31	32	30	٩
30	29	31	32	30	المتوسط

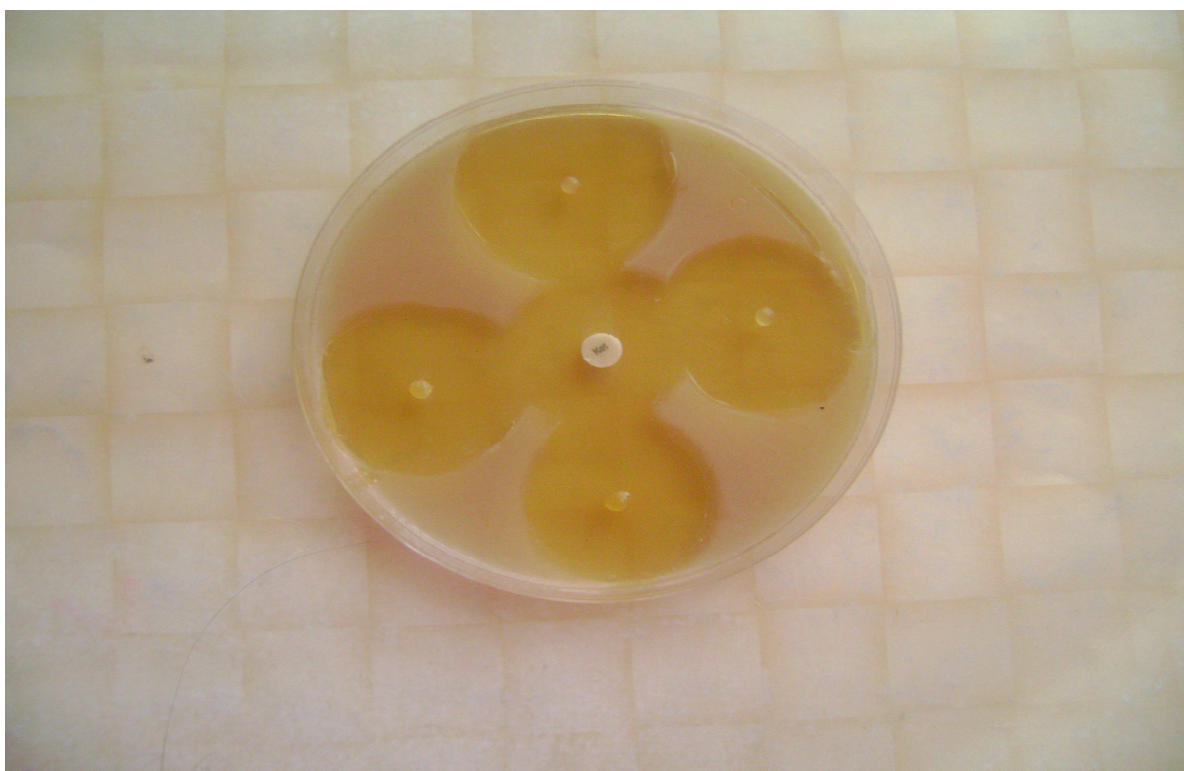


الشكل (٤٣): التحسس الفطري للقرص العياري ولكريات الكيتوكونازول المشبكة بالسيللوز والبولي ايتلين امين بعد ٢٤ ساعة من الحضان.

الجدول 37: قيم أقطار الهالات للتحسس الفطري على المبيضات البيض (ملم) لكريات الكيتوكونازول HPMC و PEI والقرص العياري بعد ٣٦ ساعة من الحضان.

رقم التجربة	كريمة الكيتوكونازول HPMC % 0.02	كريمة الكيتوكونازول 0.01 HPMC %	كريمة الكيتوكونازول PEI 0.5 %	كريمة الكيتوكونازول PEI ١ %	القرص العياري
١	35	37	٣٧	٣٤	35
٢	35	37	٣	٣٤	35

34	٣٤	٣٦	37	36	٣
35	٣٥	٣٧	37	35	٤
33	٣٤	٣٧	36	35	٥
35	٣٣	٣٦	37	36	٦
35	٣٤	٣٦	37	35	٧
34.5	٣٤	٣٧	37	35.5	٨
35	٣٤	٣٦	38	35.5	٩
35	٣٤	٣٦	37	35.5	المتوسط



الشكل (٤٤): التحسس الفطري للقرص العياري ولكريات الكيتوكونازول المشبكة PEI, HPMC بعد ٣٦ ساعة من الحضانة.

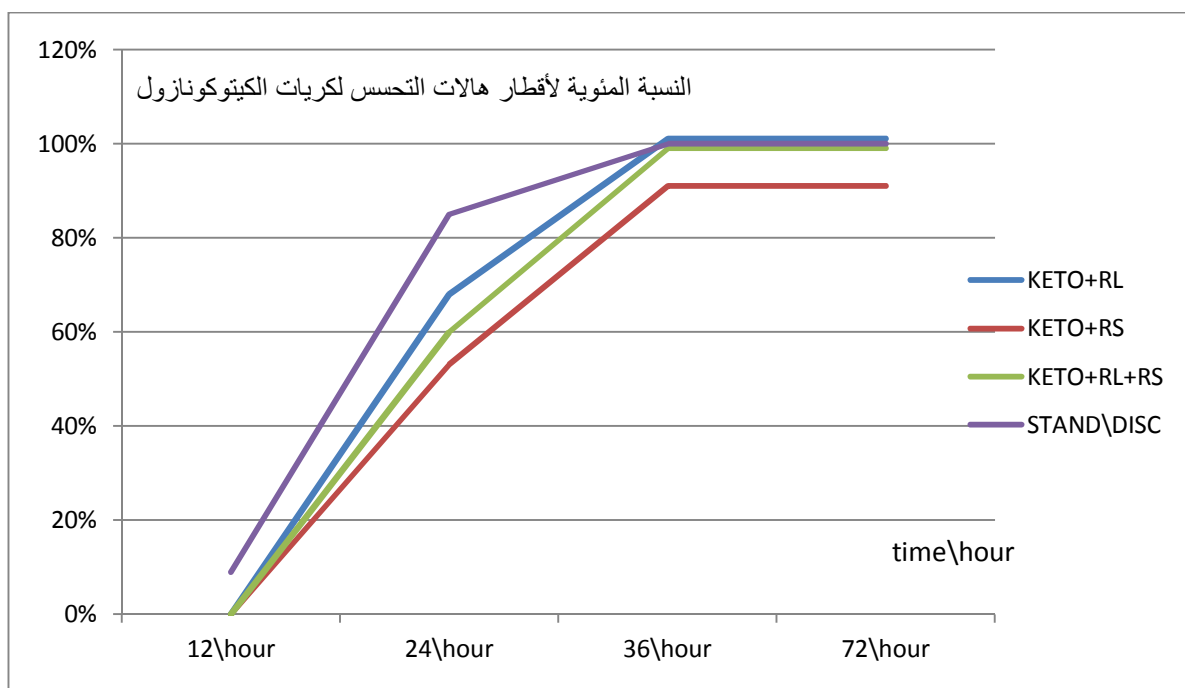
مناقشة نتائج الكيتوكونازول على المزارع الفطرية:

الجدول ٣٨: تغيرات النسبة المئوية في أقطار الهالات لكريات الكيتوكونازول المشبكة بالايديراجيت بالنسبة للقرص العياري بدلالة مدة الحضانة.

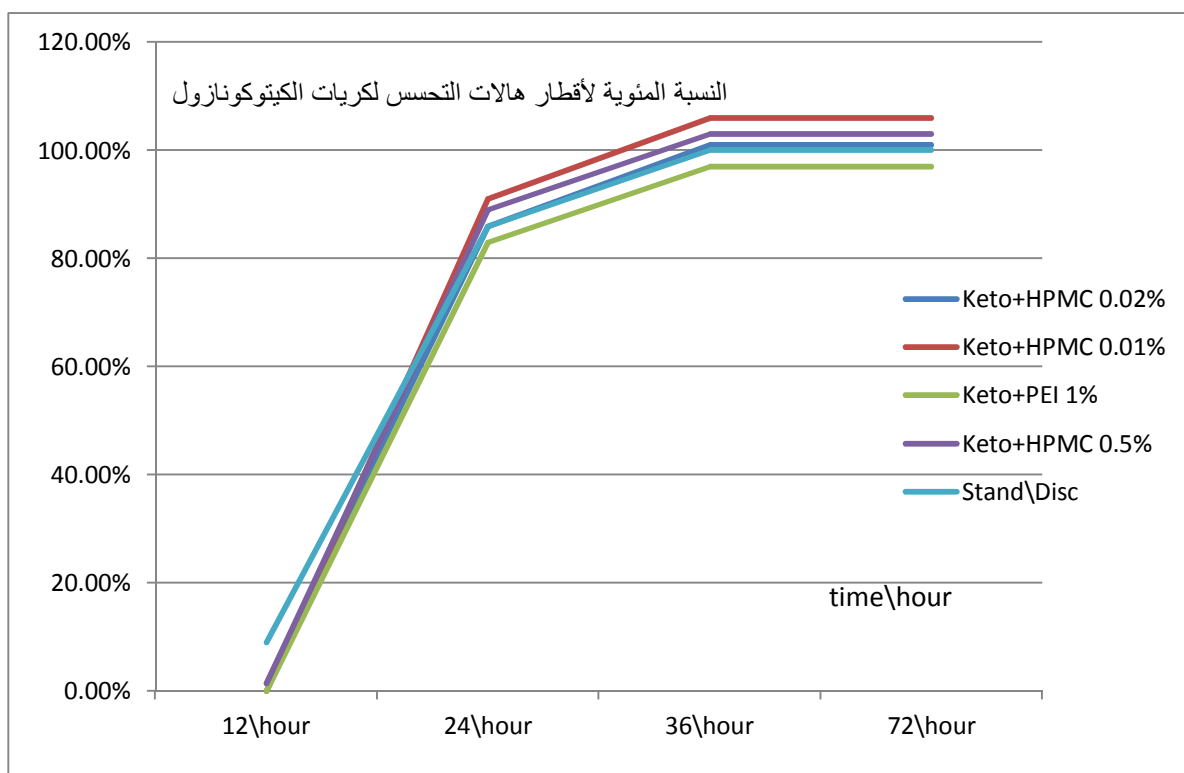
Stander\Disc	Keto+RL+RS	Keto+RS	Keto+RL	Time\hour
%٩	%0	%0	%0	12\hour
%٨٥	%٦٠	%٥٣	%٦٨	24\hour
%100	%9٩	%91	%101	36\hour
%100	%9٩	%91	%101	72\hour

الجدول ٣٩: تغيرات النسبة المئوية في أقطار الهالات لكريات الكيتوكونازول المشبعة
HPMC,PEI بالنسبة للقرص العياري بدلالة مدة الحضان.

Stand\disc	Keto+PEI %1	Keto+PEI %0.5	Keto+HPMC %0.01	Keto+HPMC %0.02	time\hou
%٩	%٠	%1.4	%0	%1.4	12\hour
%٨٦	%٨٣	%89	%91	%86	24\hour
%100	%٩٧	%103	%106	%101	36\hour
%100	%٩٧	%103	%106	%101	72\hour



الشكل (45): تغيرات النسبة المئوية لأقطار هالات التحسس لكريات الكيتوكونازول مع الايدراجيت بالنسبة للقرص العياري بدلالة مدة الحضان.



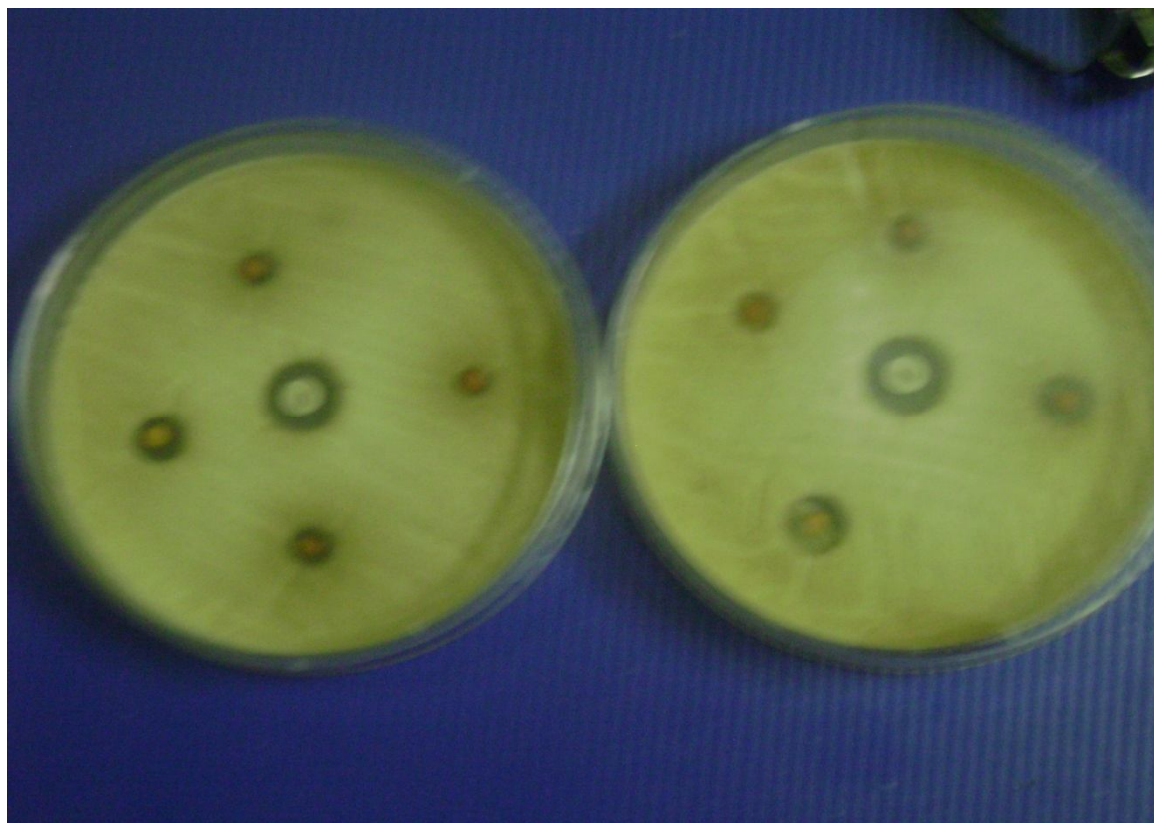
الشكل (46): تغيرات النسبة المئوية لأقطار هالات التحسس لكريات الكيتوكونازول مع HPMC, PEI بالنسبة للقرص العياري بدلالة مدة الحضان.

مناقشة الاشكال :

مع الكيتوكونازول كان الفارق الاحصائي كبير بين الكريات المشبكة بالايديراجيت وبين القرص العياري في حين لم يكن هناك فارق يعتد به بين الكريات المشبكة بPEI, HPMC وبين القرص العياري وبشكل أساسي مع التراكيز الأدنى حيث اقتربت كثيراً من تحسس القرص وخاصة بعد ٣٦ ساعة من الحضان. وباستمرار الحضان بعد ٧٢ ساعة وجدنا استمرار نمو قطر الهالة لكريه PEI بشكل متزايد وأقل مع كرية HPMC في حين كان هناك تراجع قليل في هالة القرص أما الكرية غير المشبكة فقد استطاعت الاحتفاظ أكثر بالمادة الدوائية وهذا يؤكد قدرة البكتين على إطالة تحرر المادة.

وأخيراً نستنتج أن كريات الكيتوكونازول المشبكة مع الايديراجيت RL قد أعطت أفضل تحسس بالمقارنة مع باقي البلمرات ،كما لوحظ الانتباج في الكريات بعد ٧٢ ساعة ولم يبق منها بعد اسبوع إلا طبقة من الهلام على سطح المزرعة الفطرية.

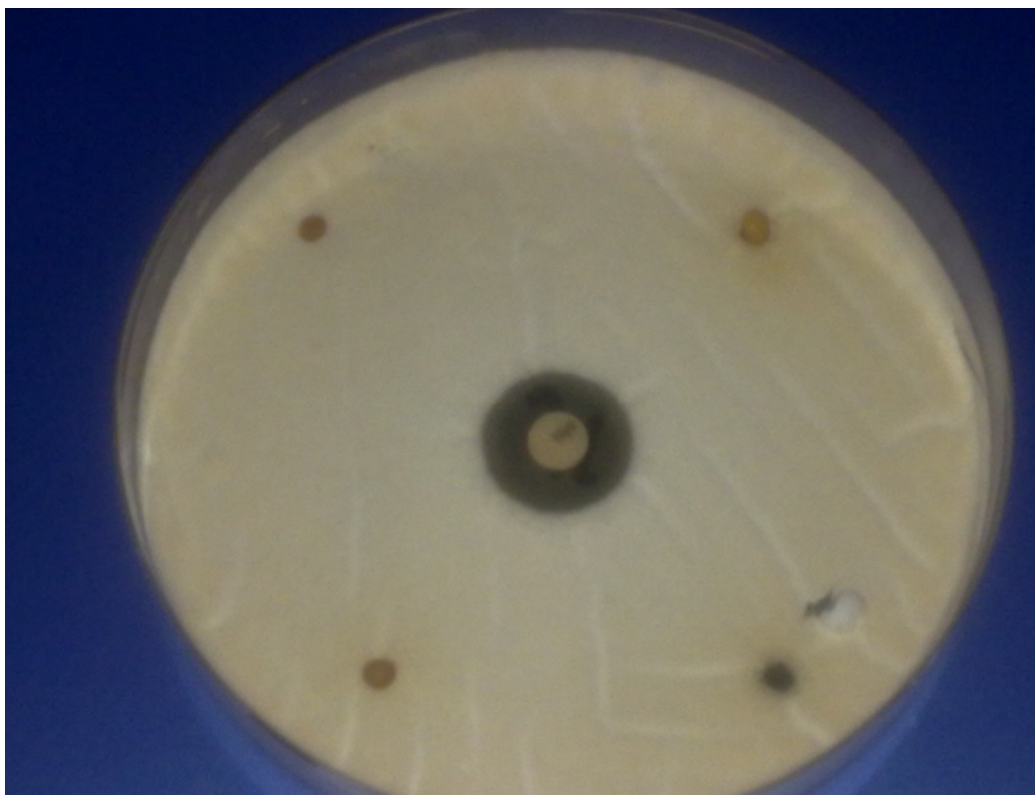
وقد تمت الدراسة على عينات عديدة من المبيضات البيض أخذت من أشخاص مختلفين وفيمايلي الأشكال التالية:



الشكل (47): أقطار حالات التحسس الفطري لكريات الكيتوكونازول المشبكة والقرص العياري بعد ١٦ و ٢٤ ساعة من الحضان.



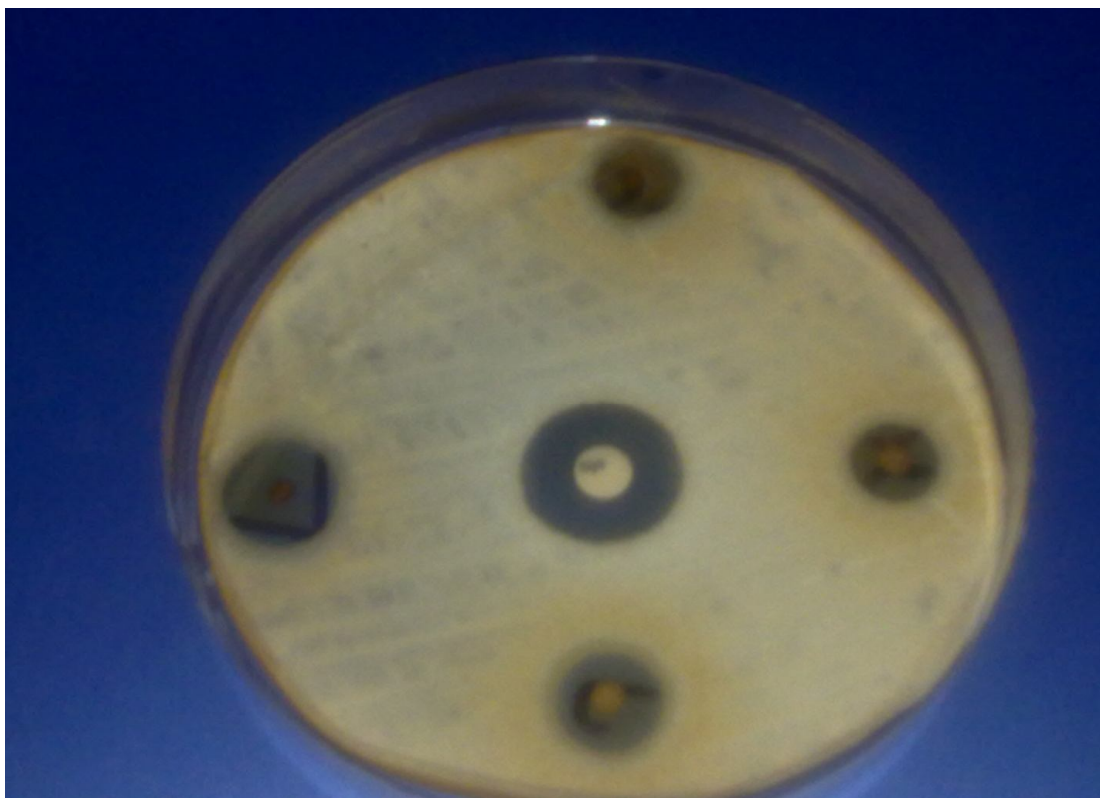
الشكل (48): أقطار حالات التحسس الفطري لكريات الكيتوكونازول المشبكة والقرص العياري بعد ٧٢ ساعة من الحضان.



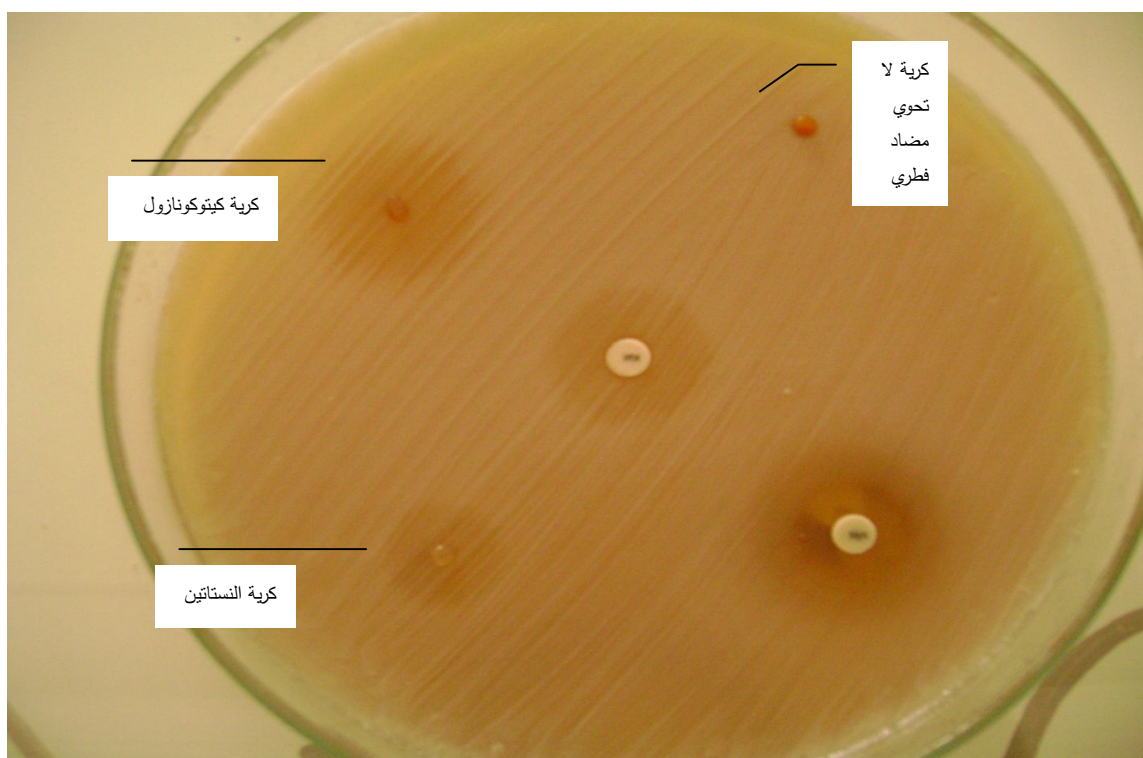
الشكل (٤٧): أقطار حالات التحسس الفطري لكريات النستاتين المشبكة والقرص العياري بعد ٦ ساعة من الحضان.



الشكل (49): أقطار هالات التحسس الفطري لكريات النستاتين المشبكة والقرص العياري بعد ٢٤ ساعة من الحضان.



الشكل (50): أقطار هالات التحسس الفطري لكريات النستاتين المشبكة والقرص العياري بعد ٣٦ ساعة من الحضان.



الشكل (51): مقارنة حالات التحسس الفطري لكريات النسنتاتين والكيتوكونازول المشبكة والأقراص العيارية لكل من النسنتاتين والكيتوكونازول بعد ١٦ ساعة من الحضان.

سادساً -الخلاصة:

- ١- بالمقارنة بين اختبارات الانحلالية في الزجاج والتحرر على المزارع الفطرية نجد أن هناك تطابق في النتائج حيث استطاعت البلمرات المستخدمة مع البكتين الاحتفاظ بالمادة المضادة للفطور لزمان أطول بالمقارنة مع الأقراص الجاهزة ذات التحرر السريع ، على المزارع الفطرية، وكلما زادت نسبة البلمر طالت مدة احتجاز الدواء، وأبدى الايدراجيت RL البكتين على المزارع الفطرية خاصةً مع الكيتوكونازول فعّالية مميزة جداً في تأخير تحرر المضاد الفطري.
- ٢- كانت قدرة الكيتوكونازول في القضاء على هذا النمط من المبيضات البيض أكثر من النسنتاتين بمقارنة أقطار هالات عدم النمو حول الأقراص العيارية وأثبت هذا أكثر في الأشكال الأخيرة فقد كان القضاء على المزرعة الفطرية ٨٦% بعد مرور ٣٦ ساعة.
- ٣- إن تشبيك الكيتوكونازول مع كريات البكتين والبلمرات المدروسة بجرعات صغيرةً كن من الحصول على فعّالية كبيرة للكيتوكونازول.

٤- مع النسنتاتين يمكن الاستفادة من جميع البلمرات المدروسة ولكن كان أفضلها الايدراجيت RL أما البلمرات HPMC, PEI فيفضل استخدام التراكيز القليلة منها.

سابعا-التوصيات:

- ١- استخدام أنواع أخرى من مضادات الفطور الآزولية ومقارنتها مع النتائج لدعم الدراسة.
- ٢- استخدام صيغة هذه الكريات في تحضير أقراص ورقية تعطي تحرطوّل إن أمكن لاستخدامها على المزارع الفطرية.
- ٣- مشاركة البكتين مع البلمرات المدروسة في الحصول على أشكال صيدلانية ذات تحرطوّل وتطبيقها موضعياً بشكل مباشر على الآفة الفطرية .
- ٤- إن دخول الغلوكان وعديدات السكار في تركيب جدار الخلية الفطرية قد يؤدي إلى تحرر سريع وموضعي للدواء خاصة للكينتوكونازول الذي يعد من المركبات الآزولية الفعالة في علاج المبيضات البيض وبذلك يتم التغلب على مشكلة الاستقلاب الكبدي التي قد تكون مسؤولة عن ضعف العلاقة بين الاختبارات في الزجاج والنتائج السريرية.
- ٤- تطبيق هذه الدراسة في الحيوية ومقارنتها مع الدراسة في الزجاج.

ثامناً-المراجع References

- 1-Ali Z.M; Farshad F. and Majid Z.
In vitro synergism betweenmiconazole and griseofulvin against candida species.
Pak J Med Sci, 22(4): 454-456, 2006.
- 2-Peh K.K. and Wong CF.
Polymeric films as vehicles for buccal delivery:swelling, mechanical, and bioadhesive properties.
J PharmPharmaceut Sci, 2: 53-61, 1999.
- 3-Khanna R; Agarwal SP. and Ahuja A.
Mucoadhesive buccal drugdelivery: a potential alternative to conventional therapy.
Ind J Pharm Sci, 60: 1-11, 1998.
- 4-Martindale.
Thirty-fourth edition, The Complete Drug Reference.
Edited by-Sean C, Sweetman. Pharmaceutical press London, 332, 2005.
- 5-Physician's Desk Reference
56 edition, published by Medical Economics Company.
Inc at Montvale, 2639, 2002.
- 6-Li H; Luo R. and Lam K.Y.
Modeling of environmentally sensitive hydrogels for drug delivery: An overview and recent developments.

- Front. Drug Des. Discov*, 2: 295-331, 2006.
- 7-Van Tomme S.R; Storm G. and Hennink W.E.
In situ gelling hydrogels for pharmaceutical and biomedical applications.
Int. J. Pharm, 355: 1-18, 2008.
- 8-Barbucci R.
Hydrogels: Biological properties and applications.
Springer, Milan, 2009.
- 9-Lin C.C. and Metters A.T.
Hydrogels in controlled release formulations: Network design and mathematical modeling.
Adv. Drug Deliv. Rev, 58: 1379-1408, 2006.
- 10-Bajpai A.K. *et al.*
Responsive polymers in controlled drug delivery.
Progr. Polym. Sci, 33:1088-1118, 2008.
- 11-Costa P. and Sousa Lobo J.M.
Modeling and comparison of dissolution profiles.
Eur. J. Pharm. Sci, 13: 123-133, 2001.
- 12-Zarzycki R; Rogacki G. and Modrzejewska Z.
Modeling of drug release from thermosensitive chitosan hydrogels.
J. Control Release, in press.
- 13-Gopferich A.
Polymer degradation and erosion: Mechanisms and applications.
Eur J Pharm Biopharm, 42: 1-11, 1996.
- 14-Grassi M. and Grassi G.
Mathematical modelling and controlled drug delivery: Matrix systems.
Curr. Drug Deliv, 2: 97-116, 2005.
- 15-Berger J. *et al.*
Structure and interactions in covalently and ionically crosslinked chitosan hydrogels for biomedical applications.
Eur J Pharm Biopharm, 57: 19-34, 2004.
- 16- Royl S; Pal K; Anis A; Pramanik K. and Prabhakar B.
Polymers in Mucoadhesive Drug Delivery System: A Brief Note
- 17-Sinha V.R. and Kumria R.
Microbially triggered drug delivery to the colon.
Eur J Pharm Sci, 18: 3-18, 2003.
- 18-Chourasia M.K. and Jain S.K.
Polysaccharides for colon targeted drug delivery.
Drug Deliv, 11: 129-148, 2004.
- 19-Liu L; Fishman M.L; Kost J. and Hicks K.B.
Pectin based systems for colon specific drug delivery via oral route.
Biomaterials, 24: 3333-3343, 2003.
- 20-Chourasia M.K. and Jain S.K.
Pharmaceutical approaches to colon targeted drug delivery systems.
J Pharm Pharm Sci, 6: 33-66, 2003.

- 21-Yang L; Chu J.S; Fix J.A.
Colon-specific drug delivery: new approaches and in vitro/in vivo evaluation.
Int J Pharm, 235:1-15, 2002.
- 22-Lamprecht A; Ubrich N; Yamamoto H; Scaffier U; Takeuchi H; Maincent P;
Kawashima Y.and Lehr C-M.
Biodegradable nanoparticles for targeted drug delivery in treatment of inflammatory
bowel disease.
J P E T, 299: 775-781, 2001.
- 23-Park CR. and Munday DL.
Evaluation of selected polysaccharide excipients in bucco-adhesive tablets for sustained
release of nicotine.
Drug Develop Ind Pharm, 30: 609-17, 2004.
- 24-Vyas SP. and Khar RK.
Controlled Drug Delivery: Concepts and Advances.
1st ed. vallabh prakashan, 156-189, 2002.
- 25-Shargel L. and Yu ABC.
Modified release drug products. In: Applied Biopharmaceutics and Pharmacokinetics.
4th ed. McGraw Hill: 169-171, 1999.
- 26-Ratner BD. and Kwok C.
Characterization of delivery systems, surface analysis and controlled release systems.
In: Encyclopaedia of Controlled Drug Delivery, Vol-I. Published by John Wiley & sons,
349-362, 1999.
- 27-Nandita GD. and Sudip KD.
Controlled-release of oral dosage forms, Formulation, Fill and Finish: 10-16, 2003.
- 28-Martini L; Close M. and Gravell K.
Use of a hydrophobic matrix for the sustained release of a highly water soluble drug.
[*Drug Dev Ind Pharm*](#), 26(1): 79-83, 2000.
- 29-Borgquist P; Korner A. and Larsson A.
A model for the drug release from a polymeric matrix tablets-effect of swelling and
dissolution.
J Controlled Release, 113: 216-225, 2006.
- 30-Gren T; Bjerre C. and Camber O.
In vitro drug release from porous cellulose matrices.
Int J Pharm, 141: 53-62, 1996.
- 31-Munday DC. and Cox PJ.
Compressed xanthan and karaya gum matrices: hydration, erosion and drug release
mechanisms.
Int J Pharm, 203: 179-192, 2000.
- 32-Reja M; Quadir MA. and Haider SS.
Comparative evaluation of plastic, hydrophobic and hydrophilic polymers as matrices
for controlled-release drug delivery.
J Pharm Sci, 692: 274-291, 2003.
- 33-Siepmann J. and Peppas NA.

- HPMC matrices for controlled drug delivery: new model combining diffusion, swelling and dissolution mechanisms and predicting the release kinetics.
Pharm Research, 16: 1748-1756, 2000.
- 34-Horvath S; Julien JS. and Lapeyre F.
Influence of drug solubility in the formulation of hydrophilic matrices.
Drug Dev Ind Pharm, 15(14-16): 2197-2212, 1989.
- 35-Renolds TD. and Tajeer J.
Polymer erosion and drug release characterization of HPMC matrices.
Pharm Research, 11: 1115-1119, 1991.
- 36-Cheong LWS; Hang PWS. and Wong LF.
Relationship between polymer viscosity and drug release from a matrix system.
Pharm Research, 9(11): 1510-1514, 1992.
- 37-Bonferoni MC; Caramella C. and Sangalli ME.
Rheological behaviour of hydrophilic polymers and drug release from erodible matrices.
J Controlled Release, 18: 205-212, 1992.
- 38-Hogan JE.
Hydroxypropyl methylcellulose sustained release technology.
Drug Dev Ind Pharm, 15(6-7): 975-999, 1989.
- 39-Van der Horst CM; Saag MS; Cloud GA. *et al.*
Treatment of cryptococcal meningitis associated with the acquired immunodeficiency syndrome.
N Engl J Med, 337: 15-21, 1997.
- 40-Grant SM. and Clissold SP.
Fluconazole: a review of its pharmacodynamic and pharmacokinetic properties, and therapeutic potential in superficial and systemic mycoses.
Drugs, 39: 877-916, 1990.
- 41-Goa KL. and Barradell LB.
Fluconazole: an update of its pharmacodynamic and pharmacokinetic properties and therapeutic use in major superficial and systemic mycoses in immunocompromised patients.
Drugs, 50: 658-90, 1990.
- 42-Grant SM. and Clissold SP.
Itraconazole: a review of its pharmacodynamic and pharmacokinetic properties, and therapeutic use in superficial and systemic mycoses.
Drugs, 37: 310-44, 1989.
- 43-Albengres E; Louet H. and Tillement JP.
Drug interactions of systemic antifungal agents.
Drug Safety, 18: 83-97, 1998.
- 44-National Committee for Clinical Laboratory Standards.
Reference method for broth dilution antifungal susceptibility testing of yeasts; approved standard. document M27-A. Wayne, PA: National Committee for Clinical Laboratory Standards, 1997.
- 45-Rex JH; Pfaller MA. and Galgiani JN.

- Subcommittee on Antifungal Susceptibility Testing of the National Committee for Clinical Laboratory Standards. Development of interpretative breakpoints for antifungal susceptibility testing: conceptual framework and analysis of in vitro–in vivo correlation data for fluconazole, itraconazole, and *Candida* infections.
Clin Infect Dis, 24: 235-47, 1997.
- 46-Hoesley C. and Dismukes WE.
Overview of oral azole drugs as systemic antifungal therapy.
Semin Resp Crit Care Med, 18: 301-9, 1997.
- 47-Hoesley C. and Dismukes WE.
Overview of oral azole drugs as systemic antifungal therapy.
Semin Resp Crit Care Med, 18: 301-9, 1997.
- 48-Becker J.M; Kauffman S.J; Hauser M; Huang L; Lin M; Sillaots S; Jiang B; Xu D. and Roemer T.
Pathway analysis of *Candida albicans* survival and virulence determinants in a murine infection model.
Proc. Natl. Acad. Sci. USA 107: 22044-22049, 2010.
- 49-Martel C.M; Parker J.E; Bader O; Weig M; Gross U; Warrilow A.G.S; Rolley N; Kelly D.E. and Kelly S.L.
Identification and Characterization of Four Azole-Resistant *erg3* Mutants of *Candida albicans*. *Antimicrob. Agents Chemother.* 54: 4527-4533, 2010.
- 50-Martel C.M; Parker J.E; Bader O; Weig M; Gross U; Warrilow A.G.S; Kelly D.E. and Kelly S.L.
A Clinical Isolate of *Candida albicans* with Mutations in *ERG11* (Encoding Sterol 14 α -Demethylase) and *ERG5* (Encoding C22 Desaturase) Is Cross Resistant to Azoles and Amphotericin B. *Antimicrob. Agents Chemother.* 54: 3578-3583, 2010.
- 51-Cowen L.E. and Steinbach W.J.
Stress, Drugs, and Evolution: the Role of Cellular Signaling in Fungal Drug Resistance. *Eukaryot Cell* 7: 747-764, 2008.
- 52-Cheng S; Clancy C.J; Nguyen K.T; Clapp W. and Nguyen M.H.
A *Candida albicans* Petite Mutant Strain with Uncoupled Oxidative Phosphorylation Overexpresses *MDR1* and Has Diminished Susceptibility to Fluconazole and Voriconazole.
Antimicrob. Agents Chemother. 51: 1855-1858, 2007.
- 53-Jones JM.
Laboratory diagnosis of invasive candidiasis.
Clin Microbiol Rev, 3: 32-45, 1990.
- 54-Naeger-Murphy N. and Pile JC.
Clinical Indications for Newer Antifungal Agents.
J Hosp Med, 4(2): 102, 2009.
- 55-Zumbuehl A; Ferreira L; Kuhn D; Astashkina A; Long L. and Yeo Y.
Antifungal hydrogels.
P Natl Acad Sci USA, 104(32): 12994-12998, 2007.

- 56-Pappas PG; Kauffman CA; Andes D; Benjamin DK; Calandra TF. and Edwards JE.
Clinical practice guidelines for the management of candidiasis: 2009 update by the Infectious Diseases Society of America.
Clin Infect Dis, 48(5): 503-535, 2009.
- 57-Shkurupy VA; Selyatitskaya VG; Tsyrendorzhiev DD; Pal'chikova NA; Kurilin VV. and Travin MA.
Effects of modified amphotericin in experimental systemic candidiasis.
Bull Exp Biol Med, 143(4): 392-394, 2007.
- 58-Kauffman CA.
New antifungal agents.
Semin Respir Crit Care Med, 25: 233-239, 2004.
- 59-Sheehan DJ; Hitchcock CA. and Sibley CM.
Current and emerging azole antifungal agents.
Clin Microbiol Rev, 12: 40-79, 1999.
- 60-Baddeley JW. and Pappas PG.
Antifungal combination therapy.
Drugs, 65: 1461-1480, 2005.
- 61-Meletiadis J; Petraitis V. and Petraitiene R.
Triazole-polyene antagonism in experimental invasive pulmonary aspergillosis: in vitro and in vivo correlation.
J Infect Dis, 194: 1008-1018, 2006.
- 62-Baillie GS. and Doublas LJ.
Matrix polymers of *Candida* biofilms and their possible role in biofilm resistance to antifungal agents.
Journal of Antimicrobial Chemotherapy, 46: 397-403, 2000.
- 63-Hooshdaran M Z. *et al*.
Proteomic analysis of azole resistance in *Candida albicans* clinical isolates.
Antimicrobial Agents and Chemotherapy, 48(7): 2733-2735, 2004.
- 64-DiGirolamo JA; Li X-C; Jacob MR; Clark AM. and Ferreira D.
Reversal of fluconazole resistance by sulfated sterols from the marine sponge, *Topsentia* sp.
Journal of Natural Products, 72: 1524-1528, 2009.
- 65-Kwong A.K; Chore S; Sum A.M. and Sefton M.V.
J. Controlled Release, 4: 47-62, 10986.
- 66-Kassab R; Parrot-Lopez H; Fessi H; Menaucourt J; Bonaly R; Coulon J. and Bioorg.
Med. Chem, 10: 1767-1775, 2002.
- 67-Sinko P.J.
Micromeritics, in: Martin's Physical Pharmacy and Pharmaceutical Sciences, 5th ed; Lippincott Williams & Wilkins: 533-560. Indian edition, 2006.
- 68- Yadav V.B. and Yadav A.V.
Effect of Different Stabilizers and Polymers on Spherical Agglomerates of Gresiofulvine by Emulsion Solvent Diffusion (ESD) System.
International Journal of PharmTech Research, 1(2): 149-150, 2009.

- 69-Jung-Hwan Park, Mark G. Allen and Mark R. Prausnitz
Polymer Microneedles for Controlled-Release Drug Delivery.
- 70-Bazigha K. Abdul Rasool, Eman F. Abu-Gharbieh, Renata A. Awni and Alaa A. Abdul Rasool.
In Vitro Release Study of Nystatin from Chitosan Buccal Gel
Jordan Journal of Pharmaceutical Sciences, 3, 1, 2010
- 71-Quiñones D. et al.
Formulation and characterization of nystatin gel.
PRHSJ, 27(1), 2008.
- 72-Sangay BDJ; Amol P; Krishna P. and Vinod M.
Formulation development and evaluation of fluconazole gel in various polymer bases.
Asian J of Pharmaceutics, 1(1): 63-68, 2007.
- 73-Van Doorne H. and Bosch EH.
Stability and in vitro activity of nystatin and its α -cyclodextrin complex against candida albicans.
Int J Pharm, 73(43): 49, 1991.
- 74-Hamilton-Miller JMT.
The effect of pH and temperature on the stability and bioactivity of nystatin and amphotericin B.
J Pharm Pharmac, 25: 401-407, 1973.
- 75-Pelin A; Arzu S. and Serhat Ü.
Chitosan delivery systems for the treatment of oral mucositis: in vitro and in vivo studies.
J Cont Rel, 98(2): 269-279, 2004.
- 76-Pittet D; Monod M; Suter P.M; Frenk E. and Auckenthaler R.
Candida colonisation and subsequent infections in critically ill surgical patients.
Ann. Surg; 220: 751-758, 1994.
- 77- Somani VG; Shahi SR; Udavant YK; Atram SC; Satpute R. and Shinde NM.
Floating pulsatile drug delivery system based on hollow calcium pectinate beads.
DOI: 10.4103/0973-8398.55049, 2008.
- 78-Coviello T; Alhaique F; Dorigo A; Matricardi P. and Grassi M.
Two galactomannans and scleroglucan as matrices for drug delivery: Preparation and release studies.
Eur. J. Pharm Biopharm, 66: 200-209, 2007.
- 79-Picker K.M.
Matrix tablets of carrageenans. I. A compaction study.
Drug Dev. Ind. Pharm, 25: 329-337, 1991.
- 80-Gupta V.K; Hariharan M; Wheatley T.A. and Price J.C.
Controlled-release tablets from carrageenans: effect of formulation, storage and dissolution factors.
Eur. J. Pharm. Biopharm, 51: 241-248, 2001.
- 81-Mohamadnia Z; Zohuriaan-Mehr M.J; Kabiri K; Jamshidi A. and Mobedi H.
Ionically crosslinked carrageenan-alginate hydrogel beads.
J. Biomater. Sci. Polymer Edn, 19: 47-59, 2008.

- 82-Kulkarni G.T; Gowthamarajan K; Dhobe R.R; Yohanan F. and Suresh B.
Development of controlled release spheroids using natural polysaccharide as release modifier.
Drug Deliv, 12: 201-206, 2005.
- 83-Nishi K.K; Antony M; Mohanan P.V; Anilkumar T.V; Loiseau P.M. and Jayakrishnan A.
Amphotericin B-Gum arabic conjugates: synthesis, toxicity, bioavailability, and activities against
Leishmania and fungi. Pharm. Res, 24: 971-980, 2007.
- 84-Singh B; Chauhan N. and Kumar S.
Radiation crosslinked psyllium and polyacrylic acid based hydrogels for use in colon specific drug delivery.
Carbohydr. Polym, 73: 446-455, 2008.
- 85-Brouillet F; Bataille B. and Cartilier L.
High-amylose sodium carboxymethyl starch matrices for oral, sustained drug release: Formulation aspects and in vitro drug release evaluation.
Int. J. Pharm, 356: 52-60, 2008.
- 86-[Alffenaar JW](#); [Wessels AM](#); [van Hateren K](#); [Greijdanus B](#); [Kosterink JG](#). and [Uges DR](#).
Method for therapeutic drug monitoring of azole antifungal drugs in human serum, using LC/MS/MS.
J Chromatogr B Analyt Technol Biomed Life Sci. 1;878(1): 39-44, 2010
- 87-[Billaud EM](#); [Guillemain R](#); [Berge M](#); [Amrein C](#); [Lefeuvre S](#); [Louët AL](#); [Boussaud V](#). and [Chevalier P](#).
Pharmacological considerations for azole antifungal drug management in cystic fibrosis lung transplant patients.
Med Mycol. Nov; 48 (1): S52-9, 2010.
- 88-Yu DT; Peterson JF; Seger DL; Gerth WC. and Bates DW.
Frequency of potential azole drug-drug interactions and consequences of potential fluconazole drug interactions.
Pharmacoepidemiol Drug Saf; 14: 755-767, 2005.
- 89-Kwon DS. and Mylonakis E.
Posaconazole: a new broad-spectrum antifungal agent.
Exp Opin Pharmacother; 8: 1167-78, 2007.
- 90-Maertens JA.
History of the development of azole derivatives.
Clin Microbiol Infect; 10: 1-10, 2004.
- 91-Saad AH; De Pestel DD. and Carver PL.
Factors influencing the magnitude and clinical significance of drug interactions between azole antifungals and select immunosuppressants.
Pharmacotherapy; 26: 1730-44, 2006.
- 92-Gubbins PO. and Amsden JR.
Drug-drug interactions of antifungal agents and implications for patient care.
Exp Opin Pharmacother; 6, 2231-43, 2005.

- 93-Dodds Ashley ES; Lewis R; Lewis JS; Martin C. and Andes D.
Pharmacology of systemic antifungal agents.
Clin Infect Dis; 43: S28-39, 2006.
- 94-Herbrecht R.
Voriconazole: therapeutic review of a new azole antifungal.
Exp Rev Anti Infect Ther; 2: 485-97, 2004.
- 95-Back DJ. and Tjia JF.
Comparative effects of the antimycotic drugs ketoconazole, fluconazole, itraconazole and terbinafine on the metabolism of cyclosporin by human liver microsomes.
Br J Clin Pharmacol; 32: 624-6, 1991.
- 96-Karasulu H.Y; Taneri F; Sanal E; G neri T. and Ertan G.
Sustained release bioadhesive effervescent ketoconazole microcapsules tableted for vaginal delivery.
J. Microencapsul, 19: 357-362, 2002.
- 97-Karasulu H.Y; Hilmio glu S; Metin D.Y. and G neri T.
Efficacy of a new ketoconazole bioadhesive vaginal tablet on *Candida albicans*.
Il Farmaco, 59: 163–167, 2004.
- 98-Bodea A. and Leucuta S.E.
Optimization of propranolol hydrochloride sustained release pellets using a factorial design.
[*International Journal of Pharmaceutics*](#): 49-57; 1997.
- 99-Sriamornsak P.
Investigation of pectin as a carrier for oral delivery of proteins using calcium pectinate gel beads. author: Professor David Jones.
JInt. J. Pharm; 169: 213-220, 1998.
- 100-كتاب علم الطفيليات الاستاذ الدكتور إميل شاهين منشورات جامعة دمشق
- 101-Van Der Horst CM; Saag MS. and Cloud GA. *et al*.
Treatment of cryptococcal meningitis associated with the acquired immunodeficiency syndrome.
N Engl J Med, 337: 15-21, 1997..
- 104 - Sampath Kumar K.P Debjit Bhowmik, Chiranjib, Margret ,Chandira and Tripathi K.K.
Innovations in Sustained Release Drug Delivery System and Its Market Opportunities
Journal of Chemical and Pharmaceutical Research; 2(1):349-360, 2010
- 105-Sunil Kamboj, Gupta G.D, Jagmohan Oberoy.
Matrix Tablet: An Important Tool for Oral Controlled-Release Dosage Forms.
Average: V.7, 2009.
- 106-John Thorne Crissey , Heidi Leng and Lawrence Charles Parish.
Manual of MEDICAL MYCOLOGY.
P:13-18, 1995.
- ١٠٧-Polysaccharides power point
- 108-Loyd V.Allen, Jr Nicholas G. Popovich Howard C. Ansel
Pharmaceutical Dosage Forms and Drug Delivery Systems

109-Evonik-Industries

Envonik RohmGmbH

PharmaPolymers Kirschanallee-www.envonik.com

110-Casanova Roman G,Narcio Reyes LE, Ortiz Ibarra FJ,Beltran Zuniga M ,Castelazo Morales E.

Usefulness of fresh wet mount examination in the diagnosis of vaginal candidiasis

Ginecol Obstet Mex, 65:87-91.1997 Mar

111-Suchet.J.H.,L'infection en gynecologie.1992,pp:10-56.

112dubertre.L.,Aractingi.S.,Bachelez.H.,Bodemer.C.,Chowsidow.O.,Cribier.B.,joly.B.;Thérapeutique dermatologique.2001,pp:105-108